

Nazwa: Przelicznik objętości gazu **MacMAT IVE**



Struktura danych

MA ZASTOSOWANIE DO OPROGRAMOWANIA:

- WERSJA PROGRAMU: V1906
- SERIA PROGRAMU: S007.xx
- WERSJA SPRZĘTU: H4.2.0

WYDANIE DOKUMENTU: **2.8.e**

1. RODZAJE PRZESYŁANYCH DANYCH - GAZMODEM 1

Za pomocą protokołu GazModem 1 mogą być przesyłane dane rejestrowane dobowe i czas bieżący (według tablic standardu GAZMODEM).

1.1. DANE DOBOWE

Przelicznik MacMAT IV umożliwia odczyt danych dobowych w trybie standardowym i rozszerzonym.

W trybie standardowym w protokole GazModem 1, możliwy jest do odczytania jedynie stan licznika **Vb** – indeks **00 00** (podczas odczytu przez transmisję, maksymalny rozmiar danej dobowej ograniczony jest do liczby **PASCAL REAL** – pełny rozmiar jest dostępny podczas odczytu z wyświetlacza przelicznika).

W trybie rozszerzonym w protokole GazModem 3, istnieje możliwość odczytania wszystkich parametrów dobowych (oznaczonych poniżej w informacjach dodatkowych tablicy DP literą **D**). Typ odczytywanych parametrów podany jest w informacjach dodatkowych tablicy DP.

Sposób odczytu danych dobowych (przykładowe ramki) przedstawione zostały w dokumencie „*Protokoły transmisji*”.



2. PROTOKÓŁ MODBUS

Przelicznik został wyposażony w protokoły ModBUS RTU i ModBUS TCP. Domyślnie dane przesyłane są w formacie 1-2-3-4 (opcjonalny format: 3-4-1-2 – dotyczy tylko liczb typu short w ModBUS RTU). Adres przelicznika, używany w protokole ModBUS RTU określany jest na podstawie adresu GazModem i stanowi sumę modulo 256 z tego adresu. Numery rejestrów odczytywanych parametrów podane są w tablicy DP przedstawionej w punkcie 3.1.

Dokładniejszy opis protokołu znajduje się w dokumencie „*Protokoły transmisji*”.

3. PROTOKÓŁ GAZMODEM2

3.1. TABLICA DOSTĘPNYCH PARAMETRÓW DP

- (1) – numer parametru (tzw. indeks DP);
 - (2) – nazwa parametru;
 - (3) – opis parametru;
informacja: symbol **BLOK=ON** oznacza, że parametr jest chroniony sprzętową blokadą programowania; symbol **MET** – oznacza parametr istotny metrologicznie;
 - (4) – wykładnik;
 - (5) – jednostka;
 - (6) – informacje dodatkowe:
 - M: parametr modyfikowalny;
 - R: parametr rejestrowany z okresem rejestracji;
 - D: parametr rejestrowany dobowo;
 - C: parametr rejestrowany chwilowo;
 - O: parametr przeznaczony do odczytu;dodatkowo podany jest typ parametru (double, float, uint32, uint16, uint8, bool, string);
 - (7) – sposób obliczania parametru rejestrowanego i jego statusu:
 - Sr: wartość średnia w okresie rejestracji;
 - Ch: wartość chwilowa w momencie rejestracji;
 - Su: suma chwilowych przyrostów za czas rejestracji;
 - Max: maksymalna wartość chwilowa w okresie rejestracji;
 - (8) – poziom uprawnień:
 - U0 – modyfikacji parametru może dokonywać użytkownik USER-0, serwis oraz producent
 - U1 – modyfikacji parametru może dokonywać użytkownik USER-1, USER-0, serwis oraz producent
 - S – modyfikacji parametru może dokonywać wyłącznie użytkownik z uprawnieniami serwisu fabrycznego
 - P – parametr do modyfikacji jedynie przez producenta
 - M/U0 – przy załączonej sprzętowej blokadzie metrologicznej (parametr „lock MET=1”): modyfikacja parametru dozwolona tylko przez użytkowników z uprawnieniami METROLOG. Przy wyłączonej sprzętowej blokadzie metrologicznej (parametr „lock MET=0”): modyfikacja parametru dozwolona przez użytkowników z uprawnieniami USER-0;
 - (9) – numery rejestrów w protokole ModBUS.
-  - oznaczenie parametrów występujących tylko w wersji impulsowej przelicznika (wykonanie GT);
-  - oznaczenie parametrów występujących tylko w wersji kryzowej przelicznika (wykonanie KR);



| (1) | (2) | (3) | (4) | (5) | (6) | (7) | (8) | (9) |
|-----|------|--|-----|------|--------------|-----|-----|---------------|
| 0 | Vb | Licznik objętości gazu w warunkach bazowych; | 0 | m3 | DRO ^double | Ch | | 5000>...>5003 |
| 1 | Vm | Licznik objętości gazu w warunkach pomiaru; Zakres programowania: 0..1e11; BLOK=ON ; | 0 | m3 | DRMO ^double | Ch | U0 | 5004>...>5007 |
| 2 | V2 | Kontrolny licznik objętości gazu w warunkach pomiaru; | 0 | m3 | O ^double | | | 5008>...>5011 |
| 3 | Vk | Licznik objętości gazu w warunkach kontraktowych; | 0 | m3 | DRO ^double | Ch | | 5012>...>5015 |
| 4 | E | Licznik energii; | 0 | kWh | DRO ^double | Ch | | 5016>...>5019 |
| 5 | M | Licznik masy; | 0 | kg | DRO ^double | Ch | | 5020>...>5023 |
| 6 | Vbe | Awaryjny licznik objętości gazu w warunkach bazowych; | 0 | m3 | DRO ^double | Ch | | 5024>...>5027 |
| 7 | Vke | Awaryjny licznik objętości gazu w warunkach kontraktowych; | 0 | m3 | DRO ^double | Ch | | 5028>...>5031 |
| 8 | Ee | Awaryjny licznik energii; | 0 | kWh | DRO ^double | Ch | | 5032>...>5035 |
| 9 | Me | Awaryjny licznik masy; | 0 | kg | DRO ^double | Ch | | 5036>...>5039 |
| 10 | --- | wolne miejsce rezerwowe | 0 | | ^double | | | 5040>...>5043 |
| 11 | --- | wolne miejsce rezerwowe | 0 | | ^double | | | 5044>...>5047 |
| 12 | Qb | Strumień objętości w warunkach bazowych; Wartość strumienia uwzględnia korekcje rozszerzalności cieplnej korpusu gazomierza `alfatkG` (DP:439) i krzywej błędów gazomierza `F(Q)` (DP:462); | 0 | m3/h | CO ^float | | | 5048>5049 |
| 13 | Qm | Strumień objętości w warunkach pomiaru; Wartość strumienia uwzględnia korekcje rozszerzalności cieplnej korpusu gazomierza `alfatkG` (DP:439) i krzywej błędów gazomierza `F(Q)` (DP:462); | 0 | m3/h | CO ^float | | | 5050>5051 |
| 14 | Qk | Strumień objętości w warunkach kontraktowych; Wartość strumienia uwzględnia korekcje rozszerzalności cieplnej korpusu gazomierza `alfatkG` (DP:439) i krzywej błędów gazomierza `F(Q)` (DP:462); | 0 | m3/h | O ^float | | | 5052>5053 |
| 15 | QE | Strumień energii; Wartość strumienia uwzględnia korekcje rozszerzalności cieplnej korpusu gazomierza `alfatkG` (DP:439) i krzywej błędów gazomierza `F(Q)` (DP:462); | 0 | kW | O ^float | | | 5054>5055 |
| 16 | QM | Strumień masy; Wartość strumienia uwzględnia korekcje rozszerzalności cieplnej korpusu gazomierza `alfatkG` (DP:439) i krzywej błędów gazomierza `F(Q)` (DP:462); | 0 | kg/h | O ^float | | | 5056>5057 |
| 17 | dVbh | Przyrost objętości na gazomierzu w warunkach bazowych za godzinę zegarową (sumaryczny przyrost licznika głównego `Vb` (DP:0) i awaryjnego `Vbe` (DP:6)); | 0 | m3 | O ^float | | | 5058>5059 |
| 18 | dEh | Przyrost energii na gazomierzu za godzinę zegarową (sumaryczny przyrost licznika głównego `E` (DP:4) i awaryjnego `Ee` (DP:8)); | 0 | kWh | O ^float | | | 5060>5061 |
| 19 | dVb | Przyrost objętości na gazomierzu w warunkach bazowych; | 0 | m3 | RO ^float | Su | | 5062>5063 |
| 20 | dVm | Przyrost licznika objętości w warunkach pomiaru; | 0 | m3 | RO ^float | Su | | 5064>5065 |
| 21 | dV2 | Przyrost kontrolnego licznika objętości w warunkach pomiaru; | 0 | m3 | O ^float | | | 5066>5067 |
| 22 | dVk | Przyrost objętości na gazomierzu w warunkach kontraktowych; | 0 | m3 | RO ^float | Su | | 5068>5069 |
| 23 | dE | Przyrost energii na gazomierzu; | 0 | kWh | RO ^float | Su | | 5070>5071 |
| 24 | dM | Przyrost masy na gazomierzu; | 0 | kg | RO ^float | Su | | 5072>5073 |
| 25 | dLF | Przyrost impulsów na wejściu LF ; | 0 | imp | O ^uint16 | | | 5074 |
| 26 | dHF1 | Przyrost impulsów na wejściu HF1 ; | 0 | imp | O ^uint16 | | | 5075 |
| 27 | dHF2 | Przyrost impulsów na wejściu HF2 ; | 0 | imp | O ^uint16 | | | 5076 |
| 28 | dp | Bieżąca wartość różnicy ciśnień gazu na kryzie; | 0 | mbar | O ^float | | | 5077>5078 |



| (1) | (2) | (3) | (4) | (5) | (6) | (7) | (8) | (9) |
|-----|--------|--|-----|-------|--------------|-----|-----|---------------|
| 29 | p | Bieżąca wartość ciśnienia gazu; | 0 | kPa | CRO ^double | Śr | | 5079>...>5082 |
| 30 | t | Bieżąca wartość temperatury gazu; | 0 | 'C | CRO ^double | Śr | | 5083>...>5086 |
| 31 | RA | Bieżąca wartość parametru na wejściu rezerwowym A; | 0 | | RO ^float | Śr | | 5087>5088 |
| 32 | RB | Bieżąca wartość parametru na wejściu rezerwowym B; | 0 | | RO ^float | Śr | | 5089>5090 |
| 33 | R1 | Bieżąca wartość parametru na wejściu rezerwowym 1; | 0 | | O ^float | | | 5091>5092 |
| 34 | R2 | Bieżąca wartość parametru na wejściu rezerwowym 2; | 0 | | O ^float | | | 5093>5094 |
| 35 | R3 | Bieżąca wartość parametru na wejściu rezerwowym 3; | 0 | | O ^float | | | 5095>5096 |
| 36 | R4 | Bieżąca wartość parametru na wejściu rezerwowym 4; | 0 | | O ^float | | | 5097>5098 |
| 37 | R5 | Bieżąca wartość parametru na wejściu rezerwowym 5; | 0 | | O ^float | | | 5099>5100 |
| 38 | R6 | Bieżąca wartość parametru na wejściu rezerwowym 6; | 0 | | O ^float | | | 5101>5102 |
| 39 | R7 | Bieżąca wartość parametru na wejściu rezerwowym 7; | 0 | | O ^float | | | 5103>5104 |
| 40 | R8 | Bieżąca wartość parametru na wejściu rezerwowym 8; | 0 | | O ^float | | | 5105>5106 |
| 41 | RU1 | Bieżąca wartość parametru na wejściu rezerwowym U1; | 0 | | O ^float | | | 5107>5108 |
| 42 | RU2 | Bieżąca wartość parametru na wejściu rezerwowym U2; | 0 | | O ^float | | | 5109>5110 |
| 43 | RU3 | Bieżąca wartość parametru na wejściu rezerwowym U3; | 0 | | O ^float | | | 5111>5112 |
| 44 | RU4 | Bieżąca wartość parametru na wejściu rezerwowym U4; | 0 | | O ^float | | | 5113>5114 |
| 45 | ph Vb | Maksymalny szczyt godzinowy dVbh (DP:17) w okresie bieżącej doby rozliczeniowej; | 0 | m3/h | DO ^float | | | 5115>5116 |
| 46 | eph Vb | Przewidywany przyrost godzinowy dVbh (DP:17) w bieżącej godzinie zegarowej; | 0 | m3/h | O ^float | | | 5117>5118 |
| 47 | ph E | Maksymalny szczyt godzinowy dEh (DP:18) w okresie bieżącej doby rozliczeniowej; | 0 | kW | DO ^float | | | 5119>5120 |
| 48 | eph E | Przewidywany przyrost godzinowy dEh (DP:18) w bieżącej godzinie zegarowej; | 0 | kW | O ^float | | | 5121>5122 |
| 49 | Hi | Wartość opałowa; | 0 | MJ/m3 | O ^double | | | 5123>...>5126 |
| 50 | Z | Współczynnik ściśliwości w warunkach pomiaru; | 0 | | O ^double | | | 5127>...>5130 |
| 51 | Zb | Współczynnik ściśliwości w warunkach bazowych; | 0 | | O ^double | | | 5131>...>5134 |
| 52 | Zk | Współczynnik ściśliwości w warunkach kontraktowych; | 0 | | O ^double | | | 5135>...>5138 |
| 53 | K1 | Względny współczynnik ściśliwości dla warunków bazowych; W zależności od konfiguracji parametru conf_algZ (DP:62) możliwe programowanie stałego współczynnika ściśliwości w zakresie wartości 0,001..2 lub automatyczne obliczanie na podstawie algorytmu. $K1 = Z / Zb$; | 0 | | DRMO ^double | | U0 | 5139>...>5142 |
| 54 | Kk | Względny współczynnik ściśliwości dla warunków kontraktowych; W zależności od konfiguracji parametru conf_algZ (DP:62) możliwe programowanie stałego współczynnika ściśliwości w zakresie wartości 0,001..2 lub automatyczne obliczanie na podstawie algorytmu. $Kk = Z / Zk$; | 0 | | MO ^double | | U0 | 5143>...>5146 |
| 55 | C | Współczynnik przeliczania na warunki bazowe; | 0 | | DRO ^double | | | 5147>...>5150 |
| 56 | Ck | Współczynnik przeliczania na warunki kontraktowe; | 0 | | O ^double | | | 5151>...>5154 |
| 57 | Ck/C | Współczynnik przeliczania z Tk/Tb; | 0 | | RO ^double | Śr | | 5155>...>5158 |
| 58 | W | Wartość liczby Wobbe`go; $W = Hs/pierwiastek(d)$; | 0 | MJ/m3 | O ^double | | | 5159>...>5162 |
| 59 | rom | Gęstość gazu w warunkach pomiaru; | 0 | kg/m3 | O ^double | | | 5163>...>5166 |



| (1) | (2) | (3) | (4) | (5) | (6) | (7) | (8) | (9) |
|-----|-----------|---|-----|-------|-------------|-----|-----|---------------|
| 60 | rob | Gęstość gazu w warunkach bazowych; Zakres programowania: 0,001..10000; | 0 | kg/m3 | MO ^double | | U0 | 5167>...>5170 |
| 61 | --- | wolne miejsce rezerwowe | 0 | | O ^uint8 | | | 5171 |
| 62 | conf_algZ | Konfiguracja typu algorytmu obliczania współczynników ściśliwości gazu; 0 - AGA8-92DC, 1 - MGERG-88 (skład pełny), 2 - SGERG-88 (Hs-d-XCO2-XH2), 3 - AGA8-G1, 4 - AGA8-G2, 5 - stały współczynnik K1; | 0 | | MO ^uint8 | | U0 | 5172 |
| 63 | conf_Hs | Konfiguracja źródła ciepła spalania w przeliczniku masowym. 0 - z parametru Hs (DP:68); 1 - z parametru Hs_MA (DP:679); | 0 | | MO ^uint8 | | U0 | 5173 |
| 64 | conf_rob | Konfiguracja sposobu uzyskiwania gęstości gazu w warunkach bazowych w przeliczniku masowym; 0 - obliczana na podstawie gęstości względnej, 1 - wpisywana ręcznie; | 0 | | MO ^uint8 | | U0 | 5174 |
| 65 | XH2 | Molowy udział wodoru dla SGERG-88, AGA8-G1 i AGA8-G2; Zakres programowania: 0..10; | 0 | % | MO ^double | | U0 | 5175>...>5178 |
| 66 | XCO2 | Molowy udział dwutlenku węgla dla SGERG-88, AGA8-G1 i AGA8-G2; Zakres programowania: 0..30; | 0 | % | MO ^double | | U0 | 5179>...>5182 |
| 67 | XN2 | Molowy udział azotu dla AGA8-G1 i AGA8-G2; Zakres programowania: 0..50; | 0 | % | MO ^double | | U0 | 5183>...>5186 |
| 68 | Hs | Ciepło spalania; Zakres programowania: 0..66; | 0 | MJ/m3 | RMO ^double | Śr | U0 | 5187>...>5190 |
| 69 | d | Względna gęstość gazu; Zakres programowania: 0,07..2; | 0 | | RMO ^double | Śr | U0 | 5191>...>5194 |
| 70 | C1 | Udział metanu; Zakres programowania: 50..100; | 0 | % | RMO ^double | Śr | U0 | 5195>...>5198 |
| 71 | C2 | Udział etanu; Zakres programowania: 0..20; | 0 | % | RMO ^double | Śr | U0 | 5199>...>5202 |
| 72 | C3 | Udział propanu; Zakres programowania: 0..5; | 0 | % | RMO ^double | Śr | U0 | 5203>...>5206 |
| 73 | n-C4 | Udział n-butanu; Zakres programowania: 0..1,5; | 0 | % | RMO ^double | Śr | U0 | 5207>...>5210 |
| 74 | i-C4 | Udział i-butanu; Zakres programowania: 0..1,5 (suma butanów <1,5%); | 0 | % | RMO ^double | Śr | U0 | 5211>...>5214 |
| 75 | n-C5 | Udział n-pentanu; Zakres programowania: 0..0,5; | 0 | % | RMO ^double | Śr | U0 | 5215>...>5218 |
| 76 | i-C5 | Udział i-pentanu; Zakres programowania: 0..0,5 (suma pentanów <0,5%); | 0 | % | RMO ^double | Śr | U0 | 5219>...>5222 |
| 77 | neo-C5 | Udział neopentanu; Zakres programowania: 0..0,5; | 0 | % | RMO ^double | Śr | U0 | 5223>...>5226 |
| 78 | C6+ | Udział heksanu i węglowodorów wyższych; Zakres programowania: 0..0,2; | 0 | % | RMO ^double | Śr | U0 | 5227>...>5230 |
| 79 | N2 | Udział azotu; Zakres programowania: 0..50; | 0 | % | RMO ^double | Śr | U0 | 5231>...>5234 |
| 80 | CO2 | Udział dwutlenku węgla; Zakres programowania: 0..30; | 0 | % | RMO ^double | Śr | U0 | 5235>...>5238 |
| 81 | C6H14 | Udział n-heksanu; Zakres programowania: 0..0,1; | 0 | % | RMO ^double | Śr | U0 | 5239>...>5242 |
| 82 | C7H16 | Udział n-heptanu; Zakres programowania: 0..0,05; | 0 | % | RMO ^double | Śr | U0 | 5243>...>5246 |
| 83 | C8H18 | Udział n-oktanu; Zakres programowania: 0..0,05 (suma C8H18 + C9H20 + C10H22 w zakresie 0..0,05); | 0 | % | RMO ^double | Śr | U0 | 5247>...>5250 |
| 84 | C9H20 | Udział n-nonanu; Zakres programowania: 0..0,05 (suma C8H18 + C9H20 + C10H22 w zakresie 0..0,05); | 0 | % | RMO ^double | Śr | U0 | 5251>...>5254 |
| 85 | C10H22 | Udział n-dekanu; Zakres programowania: 0..0,05 (suma C8H18 + C9H20 + C10H22 w zakresie 0..0,05); | 0 | % | RMO ^double | Śr | U0 | 5255>...>5258 |
| 86 | H2 | Udział wodoru; Zakres programowania: 0..10; | 0 | % | RMO ^double | Śr | U0 | 5259>...>5262 |
| 87 | H2O | Udział wody; Zakres programowania: 0..0,015; | 0 | % | RMO ^double | Śr | U0 | 5263>...>5266 |
| 88 | H2S | Udział siarkowodoru; Zakres programowania: 0..100; | 0 | % | RMO ^double | Śr | U0 | 5267>...>5270 |
| 89 | CO | Udział tlenku węgla; Zakres programowania: 0..3; | 0 | % | RMO ^double | Śr | U0 | 5271>...>5274 |
| 90 | He | Udział helu; Zakres programowania: 0..0,5; | 0 | % | RMO ^double | Śr | U0 | 5275>...>5278 |



| (1) | (2) | (3) | (4) | (5) | (6) | (7) | (8) | (9) |
|-----|-------------|--|-----|-----|-------------|-----|------|---------------|
| 91 | Ar | Udział argonu; Zakres programowania: 0..100; | 0 | % | RMO ^double | Śr | U0 | 5279>...>5282 |
| 92 | O2 | Udział tlenu; Zakres programowania: 0..100; | 0 | % | RMO ^double | Śr | U0 | 5283>...>5286 |
| 93 | --- | wolne miejsce rezerwowe | 0 | | ^float | | | 5287>5288 |
| 94 | T1 | Temperatura spalania przy wyznaczaniu wartości ciepła spalania Hs; Zakres programowania: 270..300; MET ; BLOK=ON ; | 0 | K | MO ^double | | M/U0 | 5289>...>5292 |
| 95 | G t | Czas odliczany od chwili przyjęcia do obliczeń nowych składników gazu; | 0 | min | O ^uint32 | | | 5293>5294 |
| 96 | G n | Dopuszczalna odchyłka sumy składników pełnego składu gazu od 100%; Zakres programowania: 0..0,01; Wartość domyślna 0,001; | 0 | % | MO ^double | | U0 | 5295>...>5298 |
| 97 | G s | Suma składników gazu programowanych zdalnie przez dowolny port; Po zaprogramowaniu sumy 100% +/- `G n` (DP:96), wartość jest zerowana, a nowy skład gazu jest przyjmowany do obliczeń (wewnętrzna tablica obejmuje pełny skład gazu umożliwiając wielokrotne podmienianie poszczególnych składników przez różnych użytkowników i przez różne porty przed przyjęciem pełnego składu); | 0 | % | O ^double | | | 5299>...>5302 |
| 98 | G tout | Czas po jakim będzie zgłaszany alarm `Brak składu gazu` (ZD:130) w przypadku oczekiwania na pełny skład gazu (suma składników różna od 100% +/- G n); Zakres programowania: 0..1440; | 0 | min | MO ^uint16 | | U0 | 5303 |
| 99 | G mode | Wybór trybu programowania składu gazu; 0 - tryb "slave" - programowanie składników do przelicznika; 1 - tryb "master" - przelicznik pobiera składniki z podanych rejestrów ModBUS; | 0 | | MO ^boolean | | U0 | 5304 |
| 100 | G port | Port transmisji programowania składu gazu w trybach master/slave. Do programowania: 0 - COM1, 1 - COM2, 2 - COM3, 3 - COM4, 4 - OPTO, 5 - LAN; 6 - dowolny (tryb slave); | 0 | | MO ^uint8 | | U0 | 5305 |
| 101 | G addr port | Adres transmisji w trybie master, do odczytu składników gazu na jednym z portów COM (ustawiane w parametrze G port); Zakres programowania: 1..65534; | 0 | | MO ^uint16 | | U0 | 5306 |
| 102 | G addr LAN | Adres transmisji w trybie master, do odczytu składników gazu z użyciem portu LAN. Format adresu: xxx.xxx.xxx.xxx:xx (adres IP:port); | 0 | | MO ^string | | U0 | 5307>...>5318 |
| 103 | G c | Czas między kolejnymi odczytami składu gazu w minutach; Zakres programowania: 1..1440; | 0 | min | MO ^uint32 | | U0 | 5319>5320 |
| 104 | --- | wolne miejsce rezerwowe | 0 | | ^uint16 | | | 5321 |
| 105 | XH2 MB | Rejestr ModBUS molowego udziału wodoru dla SGERG-88, AGA8-G1 i AGA8-G2; Zakres programowania: 0..65535; | 0 | | MO ^uint16 | | U0 | 5322 |
| 106 | XCO2 MB | Rejestr ModBUS molowego udziału dwutlenku węgla dla SGERG-88, AGA8-G1 i AGA8-G2; Zakres programowania: 0..65535; | 0 | | MO ^uint16 | | U0 | 5323 |
| 107 | XN2 MB | Rejestr ModBUS molowego udziału azotu dla AGA8-G1 i AGA8-G2; Zakres programowania: 0..65535; | 0 | | MO ^uint16 | | U0 | 5324 |
| 108 | Hs MB | Rejestr ModBUS ciepła spalania; Zakres programowania: 0..65535; | 0 | | MO ^uint16 | | U0 | 5325 |
| 109 | d MB | Rejestr ModBUS względnej gęstości gazu; Zakres programowania: 0..65535; | 0 | | MO ^uint16 | | U0 | 5326 |
| 110 | C1 MB | Rejestr ModBUS udziału metanu; Zakres programowania: 0..65535; | 0 | | MO ^uint16 | | U0 | 5327 |
| 111 | C2 MB | Rejestr ModBUS udziału etanu; Zakres programowania: 0..65535; | 0 | | MO ^uint16 | | U0 | 5328 |
| 112 | C3 MB | Rejestr ModBUS udziału propanu; Zakres programowania: 0..65535; | 0 | | MO ^uint16 | | U0 | 5329 |
| 113 | n-C4 MB | Rejestr ModBUS udziału n-butanu; Zakres programowania: 0..65535; | 0 | | MO ^uint16 | | U0 | 5330 |
| 114 | i-C4 MB | Rejestr ModBUS udziału i-butanu; Zakres programowania: 0..65535; | 0 | | MO ^uint16 | | U0 | 5331 |
| 115 | n-C5 MB | Rejestr ModBUS udziału n-pentanu; Zakres programowania: 0..65535; | 0 | | MO ^uint16 | | U0 | 5332 |
| 116 | i-C5 MB | Rejestr ModBUS udziału i-pentanu; Zakres programowania: 0..65535; | 0 | | MO ^uint16 | | U0 | 5333 |
| 117 | neo-C5 MB | Rejestr ModBUS udziału neopentanu; Zakres programowania: 0..65535; | 0 | | MO ^uint16 | | U0 | 5334 |
| 118 | C6+ MB | Rejestr ModBUS udziału heksanu i węglowodorów wyższych; Zakres programowania: 0..65535; | 0 | | MO ^uint16 | | U0 | 5335 |



| (1) | (2) | (3) | (4) | (5) | (6) | (7) | (8) | (9) |
|-----|------------|---|-----|----------|------------|-----|------|---------------|
| 119 | N2 MB | Rejestr ModBUS udziału azotu; Zakres programowania: 0..65535; | 0 | | MO ^uint16 | | U0 | 5336 |
| 120 | CO2 MB | Rejestr ModBUS udziału dwutlenku węgla; Zakres programowania: 0..65535; | 0 | | MO ^uint16 | | U0 | 5337 |
| 121 | C6H14 MB | Rejestr ModBUS udziału n-heksanu; Zakres programowania: 0..65535; | 0 | | MO ^uint16 | | U0 | 5338 |
| 122 | C7H16 MB | Rejestr ModBUS udziału n-heptanu; Zakres programowania: 0..65535; | 0 | | MO ^uint16 | | U0 | 5339 |
| 123 | C8H18 MB | Rejestr ModBUS udziału n-oktanu; Zakres programowania: 0..65535; | 0 | | MO ^uint16 | | U0 | 5340 |
| 124 | C9H20 MB | Rejestr ModBUS udziału n-nonanu; Zakres programowania: 0..65535; | 0 | | MO ^uint16 | | U0 | 5341 |
| 125 | C10H22 MB | Rejestr ModBUS udziału n-dekanu; Zakres programowania: 0..65535; | 0 | | MO ^uint16 | | U0 | 5342 |
| 126 | H2 MB | Rejestr ModBUS udziału wodoru; Zakres programowania: 0..65535; | 0 | | MO ^uint16 | | U0 | 5343 |
| 127 | H2O MB | Rejestr ModBUS udziału wody; Zakres programowania: 0..65535; | 0 | | MO ^uint16 | | U0 | 5344 |
| 128 | H2S MB | Rejestr ModBUS udziału siarkowodoru; Zakres programowania: 0..65535; | 0 | | MO ^uint16 | | U0 | 5345 |
| 129 | CO MB | Rejestr ModBUS udziału tlenku węgla; Zakres programowania: 0..65535; | 0 | | MO ^uint16 | | U0 | 5346 |
| 130 | He MB | Rejestr ModBUS udziału helu; Zakres programowania: 0..65535; | 0 | | MO ^uint16 | | U0 | 5347 |
| 131 | Ar MB | Rejestr ModBUS udziału argonu; Zakres programowania: 0..65535; | 0 | | MO ^uint16 | | U0 | 5348 |
| 132 | O2 MB | Rejestr ModBUS udziału tlenu; Zakres programowania: 0..65535; | 0 | | MO ^uint16 | | U0 | 5349 |
| 133 | pb | Ciśnienie bazowe (wartość domyślna: pb=1,01325 bar); Zakres programowania: 0,95..1,05; MET; BLOK=ON; | 0 | bar | MO ^double | | M/U0 | 5350>...>5353 |
| 134 | Tb | Temperatura bazowa (wartość domyślna Tb=273,15 K); Zakres programowania: 270..300; MET; BLOK=ON; | 0 | K | MO ^double | | M/U0 | 5354>...>5357 |
| 135 | Tk | Temperatura kontraktowa (wartość domyślna Tk=293,15 K). Ciśnienie kontraktowe jest równe ciśnieniu bazowemu pb . Zakres programowania: 270..300; | 0 | K | MO ^double | | U0 | 5358>...>5361 |
| 136 | LF factor | Waga impulsów LF gazomierza; Zakres programowania: 0,001..100; BLOK=ON; | 0 | unit/imp | MO ^double | | U0 | 5362>...>5365 |
| 137 | HF1 factor | Waga impulsów HF1 gazomierza; Zakres programowania: 1..1e6; BLOK=ON; | 0 | imp/unit | MO ^double | | U0 | 5366>...>5369 |
| 138 | HF2 factor | Waga impulsów HF2 gazomierza; Zakres programowania: 1..1e6; BLOK=ON; | 0 | imp/unit | MO ^double | | U0 | 5370>...>5373 |
| 139 | Qm min | Zakres gazomierza - minimum; Zakres programowania: -4e4..4e4; BLOK=ON; | 0 | m3/h | MO ^float | | U0 | 5374>5375 |
| 140 | Qm max | Zakres gazomierza - maksimum; Zakres programowania: -4e4..4e4; BLOK=ON; | 0 | m3/h | MO ^float | | U0 | 5376>5377 |
| 141 | dp1 min | Zakres przetwornika różnicy ciśnień dp1 - minimum; Zakres programowania: 0..1e4; BLOK=ON; | 0 | mbar | MO ^float | | U0 | 5378>5379 |
| 142 | dp1 max | Zakres przetwornika różnicy ciśnień dp1 - maksimum; Zakres programowania: 0..1e4; BLOK=ON; | 0 | mbar | MO ^float | | U0 | 5380>5381 |
| 143 | dp2 min | Zakres przetwornika różnicy ciśnień dp2 - minimum; Zakres programowania: 0..1e4; BLOK=ON; | 0 | mbar | MO ^float | | U0 | 5382>5383 |
| 144 | dp2 max | Zakres przetwornika różnicy ciśnień dp2 - maksimum; Zakres programowania: 0..1e4; BLOK=ON; | 0 | mbar | MO ^float | | U0 | 5384>5385 |
| 145 | p min | Zakres przetwornika ciśnienia - minimum; Zakres programowania: 0..65000; MET; BLOK=ON; | 0 | kPa | MO ^double | | M/U0 | 5386>...>5389 |
| 146 | p max | Zakres przetwornika ciśnienia - maksimum; Zakres programowania: 0..65000; MET; BLOK=ON; | 0 | kPa | MO ^double | | M/U0 | 5390>...>5393 |
| 147 | t min | Zakres przetwornika temperatury - minimum; Zakres programowania: -50..100; MET; BLOK=ON; | 0 | 'C | MO ^double | | M/U0 | 5394>...>5397 |
| 148 | t max | Zakres przetwornika temperatury - maksimum; Zakres programowania: -50..100; MET; BLOK=ON; | 0 | 'C | MO ^double | | M/U0 | 5398>...>5401 |



| (1) | (2) | (3) | (4) | (5) | (6) | (7) | (8) | (9) |
|-----|---------|--|-----|-----|-----------|-----|-----|-----------|
| 149 | RA min | Zakres wejścia rezerwowego A - minimum; Zakres programowania: -1e5..1e5; | 0 | | MO ^float | | U0 | 5402>5403 |
| 150 | RA max | Zakres wejścia rezerwowego A - maksimum; Zakres programowania: -1e5..1e5; | 0 | | MO ^float | | U0 | 5404>5405 |
| 151 | RB min | Zakres wejścia rezerwowego B - minimum; Zakres programowania: -1e5..1e5; | 0 | | MO ^float | | U0 | 5406>5407 |
| 152 | RB max | Zakres wejścia rezerwowego B - maksimum; Zakres programowania: -1e5..1e5; | 0 | | MO ^float | | U0 | 5408>5409 |
| 153 | R1 min | Zakres wejścia rezerwowego 1 - minimum; Zakres programowania: -1e5..1e5; | 0 | | MO ^float | | U0 | 5410>5411 |
| 154 | R1 max | Zakres wejścia rezerwowego 1 - maksimum; Zakres programowania: -1e5..1e5; | 0 | | MO ^float | | U0 | 5412>5413 |
| 155 | R2 min | Zakres wejścia rezerwowego 2 - minimum; Zakres programowania: -1e5..1e5; | 0 | | MO ^float | | U0 | 5414>5415 |
| 156 | R2 max | Zakres wejścia rezerwowego 2 - maksimum; Zakres programowania: -1e5..1e5; | 0 | | MO ^float | | U0 | 5416>5417 |
| 157 | R3 min | Zakres wejścia rezerwowego 3 - minimum; Zakres programowania: -1e5..1e5; | 0 | | MO ^float | | U0 | 5418>5419 |
| 158 | R3 max | Zakres wejścia rezerwowego 3 - maksimum; Zakres programowania: -1e5..1e5; | 0 | | MO ^float | | U0 | 5420>5421 |
| 159 | R4 min | Zakres wejścia rezerwowego 4 - minimum; Zakres programowania: -1e5..1e5; | 0 | | MO ^float | | U0 | 5422>5423 |
| 160 | R4 max | Zakres wejścia rezerwowego 4 - maksimum; Zakres programowania: -1e5..1e5; | 0 | | MO ^float | | U0 | 5424>5425 |
| 161 | R5 min | Zakres wejścia rezerwowego 5 - minimum; Zakres programowania: -1e5..1e5; | 0 | | MO ^float | | U0 | 5426>5427 |
| 162 | R5 max | Zakres wejścia rezerwowego 5 - maksimum; Zakres programowania: -1e5..1e5; | 0 | | MO ^float | | U0 | 5428>5429 |
| 163 | R6 min | Zakres wejścia rezerwowego 6 - minimum; Zakres programowania: -1e5..1e5; | 0 | | MO ^float | | U0 | 5430>5431 |
| 164 | R6 max | Zakres wejścia rezerwowego 6 - maksimum; Zakres programowania: -1e5..1e5; | 0 | | MO ^float | | U0 | 5432>5433 |
| 165 | R7 min | Zakres wejścia rezerwowego 7 - minimum; Zakres programowania: -1e5..1e5; | 0 | | MO ^float | | U0 | 5434>5435 |
| 166 | R7 max | Zakres wejścia rezerwowego 7 - maksimum; Zakres programowania: -1e5..1e5; | 0 | | MO ^float | | U0 | 5436>5437 |
| 167 | R8 min | Zakres wejścia rezerwowego 8 - minimum; Zakres programowania: -1e5..1e5; | 0 | | MO ^float | | U0 | 5438>5439 |
| 168 | R8 max | Zakres wejścia rezerwowego 8 - maksimum; Zakres programowania: -1e5..1e5; | 0 | | MO ^float | | U0 | 5440>5441 |
| 169 | RU1 min | Zakres wejścia rezerwowego U1 - minimum; Zakres programowania: -1e5..1e5; | 0 | | MO ^float | | U0 | 5442>5443 |
| 170 | RU1 max | Zakres wejścia rezerwowego U1 - maksimum; Zakres programowania: -1e5..1e5; | 0 | | MO ^float | | U0 | 5444>5445 |
| 171 | RU2 min | Zakres wejścia rezerwowego U2 - minimum; Zakres programowania: -1e5..1e5; | 0 | | MO ^float | | U0 | 5446>5447 |
| 172 | RU2 max | Zakres wejścia rezerwowego U2 - maksimum; Zakres programowania: -1e5..1e5; | 0 | | MO ^float | | U0 | 5448>5449 |
| 173 | RU3 min | Zakres wejścia rezerwowego U3 - minimum; Zakres programowania: -1e5..1e5; | 0 | | MO ^float | | U0 | 5450>5451 |
| 174 | RU3 max | Zakres wejścia rezerwowego U3 - maksimum; Zakres programowania: -1e5..1e5; | 0 | | MO ^float | | U0 | 5452>5453 |
| 175 | RU4 min | Zakres wejścia rezerwowego U4 - minimum; Zakres programowania: -1e5..1e5; | 0 | | MO ^float | | U0 | 5454>5455 |



| (1) | (2) | (3) | (4) | (5) | (6) | (7) | (8) | (9) |
|-----|----------|---|-----|------|-----------|-----|-----|-----------|
| 176 | RU4 max | Zakres wejścia rezerwowego U4 - maksimum; Zakres programowania: -1e5..1e5; | 0 | | MO ^float | | U0 | 5456>5457 |
| 177 | dyn p | Skokowa zmiana wartości parametru p ; Zakres programowania: 0..10000; wartość 0 wyłącza kontrolę skoku ciśnienia; | 0 | kPa | MO ^float | | U0 | 5458>5459 |
| 178 | dyn t | Skokowa zmiana wartości parametru t ; Zakres programowania: 0..20; wartość 0 wyłącza kontrolę skoku temperatury; | 0 | °C | MO ^float | | U0 | 5460>5461 |
| 179 | dyn Qm | Skokowa zmiana wartości parametru Qm ; Zakres programowania: 0..1e4; wartość 0 wyłącza kontrolę skoku strumienia; | 0 | m3/h | MO ^float | | U0 | 5462>5463 |
| 180 | dyn fHF1 | Skokowa zmiana wartości parametru fHF1 ; Zakres programowania: 0..1e3; wartość 0 wyłącza kontrolę skoku częstotliwości HF1; | 0 | Hz | MO ^float | | U0 | 5464>5465 |
| 181 | dyn fHF2 | Skokowa zmiana wartości parametru fHF2 ; Zakres programowania: 0..1e3; wartość 0 wyłącza kontrolę skoku częstotliwości HF2; | 0 | Hz | MO ^float | | U0 | 5466>5467 |
| 182 | l Qm | Dolny limit strumienia w warunkach pomiaru; Zakres programowania: -4e4..4e4; | 0 | m3/h | MO ^float | | U1 | 5468>5469 |
| 183 | u Qm | Górny limit strumienia w warunkach pomiaru; Zakres programowania: -4e4..4e4; | 0 | m3/h | MO ^float | | U1 | 5470>5471 |
| 184 | l dp | Dolny limit wartości różnicy ciśnień; Zakres programowania: 0..1e4; | 0 | mbar | MO ^float | | U1 | 5472>5473 |
| 185 | u dp | Górny limit wartości różnicy ciśnień; Zakres programowania: 0..1e4; | 0 | mbar | MO ^float | | U1 | 5474>5475 |
| 186 | l p | Dolny limit wartości ciśnienia; Zakres programowania: 0..65000; | 0 | kPa | MO ^float | | U1 | 5476>5477 |
| 187 | u p | Górny limit wartości ciśnienia; Zakres programowania: 0..65000; | 0 | kPa | MO ^float | | U1 | 5478>5479 |
| 188 | l t | Dolny limit wartości temperatury; Zakres programowania: -50..100; | 0 | °C | MO ^float | | U1 | 5480>5481 |
| 189 | u t | Górny limit wartości temperatury; Zakres programowania: -50..100; | 0 | °C | MO ^float | | U1 | 5482>5483 |
| 190 | l RA | Dolny limit wartości rezerwy A; Zakres programowania: -1e5..1e5; | 0 | | MO ^float | | U1 | 5484>5485 |
| 191 | u RA | Górny limit wartości rezerwy A; Zakres programowania: -1e5..1e5; | 0 | | MO ^float | | U1 | 5486>5487 |
| 192 | l RB | Dolny limit wartości rezerwy B; Zakres programowania: -1e5..1e5; | 0 | | MO ^float | | U1 | 5488>5489 |
| 193 | u RB | Górny limit wartości rezerwy B; Zakres programowania: -1e5..1e5; | 0 | | MO ^float | | U1 | 5490>5491 |
| 194 | l R1 | Dolny limit wartości rezerwy 1; Zakres programowania: -1e5..1e5; | 0 | | MO ^float | | U1 | 5492>5493 |
| 195 | u R1 | Górny limit wartości rezerwy 1; Zakres programowania: -1e5..1e5; | 0 | | MO ^float | | U1 | 5494>5495 |
| 196 | l R2 | Dolny limit wartości rezerwy 2; Zakres programowania: -1e5..1e5; | 0 | | MO ^float | | U1 | 5496>5497 |
| 197 | u R2 | Górny limit wartości rezerwy 2; Zakres programowania: -1e5..1e5; | 0 | | MO ^float | | U1 | 5498>5499 |
| 198 | l R3 | Dolny limit wartości rezerwy 3; Zakres programowania: -1e5..1e5; | 0 | | MO ^float | | U1 | 5500>5501 |
| 199 | u R3 | Górny limit wartości rezerwy 3; Zakres programowania: -1e5..1e5; | 0 | | MO ^float | | U1 | 5502>5503 |
| 200 | l R4 | Dolny limit wartości rezerwy 4; Zakres programowania: -1e5..1e5; | 0 | | MO ^float | | U1 | 5504>5505 |
| 201 | u R4 | Górny limit wartości rezerwy 4; Zakres programowania: -1e5..1e5; | 0 | | MO ^float | | U1 | 5506>5507 |



| (1) | (2) | (3) | (4) | (5) | (6) | (7) | (8) | (9) |
|-----|-----------|---|-----|-----|------------|-----|-----|-----------|
| 202 | l R5 | Dolny limit wartości rezerwy 5; Zakres programowania: -1e5..1e5; | 0 | | MO ^float | | U1 | 5508>5509 |
| 203 | u R5 | Górny limit wartości rezerwy 5; Zakres programowania: -1e5..1e5; | 0 | | MO ^float | | U1 | 5510>5511 |
| 204 | l R6 | Dolny limit wartości rezerwy 6; Zakres programowania: -1e5..1e5; | 0 | | MO ^float | | U1 | 5512>5513 |
| 205 | u R6 | Górny limit wartości rezerwy 6; Zakres programowania: -1e5..1e5; | 0 | | MO ^float | | U1 | 5514>5515 |
| 206 | l R7 | Dolny limit wartości rezerwy 7; Zakres programowania: -1e5..1e5; | 0 | | MO ^float | | U1 | 5516>5517 |
| 207 | u R7 | Górny limit wartości rezerwy 7; Zakres programowania: -1e5..1e5; | 0 | | MO ^float | | U1 | 5518>5519 |
| 208 | l R8 | Dolny limit wartości rezerwy 8; Zakres programowania: -1e5..1e5; | 0 | | MO ^float | | U1 | 5520>5521 |
| 209 | u R8 | Górny limit wartości rezerwy 8; Zakres programowania: -1e5..1e5; | 0 | | MO ^float | | U1 | 5522>5523 |
| 210 | l RU1 | Dolny limit wartości rezerwy U1; Zakres programowania: -1e5..1e5; | 0 | | MO ^float | | U1 | 5524>5525 |
| 211 | u RU1 | Górny limit wartości rezerwy U1; Zakres programowania: -1e5..1e5; | 0 | | MO ^float | | U1 | 5526>5527 |
| 212 | l RU2 | Dolny limit wartości rezerwy U2; Zakres programowania: -1e5..1e5; | 0 | | MO ^float | | U1 | 5528>5529 |
| 213 | u RU2 | Górny limit wartości rezerwy U2; Zakres programowania: -1e5..1e5; | 0 | | MO ^float | | U1 | 5530>5531 |
| 214 | l RU3 | Dolny limit wartości rezerwy U3; Zakres programowania: -1e5..1e5; | 0 | | MO ^float | | U1 | 5532>5533 |
| 215 | u RU3 | Górny limit wartości rezerwy U3; Zakres programowania: -1e5..1e5; | 0 | | MO ^float | | U1 | 5534>5535 |
| 216 | l RU4 | Dolny limit wartości rezerwy U4; Zakres programowania: -1e5..1e5; | 0 | | MO ^float | | U1 | 5536>5537 |
| 217 | u RU4 | Górny limit wartości rezerwy U4; Zakres programowania: -1e5..1e5; | 0 | | MO ^float | | U1 | 5538>5539 |
| 218 | l dh1 | Limit 1 godzinowego przyrostu wielkości wybranej w parametrze " l dh mode " (DP:221); Zakres programowania: 0..9e6; wartość 0 wyłącza kontrolę limitu; | 0 | | MO ^float | | U1 | 5540>5541 |
| 219 | l dh2 | Limit 2 godzinowego przyrostu wielkości wybranej w parametrze " l dh mode " (DP:221); Zakres programowania: 0..9e6; wartość 0 wyłącza kontrolę limitu; | 0 | | MO ^float | | U1 | 5542>5543 |
| 220 | l dh3 | Limit 3 godzinowego przyrostu wielkości wybranej w parametrze " l dh mode " (DP:221); Zakres programowania: 0..9e6; wartość 0 wyłącza kontrolę limitu; | 0 | | MO ^float | | U1 | 5544>5545 |
| 221 | l dh mode | Wybór wielkości do limitów przyrostów godzinowych: 0 - limity przyrostu objętości w warunkach bazowych, 1 - limity przyrostu energii; | 0 | | MO ^bool | | U1 | 5546 |
| 222 | t lim1 | Limit czasu, powyżej którego nie będzie zgłaszany limit 1 godzinowego przyrostu wielkości wybranej w parametrze " l dh mode " (DP:221); Zakres programowania: 0..3600; | 0 | s | MO ^uint16 | | U1 | 5547 |
| 223 | t lim2 | Limit czasu, powyżej którego nie będzie zgłaszany limit 2 godzinowego przyrostu wielkości wybranej w parametrze " l dh mode " (DP:221); Zakres programowania: 0..3600; | 0 | s | MO ^uint16 | | U1 | 5548 |
| 224 | l0 dh1 | Dolny punkt limitu dh1 wyrażony w procentach; Wartość 100% oznacza, że w okresie czasu t lim1 (DP:222) wartość limitu będzie stała, równa l dh1 (DP:218); | 0 | % | MO ^float | | U1 | 5549>5550 |
| 225 | l0 dh2 | Dolny punkt limitu dh2 wyrażony w procentach; Wartość 100% oznacza, że w okresie czasu t lim2 (DP:223) wartość limitu będzie stała, równa l dh2 (DP:219); | 0 | % | MO ^float | | U1 | 5551>5552 |
| 226 | a l dh1 | Aktualna wartość dynamicznego przyrostu limitu dh1; | 0 | | O ^float | | | 5553>5554 |



| (1) | (2) | (3) | (4) | (5) | (6) | (7) | (8) | (9) |
|-----|-----------|--|-----|-----|------------|-----|------|---------------|
| 227 | a l dh2 | Aktualna wartość dynamicznego przyrostu limitu dh2; | 0 | | O ^float | | | 5555>5556 |
| 228 | --- | wolne miejsce rezerwowe | 0 | | ^uint32 | | | 5557>5558 |
| 229 | --- | wolne miejsce rezerwowe | 0 | | ^float | | | 5559>5560 |
| 230 | l HF1/2 | Horyzont porównania przyrostu impulsów z wejść HF1 i HF2; Zakres programowania: 5000..50000 oraz wartość 0; wartość 0 wyłącza kontrolę i zamyka alarm `Limit HF1-HF2` (ZD:69); | 0 | imp | MO ^uint32 | | U1 | 5561>5562 |
| 231 | t HF1/2 | Dopuszczalna rozbieżność przyrostu impulsów z wejść HF1 i HF2; Zakres programowania: 0..10% wartości limitu l HF1/2 (DP:230). Rozbieżność przekraczająca próg tolerancji spowoduje zapisanie alarmu `Limit HF1-HF2` (ZD:69); | 0 | % | MO ^float | | U1 | 5563>5564 |
| 232 | Param1 | Indeks z tablicy DP wybranego parametru 1 kontrolowanego limitem; Zakres programowania: 0..max indeks tablicy DP; | 0 | | MO ^uint16 | | U1 | 5565 |
| 233 | l Param1 | Dolny limit parametru Param1; Zakres programowania: -1e6..1e6; | 0 | | MO ^float | | U1 | 5566>5567 |
| 234 | u Param1 | Górny limit parametru Param1; Zakres programowania: -1e6..1e6; | 0 | | MO ^float | | U1 | 5568>5569 |
| 235 | Param2 | Indeks z tablicy DP wybranego parametru 2 kontrolowanego limitem; Zakres programowania: 0..max indeks tablicy DP; | 0 | | MO ^uint16 | | U1 | 5570 |
| 236 | l Param2 | Dolny limit parametru Param2; Zakres programowania: -1e6..1e6; | 0 | | MO ^float | | U1 | 5571>5572 |
| 237 | u Param2 | Górny limit parametru Param2; Zakres programowania: -1e6..1e6; | 0 | | MO ^float | | U1 | 5573>5574 |
| 238 | Param3 | Indeks z tablicy DP wybranego parametru 3 kontrolowanego limitem; Zakres programowania: 0..max indeks tablicy DP; | 0 | | MO ^uint16 | | U1 | 5575 |
| 239 | l Param3 | Dolny limit parametru Param3; Zakres programowania: -1e6..1e6; | 0 | | MO ^float | | U1 | 5576>5577 |
| 240 | u Param3 | Górny limit parametru Param3; Zakres programowania: -1e6..1e6; | 0 | | MO ^float | | U1 | 5578>5579 |
| 241 | Param4 | Indeks z tablicy DP wybranego parametru 4 kontrolowanego limitem; Zakres programowania: 0..max indeks tablicy DP; | 0 | | MO ^uint16 | | U1 | 5580 |
| 242 | l Param4 | Dolny limit parametru Param4; Zakres programowania: -1e6..1e6; | 0 | | MO ^float | | U1 | 5581>5582 |
| 243 | u Param4 | Górny limit parametru Param4; Zakres programowania: -1e6..1e6; | 0 | | MO ^float | | U1 | 5583>5584 |
| 244 | meter s/n | Numer fabryczny gazomierza; Zakres programowania: ciąg znaków o długości 1..20; | 0 | | MO ^string | | U0 | 5585>...>5596 |
| 245 | dp1 s/n | Numer fabryczny przetwornika różnicy ciśnień dp1; Zakres programowania: ciąg znaków o długości 1..20; | 0 | | MO ^string | | U0 | 5597>...>5608 |
| 246 | dp2 s/n | Numer fabryczny przetwornika różnicy ciśnień dp2; Zakres programowania: ciąg znaków o długości 1..20; | 0 | | MO ^string | | U0 | 5609>...>5620 |
| 247 | p s/n | Numer fabryczny przetwornika ciśnienia; Zakres programowania: ciąg znaków o długości 1..20; MET; BLOK=ON; | 0 | | MO ^string | | M/U0 | 5621>...>5632 |
| 248 | t s/n | Numer fabryczny przetwornika temperatury; Zakres programowania: ciąg znaków o długości 1..20; MET; BLOK=ON; | 0 | | MO ^string | | M/U0 | 5633>...>5644 |
| 249 | RA s/n | Numer fabryczny przetwornika rezerwowego A; Zakres programowania: ciąg znaków o długości 1..20; | 0 | | MO ^string | | U0 | 5645>...>5656 |
| 250 | RB s/n | Numer fabryczny przetwornika rezerwowego B; Zakres programowania: ciąg znaków o długości 1..20; | 0 | | MO ^string | | U0 | 5657>...>5668 |
| 251 | R1 s/n | Numer fabryczny przetwornika rezerwowego 1; Zakres programowania: ciąg znaków o długości 1..20; | 0 | | MO ^string | | U0 | 5669>...>5680 |



| (1) | (2) | (3) | (4) | (5) | (6) | (7) | (8) | (9) |
|-----|---------|--|-----|-----|------------|-----|-----|---------------|
| 252 | R2 s/n | Numer fabryczny przetwornika rezerwowego 2; Zakres programowania: ciąg znaków o długości 1..20; | 0 | | MO ^string | | U0 | 5681>...>5692 |
| 253 | R3 s/n | Numer fabryczny przetwornika rezerwowego 3; Zakres programowania: ciąg znaków o długości 1..20; | 0 | | MO ^string | | U0 | 5693>...>5704 |
| 254 | R4 s/n | Numer fabryczny przetwornika rezerwowego 4; Zakres programowania: ciąg znaków o długości 1..20; | 0 | | MO ^string | | U0 | 5705>...>5716 |
| 255 | R5 s/n | Numer fabryczny przetwornika rezerwowego 5; Zakres programowania: ciąg znaków o długości 1..20; | 0 | | MO ^string | | U0 | 5717>...>5728 |
| 256 | R6 s/n | Numer fabryczny przetwornika rezerwowego 6; Zakres programowania: ciąg znaków o długości 1..20; | 0 | | MO ^string | | U0 | 5729>...>5740 |
| 257 | R7 s/n | Numer fabryczny przetwornika rezerwowego 7; Zakres programowania: ciąg znaków o długości 1..20; | 0 | | MO ^string | | U0 | 5741>...>5752 |
| 258 | R8 s/n | Numer fabryczny przetwornika rezerwowego 8; Zakres programowania: ciąg znaków o długości 1..20; | 0 | | MO ^string | | U0 | 5753>...>5764 |
| 259 | RU1 s/n | Numer fabryczny przetwornika rezerwowego U1; Zakres programowania: ciąg znaków o długości 1..20; | 0 | | MO ^string | | U0 | 5765>...>5776 |
| 260 | RU2 s/n | Numer fabryczny przetwornika rezerwowego U2; Zakres programowania: ciąg znaków o długości 1..20; | 0 | | MO ^string | | U0 | 5777>...>5788 |
| 261 | RU3 s/n | Numer fabryczny przetwornika rezerwowego U3; Zakres programowania: ciąg znaków o długości 1..20; | 0 | | MO ^string | | U0 | 5789>...>5800 |
| 262 | RU4 s/n | Numer fabryczny przetwornika rezerwowego U4; Zakres programowania: ciąg znaków o długości 1..20; | 0 | | MO ^string | | U0 | 5801>...>5812 |
| 263 | NRA | Opis wejścia rezerwowego A; Zakres programowania: ciąg znaków o długości 1..6; | 0 | | MO ^string | | U1 | 5813>...>5824 |
| 264 | NRB | Opis wejścia rezerwowego B; Zakres programowania: ciąg znaków o długości 1..6; | 0 | | MO ^string | | U1 | 5825>...>5836 |
| 265 | NR1 | Opis wejścia rezerwowego 1; Zakres programowania: ciąg znaków o długości 1..6; | 0 | | MO ^string | | U1 | 5837>...>5848 |
| 266 | NR2 | Opis wejścia rezerwowego 2; Zakres programowania: ciąg znaków o długości 1..6; | 0 | | MO ^string | | U1 | 5849>...>5860 |
| 267 | NR3 | Opis wejścia rezerwowego 3; Zakres programowania: ciąg znaków o długości 1..6; | 0 | | MO ^string | | U1 | 5861>...>5872 |
| 268 | NR4 | Opis wejścia rezerwowego 4; Zakres programowania: ciąg znaków o długości 1..6; | 0 | | MO ^string | | U1 | 5873>...>5884 |
| 269 | NR5 | Opis wejścia rezerwowego 5; Zakres programowania: ciąg znaków o długości 1..6; | 0 | | MO ^string | | U1 | 5885>...>5896 |
| 270 | NR6 | Opis wejścia rezerwowego 6; Zakres programowania: ciąg znaków o długości 1..6; | 0 | | MO ^string | | U1 | 5897>...>5908 |
| 271 | NR7 | Opis wejścia rezerwowego 7; Zakres programowania: ciąg znaków o długości 1..6; | 0 | | MO ^string | | U1 | 5909>...>5920 |
| 272 | NR8 | Opis wejścia rezerwowego 8; Zakres programowania: ciąg znaków o długości 1..6; | 0 | | MO ^string | | U1 | 5921>...>5932 |
| 273 | NRU1 | Opis wejścia rezerwowego U1; Zakres programowania: ciąg znaków o długości 1..6; | 0 | | MO ^string | | U1 | 5933>...>5944 |
| 274 | NRU2 | Opis wejścia rezerwowego U2; Zakres programowania: ciąg znaków o długości 1..6; | 0 | | MO ^string | | U1 | 5945>...>5956 |
| 275 | NRU3 | Opis wejścia rezerwowego U3; Zakres programowania: ciąg znaków o długości 1..6; | 0 | | MO ^string | | U1 | 5957>...>5968 |
| 276 | NRU4 | Opis wejścia rezerwowego U4; Zakres programowania: ciąg znaków o długości 1..6; | 0 | | MO ^string | | U1 | 5969>...>5980 |
| 277 | --- | wolne miejsce rezerwowe | 0 | | ^float | | | 5981>5982 |
| 278 | --- | wolne miejsce rezerwowe | 0 | | ^float | | | 5983>5984 |
| 279 | --- | wolne miejsce rezerwowe | 0 | | ^float | | | 5985>5986 |



| (1) | (2) | (3) | (4) | (5) | (6) | (7) | (8) | (9) |
|-----|--------------|---|-----|------|------------|-----|-----|---------------|
| 280 | beta | Przewężenie kryzy; $\beta = d_{akt} / D_{akt}$; | 0 | | O ^float | | | 5987>5988 |
| 281 | d20 | Średnica otworu kryzy w 20°C; Zakres programowania: 12,5..1000; BLOK=ON ; | 0 | mm | MO ^double | | U0 | 5989>...>5992 |
| 282 | D20 | Średnica rurociągu w 20°C; Zakres programowania: 50..1000; BLOK=ON ; | 0 | mm | MO ^double | | U0 | 5993>...>5996 |
| 283 | alfatk | Współczynnik rozszerzalności cieplnej materiału kryzy; Zakres programowania: 0..0,0005; BLOK=ON ; | 0 | 1/°C | MO ^double | | U0 | 5997>...>6000 |
| 284 | alfatr | Współczynnik rozszerzalności cieplnej materiału rurociągu; Zakres programowania: 0..0,0005; BLOK=ON ; | 0 | 1/°C | MO ^double | | U0 | 6001>...>6004 |
| 285 | Re | Liczba Reynolds'a; | 0 | | O ^float | | | 6005>6006 |
| 286 | mi m | Lepkość dynamiczna w warunkach pomiaru; | 0 | Pa*s | O ^float | | | 6007>6008 |
| 287 | mi b | Lepkość dynamiczna w warunkach bazowych; | 0 | Pa*s | O ^float | | | 6009>6010 |
| 288 | kap m | Wykładnik izentropy w warunkach pomiaru; | 0 | | O ^float | | | 6011>6012 |
| 289 | kap b | Wykładnik izentropy w warunkach bazowych; | 0 | | O ^float | | | 6013>6014 |
| 290 | eps | Liczba ekspansji; | 0 | | O ^float | | | 6015>6016 |
| 291 | Cp | Współczynnik przepływu; | 0 | | O ^float | | | 6017>6018 |
| 292 | conf_Cp | Konfiguracja obliczania współczynnika przepływu Cp ; wartość liczby: 1 -(opcja1=wzór Stolz'a), 2 -(opcja2= wzór Reader-Harris/Gallagher); BLOK=ON ; | 0 | | MO ^uint8 | | U0 | 6019 |
| 293 | conf_eps | Konfiguracja obliczania liczby ekspansji eps; wartość liczby: 1 -(opcja1=ZNG4002:1995), 2 -(opcja2=ZNG4002:2001); BLOK=ON ; | 0 | | MO ^uint8 | | U0 | 6020 |
| 294 | conf_mi | Konfiguracja obliczania lepkości dynamicznej mi ; wartość liczby: 1 -(opcja1=ZNG4002:2001), 2 -(opcja3=ZNG4002:1995); BLOK=ON ; | 0 | | MO ^uint8 | | U0 | 6021 |
| 295 | conf_kap | Konfiguracja obliczania wykładnika izentropy kap ; wartość liczby: 1 -(opcja1=ZNG4002:2001), 2 -(opcja2=ZNG4002:1995); BLOK=ON ; | 0 | | MO ^uint8 | | U0 | 6022 |
| 296 | conf_t or | Konfiguracja obliczania temperatury w płaszczyźnie kryzy; wartość liczby: 1 -(opcja1,T1=T2), 2 -(opcja2,5D8D); BLOK=ON ; | 0 | | MO ^uint8 | | U0 | 6023 |
| 297 | t or | Temperatura gazu w płaszczyźnie kryzy; | 0 | °C | O ^float | | | 6024>6025 |
| 298 | dp range | Aktualnie wykorzystywany zakres pracy przetworników różnicy ciśnień; 0 - praca na zakresie dolnym; 1 - praca na zakresie górnym; | 0 | | O ^bool | | | 6026 |
| 299 | dp1 | Wartość różnicy ciśnień na wejściu dp1; | 0 | mbar | O ^float | | | 6027>6028 |
| 300 | dp2 | Wartość różnicy ciśnień na wejściu dp2; | 0 | mbar | O ^float | | | 6029>6030 |
| 301 | ALG_PATH 2dp | Binarna ścieżka wykonania algorytmu 2xdp; | 0 | | O ^uint32 | | | 6031>6032 |
| 302 | STATUS 2dp | Binarna reprezentacja bieżącego stanu algorytmu 2xdp; | 0 | | O ^uint8 | | | 6033 |
| 303 | dyn dp1 | Kryterium wykrywania skoku wartości na wejściu dp1; Zakres programowania: 0..1e3; | 0 | mbar | MO ^float | | U0 | 6034>6035 |
| 304 | dyn dp2 | Kryterium wykrywania skoku wartości na wejściu dp2; Zakres programowania: 0..1e3; | 0 | mbar | MO ^float | | U0 | 6036>6037 |
| 305 | n dpL | Strefa nieczułości przetworników dp na zakresie dolnym; Zakres programowania: 0..2%; | 0 | % | MO ^float | | U0 | 6038>6039 |
| 306 | hyst | Szerokość histerezy zmiany aktywnego zakresu przetworników różnicy ciśnień; Zakres programowania: 0..100% szerokości zakresu dolnego różnicy ciśnień; | 0 | % | MO ^float | | U0 | 6040>6041 |
| 307 | N mode | Tryb pracy nawalniał; 0 - wyłączona, 1 - wyjście, 2 - kaskada pełna, 3 - przejście impulsowe; | 0 | | MO ^uint8 | | U0 | 6042 |



| (1) | (2) | (3) | (4) | (5) | (6) | (7) | (8) | (9) |
|-----|----------------|---|-----|--------|------------|-----|-----|---------------|
| 308 | SN2-OUT | Licznik impulsów wystawionych z wyjścia nawaniania (SN2-OUT); Zakres programowania: 0..4294967295; | 0 | imp | MO ^uint32 | | U0 | 6043>6044 |
| 309 | SN2-IN | Licznik impulsów zliczonych na wejściu nawaniania (SN2-IN); Zakres programowania: 0..4294967295; | 0 | imp | MO ^uint32 | | U0 | 6045>6046 |
| 310 | SN2-OUT factor | Waga impulsów wyjściowych nawaniania; Zakres programowania: 0..100; | 0 | m3/imp | MO ^float | | U0 | 6047>6048 |
| 311 | SN2-IN factor | Waga impulsów wejściowych nawaniania; Zakres programowania: 0,001..100; | 0 | m3/imp | MO ^float | | U0 | 6049>6050 |
| 312 | SN2-OUT fmax | Maksymalna częstotliwość impulsów na wyjściu nawaniania; Zakres programowania: 1..3; | 0 | Hz | MO ^float | | U0 | 6051>6052 |
| 313 | SN1-IN mode | Konfiguracja wejścia SN1-IN; 0 - wejście sygnalizacji, 1 - wejście licznika pomocniczego; | 0 | | MO ^uint8 | | U0 | 6053 |
| 314 | SN1-IN factor | Waga impulsów na wejściu SN1-IN; Zakres programowania: 0,001..100; | 0 | m3/imp | MO ^float | | U0 | 6054>6055 |
| 315 | SN1-IN | Licznik impulsów zliczonych na wejściu licznika pomocniczego (SN1-IN); Zakres programowania: 0..4294967295; | 0 | imp | MO ^uint32 | | U0 | 6056>6057 |
| 316 | Vm SN1-IN | Pomocniczy licznik objętości gazu w warunkach pomiaru z wejścia SN1-IN; | 0 | m3 | O ^double | | | 6058>...>6061 |
| 317 | Vm SN2-IN | Pomocniczy licznik objętości gazu w warunkach pomiaru z wejścia SN2-IN; | 0 | m3 | O ^double | | | 6062>...>6065 |
| 318 | dN | Przyrost objętości nawonionego gazu; | 0 | m3 | RO ^float | Su | | 6066>6067 |
| 319 | dev | Licznik objętości gazu do nawonienia; | 0 | m3 | O ^float | | | 6068>6069 |
| 320 | dev time | Czas zdwojenia - parametr przyspieszający i stabilizujący wydawanie impulsów z nawaniania, w zależności od wartości uchybu; Zakres programowania: 1..100; | 0 | | MO ^uint8 | | U0 | 6070 |
| 321 | Qtr | Strumień objętości gazu do nawonienia pochodzący z transmisji; Zakres programowania: 0..1000000; | 0 | | MO ^float | | U0 | 6071>6072 |
| 322 | dev saturation | Nasylenie licznika uchybu; Zakres programowania: 1..20; | 0 | | MO ^uint8 | | U0 | 6073 |
| 323 | S_G0 | Stan aktywności wejść sygnalizacji wewnętrznych (S1-S2); | 0 | | O ^uint8 | | | 6074 |
| 324 | S_G1 | Stan zewnętrznych sygnalizacji grupy 1 (S3-S14); Zakres programowania: 0..65535; | 0 | | MO ^uint16 | | U0 | 6075 |
| 325 | S_G2 | Stan zewnętrznych sygnalizacji grupy 2 (S15-S26); Zakres programowania: 0..65535; | 0 | | MO ^uint16 | | U0 | 6076 |
| 326 | S_G1 act | Aktywność zewnętrznych sygnalizacji grupy 1 (S3-S14); | 0 | | O ^uint16 | | | 6077 |
| 327 | S_G2 act | Aktywność zewnętrznych sygnalizacji grupy 2 (S15-S26); | 0 | | O ^uint16 | | | 6078 |
| 328 | S_G1 pol | Polaryzacja zewnętrznych sygnalizacji grupy 1 (S3-S14); Zakres programowania: 0..65535; | 0 | | MO ^uint16 | | U0 | 6079 |
| 329 | S_G2 pol | Polaryzacja zewnętrznych sygnalizacji grupy 2 (S15-S26); Zakres programowania: 0..65535; | 0 | | MO ^uint16 | | U0 | 6080 |
| 330 | NS1 | Opis sygnalizacji S1; Zakres programowania: ciąg znaków o długości 1..20; | 0 | | MO ^string | | U1 | 6081>...>6092 |
| 331 | NS2 | Opis sygnalizacji S2; Zakres programowania: ciąg znaków o długości 1..20; | 0 | | MO ^string | | U1 | 6093>...>6104 |
| 332 | NS3 | Opis sygnalizacji S3; Zakres programowania: ciąg znaków o długości 1..20; | 0 | | MO ^string | | U1 | 6105>...>6116 |
| 333 | NS4 | Opis sygnalizacji S4; Zakres programowania: ciąg znaków o długości 1..20; | 0 | | MO ^string | | U1 | 6117>...>6128 |
| 334 | NS5 | Opis sygnalizacji S5; Zakres programowania: ciąg znaków o długości 1..20; | 0 | | MO ^string | | U1 | 6129>...>6140 |
| 335 | NS6 | Opis sygnalizacji S6; Zakres programowania: ciąg znaków o długości 1..20; | 0 | | MO ^string | | U1 | 6141>...>6152 |
| 336 | NS7 | Opis sygnalizacji S7; Zakres programowania: ciąg znaków o długości 1..20; | 0 | | MO ^string | | U1 | 6153>...>6164 |
| 337 | NS8 | Opis sygnalizacji S8; Zakres programowania: ciąg znaków o długości 1..20; | 0 | | MO ^string | | U1 | 6165>...>6176 |
| 338 | NS9 | Opis sygnalizacji S9; Zakres programowania: ciąg znaków o długości 1..20; | 0 | | MO ^string | | U1 | 6177>...>6188 |
| 339 | NS10 | Opis sygnalizacji S10; Zakres programowania: ciąg znaków o długości 1..20; | 0 | | MO ^string | | U1 | 6189>...>6200 |



| (1) | (2) | (3) | (4) | (5) | (6) | (7) | (8) | (9) |
|-----|----------|--|-----|-----|------------|-----|-----|---------------|
| 340 | NS11 | Opis sygnalizacji S11; Zakres programowania: ciąg znaków o długości 1..20; | 0 | | MO ^string | | U1 | 6201>...>6212 |
| 341 | NS12 | Opis sygnalizacji S12; Zakres programowania: ciąg znaków o długości 1..20; | 0 | | MO ^string | | U1 | 6213>...>6224 |
| 342 | NS13 | Opis sygnalizacji S13; Zakres programowania: ciąg znaków o długości 1..20; | 0 | | MO ^string | | U1 | 6225>...>6236 |
| 343 | NS14 | Opis sygnalizacji S14; Zakres programowania: ciąg znaków o długości 1..20; | 0 | | MO ^string | | U1 | 6237>...>6248 |
| 344 | NS15 | Opis sygnalizacji S15; Zakres programowania: ciąg znaków o długości 1..20; | 0 | | MO ^string | | U1 | 6249>...>6260 |
| 345 | NS16 | Opis sygnalizacji S16; Zakres programowania: ciąg znaków o długości 1..20; | 0 | | MO ^string | | U1 | 6261>...>6272 |
| 346 | NS17 | Opis sygnalizacji S17; Zakres programowania: ciąg znaków o długości 1..20; | 0 | | MO ^string | | U1 | 6273>...>6284 |
| 347 | NS18 | Opis sygnalizacji S18; Zakres programowania: ciąg znaków o długości 1..20; | 0 | | MO ^string | | U1 | 6285>...>6296 |
| 348 | NS19 | Opis sygnalizacji S19; Zakres programowania: ciąg znaków o długości 1..20; | 0 | | MO ^string | | U1 | 6297>...>6308 |
| 349 | NS20 | Opis sygnalizacji S20; Zakres programowania: ciąg znaków o długości 1..20; | 0 | | MO ^string | | U1 | 6309>...>6320 |
| 350 | NS21 | Opis sygnalizacji S21; Zakres programowania: ciąg znaków o długości 1..20; | 0 | | MO ^string | | U1 | 6321>...>6332 |
| 351 | NS22 | Opis sygnalizacji S22; Zakres programowania: ciąg znaków o długości 1..20; | 0 | | MO ^string | | U1 | 6333>...>6344 |
| 352 | NS23 | Opis sygnalizacji S23; Zakres programowania: ciąg znaków o długości 1..20; | 0 | | MO ^string | | U1 | 6345>...>6356 |
| 353 | NS24 | Opis sygnalizacji S24; Zakres programowania: ciąg znaków o długości 1..20; | 0 | | MO ^string | | U1 | 6357>...>6368 |
| 354 | NS25 | Opis sygnalizacji S25; Zakres programowania: ciąg znaków o długości 1..20; | 0 | | MO ^string | | U1 | 6369>...>6380 |
| 355 | NS26 | Opis sygnalizacji S26; Zakres programowania: ciąg znaków o długości 1..20; | 0 | | MO ^string | | U1 | 6381>...>6392 |
| 356 | OC | Stan aktywności wyjść dwustanowych wewnętrznych; | 0 | | O ^uint8 | | | 6393 |
| 357 | DO | Stan wyjść dwustanowych zewnętrznych; Zakres programowania: 0..65535; | 0 | | MO ^uint16 | | U0 | 6394 |
| 358 | DO act | Aktywne wyjścia dwustanowe; | 0 | | O ^uint16 | | | 6395 |
| 359 | DO pol | Polaryzacja wyjść dwustanowych zewnętrznych; Zakres programowania: 0..65535; | 0 | | MO ^uint16 | | U0 | 6396 |
| 360 | OC1 idx | Kod alarmu aktywującego wyjście OC1 - SN1-OUT; Zakres programowania: 0..max indeks tablicy ZD; | 0 | | MO ^uint8 | | U0 | 6397 |
| 361 | OC2 idx | Kod alarmu aktywującego wyjście OC2 - SN2-OUT; Zakres programowania: 0..max indeks tablicy ZD; | 0 | | MO ^uint8 | | U0 | 6398 |
| 362 | DO1 idx | Kod alarmu aktywującego wyjście DO1; Zakres programowania: 0..max indeks tablicy ZD; | 0 | | MO ^uint8 | | U0 | 6399 |
| 363 | DO2 idx | Kod alarmu aktywującego wyjście DO2; Zakres programowania: 0..max indeks tablicy ZD; | 0 | | MO ^uint8 | | U0 | 6400 |
| 364 | DO3 idx | Kod alarmu aktywującego wyjście DO3; Zakres programowania: 0..max indeks tablicy ZD; | 0 | | MO ^uint8 | | U0 | 6401 |
| 365 | DO4 idx | Kod alarmu aktywującego wyjście DO4; Zakres programowania: 0..max indeks tablicy ZD; | 0 | | MO ^uint8 | | U0 | 6402 |
| 366 | DO5 idx | Kod alarmu aktywującego wyjście DO5; Zakres programowania: 0..max indeks tablicy ZD; | 0 | | MO ^uint8 | | U0 | 6403 |
| 367 | DO6 idx | Kod alarmu aktywującego wyjście DO6; Zakres programowania: 0..max indeks tablicy ZD; | 0 | | MO ^uint8 | | U0 | 6404 |
| 368 | DO7 idx | Kod alarmu aktywującego wyjście DO7; Zakres programowania: 0..max indeks tablicy ZD; | 0 | | MO ^uint8 | | U0 | 6405 |
| 369 | DO8 idx | Kod alarmu aktywującego wyjście DO8; Zakres programowania: 0..max indeks tablicy ZD; | 0 | | MO ^uint8 | | U0 | 6406 |
| 370 | DO9 idx | Kod alarmu aktywującego wyjście DO9; Zakres programowania: 0..max indeks tablicy ZD; | 0 | | MO ^uint8 | | U0 | 6407 |
| 371 | DO10 idx | Kod alarmu aktywującego wyjście DO10; Zakres programowania: 0..max indeks tablicy ZD; | 0 | | MO ^uint8 | | U0 | 6408 |



| (1) | (2) | (3) | (4) | (5) | (6) | (7) | (8) | (9) |
|-----|--------------|--|-----|-------|------------|-----|-----|---------------|
| 372 | DO11 idx | Kod alarmu aktywującego wyjście DO11; Zakres programowania: 0..max indeks tablicy ZD; | 0 | | MO ^uint8 | | U0 | 6409 |
| 373 | DO12 idx | Kod alarmu aktywującego wyjście DO12; Zakres programowania: 0..max indeks tablicy ZD; | 0 | | MO ^uint8 | | U0 | 6410 |
| 374 | DO13 idx | Kod alarmu aktywującego wyjście DO13; Zakres programowania: 0..max indeks tablicy ZD; | 0 | | MO ^uint8 | | U0 | 6411 |
| 375 | DO14 idx | Kod alarmu aktywującego wyjście DO14; Zakres programowania: 0..max indeks tablicy ZD; | 0 | | MO ^uint8 | | U0 | 6412 |
| 376 | DO15 idx | Kod alarmu aktywującego wyjście DO15; Zakres programowania: 0..max indeks tablicy ZD; | 0 | | MO ^uint8 | | U0 | 6413 |
| 377 | DO16 idx | Kod alarmu aktywującego wyjście DO16; Zakres programowania: 0..max indeks tablicy ZD; | 0 | | MO ^uint8 | | U0 | 6414 |
| 378 | dtau | Okres rejestracji; Zakres programowania: całkowite podzielniki liczby 60; | 0 | min | MO ^uint16 | | U0 | 6415 |
| 379 | Billing hour | Godzina początku doby gazowej; Zakres programowania: 0..23; | 0 | h | MO ^uint8 | | U0 | 6416 |
| 380 | Billing day | Dzień początku miesiąca gazowego; Zakres programowania: 1..31; | 0 | d | MO ^uint8 | | U0 | 6417 |
| 381 | backlight | Czas wyłączenia podświetlenia po zakończeniu działań na klawiaturze przelicznika; Zakres programowania: 0..999; Wartość 0 oznacza stale działające podświetlenie podczas pracy na zasilaniu zewnętrznym, 999 wyłączone podświetlenie; | 0 | s | MO ^uint16 | | U1 | 6418 |
| 382 | auto DST | Automatyczna zmiana czasu letni/zimowy; 0 - automatyczna zmiana wyłączona; 1 - załączona; BLOK=ON; | 0 | | MO ^bool | | U0 | 6419 |
| 383 | conf_subst | Binarna konfiguracja przechodzenia na wartości zastępcze p i t; Bit nr 1 - ciśnienie, bit nr 2 - temperatura; wartość bitu=1 - wartość zastępcza p lub t; wartość bitu=0 - wartość ostatnio poprawnie zmierzona w zakresie pomiarowym p lub t; | 0 | | MO ^uint32 | | U0 | 6420>6421 |
| 384 | p subst | Ciśnienie zastępcze na czas trwania alarmu systemowego przekroczenia zakresu pomiarowego ciśnienia; Zakres programowania: (p min..p max) - indeksy parametrów w tablicy DP: (145..146); BLOK=ON; | 0 | kPa | MO ^double | | U0 | 6422>...>6425 |
| 385 | t subst | Temperatura zastępcza na czas trwania alarmu systemowego przekroczenia zakresu pomiarowego temperatury; Zakres programowania: (t min..t max) - indeksy parametrów w tablicy DP: (147..148); BLOK=ON; | 0 | 'C | MO ^double | | U0 | 6426>...>6429 |
| 386 | alarm ack | Potwierdzanie alarmów; 0 - nowe alarmy nie wymagają potwierdzenia z klawiatury; 1 - wymagają potwierdzenia; | 0 | | MO ^bool | | U0 | 6430 |
| 387 | dly SYS | Opóźnienie sygnalizowania alarmów systemowych; dotyczy alarmów, które nie mają własnych opóźnień; Zakres programowania: 0..20; | 0 | cycle | MO ^uint8 | | U0 | 6431 |
| 388 | dly PROC | Opóźnienie sygnalizowania alarmów procesowych; dotyczy alarmów, które nie mają własnych opóźnień; Zakres programowania: 0..20; | 0 | cycle | MO ^uint8 | | U0 | 6432 |
| 389 | dly EVT | Opóźnienie sygnalizowania zdarzeń ciągłych; dotyczy alarmów, które nie mają własnych opóźnień; Zakres programowania: 0..20; | 0 | cycle | MO ^uint8 | | U0 | 6433 |
| 390 | dly COM1 | Opóźnienie sygnalizowania braku łączności na COM1; Zakres programowania: 0..100000; 0 - wyłącza kontrolę braku łączności; | 0 | s | MO ^uint32 | | U0 | 6434>6435 |
| 391 | dly COM2 | Opóźnienie sygnalizowania braku łączności na COM2; Zakres programowania: 0..100000; 0 - wyłącza kontrolę braku łączności; | 0 | s | MO ^uint32 | | U0 | 6436>6437 |
| 392 | dly COM3 | Opóźnienie sygnalizowania braku łączności na COM3; Zakres programowania: 0..100000; 0 - wyłącza kontrolę braku łączności; | 0 | s | MO ^uint32 | | U0 | 6438>6439 |
| 393 | dly COM4 | Opóźnienie sygnalizowania braku łączności na COM4; Zakres programowania: 0..100000; 0 - wyłącza kontrolę braku łączności; | 0 | s | MO ^uint32 | | U0 | 6440>6441 |
| 394 | dly dp rng | Opóźnienie sygnalizowania alarmów od przekroczenia zakresów min i max wejść dp1, dp2 - indeksy 141..144; Zakres programowania: 0..20; | 0 | cycle | MO ^uint32 | | U0 | 6442>6443 |
| 395 | dly dp lim | Opóźnienie sygnalizowania alarmów od wyjścia wartości dp poza przedział (l dp..u dp) - indeksy 184, 185; Zakres programowania: 0..20; | 0 | cycle | MO ^uint32 | | U0 | 6444>6445 |



| (1) | (2) | (3) | (4) | (5) | (6) | (7) | (8) | (9) |
|-----|------------|--|-----|-------|------------|-----|-----|-----------|
| 396 | dly p rng | Opóźnienie sygnalizowania alarmów od przekroczenia zakresu ciśnienia (p min..p max) - indeksy 145, 146; Zakres programowania: 0..20; | 0 | cycle | MO ^uint32 | | U0 | 6446>6447 |
| 397 | dly p lim | Opóźnienie sygnalizowania alarmów od wyjścia wartości p poza przedział (l p..u p) - indeksy 186, 187; Zakres programowania: 0..20; | 0 | cycle | MO ^uint32 | | U0 | 6448>6449 |
| 398 | dly t rng | Opóźnienie sygnalizowania alarmów od przekroczenia zakresu temperatury (t min..t max) - indeksy 147, 148; Zakres programowania: 0..20; | 0 | cycle | MO ^uint32 | | U0 | 6450>6451 |
| 399 | dly t lim | Opóźnienie sygnalizowania alarmów od wyjścia wartości t poza przedział (l t..u t) - indeksy 188, 189; Zakres programowania: 0..20; | 0 | cycle | MO ^uint32 | | U0 | 6452>6453 |
| 400 | dly Qm lim | Opóźnienie sygnalizowania alarmów od wyjścia wartości Qm poza przedział (l Qm..u Qm) - indeksy 182, 183; Zakres programowania: 0..20; | 0 | cycle | MO ^uint32 | | U0 | 6454>6455 |
| 401 | dly SUBST | Opóźnienie sygnalizowania zdarzeń działania na wartościach zastępczych p lub t ; Zakres programowania: 0..20; | 0 | cycle | MO ^uint32 | | U0 | 6456>6457 |
| 402 | dly SHRCT | Opóźnienie sygnalizowania alarmów od zwarć/rozwarć w obwodach; Zakres programowania: 0..20; | 0 | cycle | MO ^uint32 | | U0 | 6458>6459 |
| 403 | al_GA1 | Wektor alarmów aktywujących `Alarm zbiorczy A` (ZD:121), (alarmy 0..31); Zakres programowania: 0..4294967295; | 0 | | MO ^uint32 | | U0 | 6460>6461 |
| 404 | al_GA2 | Wektor alarmów aktywujących `Alarm zbiorczy A` (ZD:121), (alarmy 32..63); Zakres programowania: 0..4294967295; | 0 | | MO ^uint32 | | U0 | 6462>6463 |
| 405 | al_GA3 | Wektor alarmów aktywujących `Alarm zbiorczy A` (ZD:121), (alarmy 64..95); Zakres programowania: 0..4294967295; | 0 | | MO ^uint32 | | U0 | 6464>6465 |
| 406 | al_GA4 | Wektor alarmów aktywujących `Alarm zbiorczy A` (ZD:121), (alarmy 96..127); Zakres programowania: 0..4294967295; | 0 | | MO ^uint32 | | U0 | 6466>6467 |
| 407 | al_GA5 | Wektor alarmów aktywujących `Alarm zbiorczy A` (ZD:121), (alarmy 128..159); Zakres programowania: 0..4294967295; | 0 | | MO ^uint32 | | U0 | 6468>6469 |
| 408 | al_GA6 | Wektor alarmów aktywujących `Alarm zbiorczy A` (ZD:121), (alarmy 160..191); Zakres programowania: 0..4294967295; | 0 | | MO ^uint32 | | U0 | 6470>6471 |
| 409 | al_GB1 | Wektor alarmów aktywujących `Alarm zbiorczy B` (ZD:122), (alarmy 0..31); Zakres programowania: 0..4294967295; | 0 | | MO ^uint32 | | U0 | 6472>6473 |
| 410 | al_GB2 | Wektor alarmów aktywujących `Alarm zbiorczy B` (ZD:122), (alarmy 32..63); Zakres programowania: 0..4294967295; | 0 | | MO ^uint32 | | U0 | 6474>6475 |
| 411 | al_GB3 | Wektor alarmów aktywujących `Alarm zbiorczy B` (ZD:122), (alarmy 64..95); Zakres programowania: 0..4294967295; | 0 | | MO ^uint32 | | U0 | 6476>6477 |
| 412 | al_GB4 | Wektor alarmów aktywujących `Alarm zbiorczy B` (ZD:122), (alarmy 96..127); Zakres programowania: 0..4294967295; | 0 | | MO ^uint32 | | U0 | 6478>6479 |
| 413 | al_GB5 | Wektor alarmów aktywujących `Alarm zbiorczy B` (ZD:122), (alarmy 128..159); Zakres programowania: 0..4294967295; | 0 | | MO ^uint32 | | U0 | 6480>6481 |
| 414 | al_GB6 | Wektor alarmów aktywujących `Alarm zbiorczy B` (ZD:122), (alarmy 160..191); Zakres programowania: 0..4294967295; | 0 | | MO ^uint32 | | U0 | 6482>6483 |
| 415 | al_GC1 | Wektor alarmów aktywujących `Alarm zbiorczy C` (ZD:123), (alarmy 0..31); Zakres programowania: 0..4294967295; | 0 | | MO ^uint32 | | U0 | 6484>6485 |
| 416 | al_GC2 | Wektor alarmów aktywujących `Alarm zbiorczy C` (ZD:123), (alarmy 32..63); Zakres programowania: 0..4294967295; | 0 | | MO ^uint32 | | U0 | 6486>6487 |
| 417 | al_GC3 | Wektor alarmów aktywujących `Alarm zbiorczy C` (ZD:123), (alarmy 64..95); Zakres programowania: 0..4294967295; | 0 | | MO ^uint32 | | U0 | 6488>6489 |
| 418 | al_GC4 | Wektor alarmów aktywujących `Alarm zbiorczy C` (ZD:123), (alarmy 96..127); Zakres programowania: 0..4294967295; | 0 | | MO ^uint32 | | U0 | 6490>6491 |
| 419 | al_GC5 | Wektor alarmów aktywujących `Alarm zbiorczy C` (ZD:123), (alarmy 128..159); Zakres programowania: 0..4294967295; | 0 | | MO ^uint32 | | U0 | 6492>6493 |



| (1) | (2) | (3) | (4) | (5) | (6) | (7) | (8) | (9) |
|-----|------------------|---|-----|------|------------|-----|-----|-----------|
| 420 | al_GC6 | Wektor alarmów aktywujących `Alarm zbiorczy C` (ZD:123), (alarmy 160..191); Zakres programowania: 0..4294967295; | 0 | | MO ^uint32 | | U0 | 6494>6495 |
| 421 | al_GD1 | Wektor alarmów aktywujących `Alarm zbiorczy D` (ZD:124), (alarmy 0..31); Zakres programowania: 0..4294967295; | 0 | | MO ^uint32 | | U0 | 6496>6497 |
| 422 | al_GD2 | Wektor alarmów aktywujących `Alarm zbiorczy D` (ZD:124), (alarmy 32..63); Zakres programowania: 0..4294967295; | 0 | | MO ^uint32 | | U0 | 6498>6499 |
| 423 | al_GD3 | Wektor alarmów aktywujących `Alarm zbiorczy D` (ZD:124), (alarmy 64..95); Zakres programowania: 0..4294967295; | 0 | | MO ^uint32 | | U0 | 6500>6501 |
| 424 | al_GD4 | Wektor alarmów aktywujących `Alarm zbiorczy D` (ZD:124), (alarmy 96..127); Zakres programowania: 0..4294967295; | 0 | | MO ^uint32 | | U0 | 6502>6503 |
| 425 | al_GD5 | Wektor alarmów aktywujących `Alarm zbiorczy D` (ZD:124), (alarmy 128..159); Zakres programowania: 0..4294967295; | 0 | | MO ^uint32 | | U0 | 6504>6505 |
| 426 | al_GD6 | Wektor alarmów aktywujących `Alarm zbiorczy D` (ZD:124), (alarmy 160..191); Zakres programowania: 0..4294967295; | 0 | | MO ^uint32 | | U0 | 6506>6507 |
| 427 | al_G time | Czas trwania alarmów zbiorczych (ZD:121..124); Zakres programowania: 0..6000; Wartość 0 wyłącza kontrolę czasu alarmów zbiorczych - alarm jest aktywny tak długo, jak długo aktywny jest którykolwiek z przypisanych alarmów sterujących; | 0 | s | MO ^uint16 | | U0 | 6508 |
| 428 | Index I | Indeks ostatnio zarejestrowanej danej chwilowej; | 0 | | O ^uint32 | | | 6509>6510 |
| 429 | Index R | Indeks ostatnio zarejestrowanej danej rejestrowanej; | 0 | | O ^uint32 | | | 6511>6512 |
| 430 | Index D | Indeks ostatnio zarejestrowanej danej dobowej; | 0 | | O ^uint32 | | | 6513>6514 |
| 431 | Index A | Indeks ostatnio zarejestrowanego alarmu; | 0 | | O ^uint32 | | | 6515>6516 |
| 432 | Index Am | Liczba wszystkich zmian stanu na liście alarmów; | 0 | | O ^uint32 | | | 6517>6518 |
| 433 | Alarm 1 | Binarny stan aktywności alarmów o kodach: 0..31; | 0 | | O ^uint32 | | | 6519>6520 |
| 434 | Alarm 2 | Binarny stan aktywności alarmów o kodach: 32..63; | 0 | | O ^uint32 | | | 6521>6522 |
| 435 | Alarm 3 | Binarny stan aktywności alarmów o kodach: 64..95; | 0 | | O ^uint32 | | | 6523>6524 |
| 436 | Alarm 4 | Binarny stan aktywności alarmów o kodach: 96..127; | 0 | | O ^uint32 | | | 6525>6526 |
| 437 | Alarm 5 | Binarny stan aktywności alarmów o kodach: 128..159; | 0 | | O ^uint32 | | | 6527>6528 |
| 438 | Alarm 6 | Binarny stan aktywności alarmów o kodach: 160..191; | 0 | | O ^uint32 | | | 6529>6530 |
| 439 | alfatKG | Współczynnik temperaturowy korpusu gazomierza impulsowego; Zakres programowania: 0..0,0005; BLOK=ON; | 0 | 1/'C | MO ^float | | U0 | 6531>6532 |
| 440 | body corr | Parametr aktywujący wprowadzanie korekcji temperaturowej gazomierza impulsowego; 1 - korekcja wyłączona (opcja1); 2 - załączona (opcja2); | 0 | | MO ^uint8 | | P | 6533 |
| 441 | error curve corr | Parametr aktywujący wprowadzanie korekcji wg krzywej błędów gazomierza; 1 - korekcja wyłączona (opcja1); 2 - załączona (opcja2); | 0 | | MO ^uint8 | | U0 | 6534 |
| 442 | fP 1 | Wartość błędu gazomierza w punkcie 1; Zakres programowania: -5..5; BLOK=ON; | 0 | % | MO ^float | | U0 | 6535>6536 |
| 443 | fP 2 | Wartość błędu gazomierza w punkcie 2; Zakres programowania: -5..5; BLOK=ON; | 0 | % | MO ^float | | U0 | 6537>6538 |
| 444 | fP 3 | Wartość błędu gazomierza w punkcie 3; Zakres programowania: -5..5; BLOK=ON; | 0 | % | MO ^float | | U0 | 6539>6540 |
| 445 | fP 4 | Wartość błędu gazomierza w punkcie 4; Zakres programowania: -5..5; BLOK=ON; | 0 | % | MO ^float | | U0 | 6541>6542 |
| 446 | fP 5 | Wartość błędu gazomierza w punkcie 5; Zakres programowania: -5..5; BLOK=ON; | 0 | % | MO ^float | | U0 | 6543>6544 |
| 447 | fP 6 | Wartość błędu gazomierza w punkcie 6; Zakres programowania: -5..5; BLOK=ON; | 0 | % | MO ^float | | U0 | 6545>6546 |



| (1) | (2) | (3) | (4) | (5) | (6) | (7) | (8) | (9) |
|-----|--------|---|-----|------|------------|-----|-----|---------------|
| 448 | fP 7 | Wartość błędu gazomierza w punkcie 7; Zakres programowania: -5..5; BLOK=ON; | 0 | % | MO ^float | | U0 | 6547>6548 |
| 449 | fP 8 | Wartość błędu gazomierza w punkcie 8; Zakres programowania: -5..5; BLOK=ON; | 0 | % | MO ^float | | U0 | 6549>6550 |
| 450 | fP 9 | Wartość błędu gazomierza w punkcie 9; Zakres programowania: -5..5; BLOK=ON; | 0 | % | MO ^float | | U0 | 6551>6552 |
| 451 | fP 10 | Wartość błędu gazomierza w punkcie 10; Zakres programowania: -5..5; BLOK=ON; | 0 | % | MO ^float | | U0 | 6553>6554 |
| 452 | QP 1 | Wartość strumienia punktu 1 charakterystyki gazomierza; Zakres programowania: 0..1e5; BLOK=ON; | 0 | m3/h | MO ^float | | U0 | 6555>6556 |
| 453 | QP 2 | Wartość strumienia punktu 2 charakterystyki gazomierza; Zakres programowania: 0..1e5; BLOK=ON; | 0 | m3/h | MO ^float | | U0 | 6557>6558 |
| 454 | QP 3 | Wartość strumienia punktu 3 charakterystyki gazomierza; Zakres programowania: 0..1e5; BLOK=ON; | 0 | m3/h | MO ^float | | U0 | 6559>6560 |
| 455 | QP 4 | Wartość strumienia punktu 4 charakterystyki gazomierza; Zakres programowania: 0..1e5; BLOK=ON; | 0 | m3/h | MO ^float | | U0 | 6561>6562 |
| 456 | QP 5 | Wartość strumienia punktu 5 charakterystyki gazomierza; Zakres programowania: 0..1e5; BLOK=ON; | 0 | m3/h | MO ^float | | U0 | 6563>6564 |
| 457 | QP 6 | Wartość strumienia punktu 6 charakterystyki gazomierza; Zakres programowania: 0..1e5; BLOK=ON; | 0 | m3/h | MO ^float | | U0 | 6565>6566 |
| 458 | QP 7 | Wartość strumienia punktu 7 charakterystyki gazomierza; Zakres programowania: 0..1e5; BLOK=ON; | 0 | m3/h | MO ^float | | U0 | 6567>6568 |
| 459 | QP 8 | Wartość strumienia punktu 8 charakterystyki gazomierza; Zakres programowania: 0..1e5; BLOK=ON; | 0 | m3/h | MO ^float | | U0 | 6569>6570 |
| 460 | QP 9 | Wartość strumienia punktu 9 charakterystyki gazomierza; Zakres programowania: 0..1e5; BLOK=ON; | 0 | m3/h | MO ^float | | U0 | 6571>6572 |
| 461 | QP 10 | Wartość strumienia punktu 10 charakterystyki gazomierza; Zakres programowania: 0..1e5; BLOK=ON; | 0 | m3/h | MO ^float | | U0 | 6573>6574 |
| 462 | F(Q) | Funkcja korekcyjna do wyznaczania poprawek według charakterystyki gazomierza; | 0 | | O ^float | | | 6575>6576 |
| 463 | Vb N | Niekorygowany licznik objętości w warunkach bazowych; | 0 | m3 | O ^double | | | 6577>...>6580 |
| 464 | Vc | Licznik objętości w warunkach pomiaru po korekcie od rozszerzalności cieplnej korpusu gazomierza i krzywej błędów gazomierza; Jako pierwsza uwzględniana jest korekcia cieplna korpusu gazomierza, jako kolejna - korekcia charakterystyki; | 0 | m3 | RO ^double | Ch | | 6581>...>6584 |
| 465 | Vk N | Niekorygowany licznik objętości w warunkach kontraktowych; | 0 | m3 | O ^double | | | 6585>...>6588 |
| 466 | E N | Niekorygowany licznik energii; | 0 | kWh | O ^double | | | 6589>...>6592 |
| 467 | M N | Niekorygowany licznik masy; | 0 | kg | O ^double | | | 6593>...>6596 |
| 468 | Qb N | Niekorygowany strumień objętości w warunkach bazowych; | 0 | m3/h | O ^float | | | 6597>6598 |
| 469 | Qm N | Niekorygowany strumień objętości w warunkach pomiaru; | 0 | m3/h | O ^float | | | 6599>6600 |
| 470 | Qk N | Niekorygowany strumień objętości w warunkach kontraktowych; | 0 | m3/h | O ^float | | | 6601>6602 |
| 471 | QE N | Niekorygowany strumień energii; | 0 | kW | O ^float | | | 6603>6604 |
| 472 | QM N | Niekorygowany strumień masy; | 0 | kg/h | O ^float | | | 6605>6606 |
| 473 | cal | Parametr sterujący załączaniem trybu kalibracji torów pomiarowych; 0 - kalibracja wyłączona; 1 - załączona; | 0 | | MO ^bool | | U0 | 6607 |
| 474 | Vb cal | Kalibracyjny licznik objętości w warunkach bazowych przyrastający podczas trwania trybu kalibracji; | 0 | m3 | O ^double | | | 6608>...>6611 |
| 475 | Vm cal | Kalibracyjny licznik objętości w warunkach pomiaru przyrastający podczas trwania trybu kalibracji; | 0 | m3 | O ^double | | | 6612>...>6615 |
| 476 | Vk cal | Kalibracyjny licznik objętości w warunkach kontraktowych przyrastający podczas trwania trybu kalibracji; | 0 | m3 | O ^double | | | 6616>...>6619 |



| (1) | (2) | (3) | (4) | (5) | (6) | (7) | (8) | (9) |
|-----|--------------|--|-----|-----|-----------|-----|-----|---------------|
| 477 | E cal | Kalibracyjny licznik energii przyrastający podczas trwania trybu kalibracji; | 0 | kWh | O ^double | | | 6620>...>6623 |
| 478 | last idx | Indeks ostatnio modyfikowanego parametru; | 0 | | O ^uint16 | | | 6624 |
| 479 | last v1 | Wartość parametru sprzed modyfikacji; | 0 | | O ^double | | | 6625>...>6628 |
| 480 | last v2 | Wartość parametru po modyfikacji; | 0 | | O ^double | | | 6629>...>6632 |
| 481 | Account | Numer konta użytkownika wykonującego ostatnią modyfikację parametru urządzenia; | 0 | | O ^uint32 | | | 6633>6634 |
| 482 | lock MET | Blokada parametrów metrologicznych. Wartość 0 - blokada wyłączona, 1 - załączona. Załączona blokada chroni przed zmianami wszystkie modyfikowalne parametry z tablicy DP oznaczone `MET`. Parametr może być modyfikowany wyłącznie przez producenta; | 0 | | O ^bool | | | 6635 |
| 483 | lock CFG | Stan sprzętowej blokady programowania. Wartość 0 - blokada wyłączona, 1 - załączona. Załączona blokada chroni przed zmianami wszystkie modyfikowalne parametry z tablicy DP oznaczone `BLOK=ON`; | 0 | | O ^bool | | | 6636 |
| 484 | dtime NTP | Różnica czasu pomiędzy zegarem wzorcowym, a zegarem przelicznika; Wartość dodatnia: zegar przelicznika śpieszy się, ujemna - późni się; | 0 | ms | O ^float | | | 6637>6638 |
| 485 | ms_beg | Milisekundy czasu początku zdarzenia; | 0 | ms | O ^uint16 | | | 6639 |
| 486 | ms_end | Milisekundy czasu końca zdarzenia; | 0 | ms | O ^uint16 | | | 6640 |
| 487 | dt/tm | Aktualna data i czas; | 0 | | O ^string | | | 6641>...>6652 |
| 488 | Device name | Oznaczenie urządzenia; | 0 | | O ^string | | | 6653>...>6664 |
| 489 | Device s/n | Numer fabryczny; | 0 | | O ^string | | | 6665>...>6676 |
| 490 | SV | Seria i wersja oprogramowania; | 0 | | O ^string | | | 6677>...>6688 |
| 491 | HV | Wersja sprzętu; | 0 | | O ^string | | | 6689>...>6700 |
| 492 | vDP | Numer tablicy DP; | 0 | | O ^string | | | 6701>...>6712 |
| 493 | vZD | Numer tablicy ZD; | 0 | | O ^string | | | 6713>...>6724 |
| 494 | dt_comp | Data kompilacji programu; | 0 | | O ^string | | | 6725>...>6736 |
| 495 | tm_comp | Czas kompilacji programu; | 0 | | O ^string | | | 6737>...>6748 |
| 496 | Device typeN | Typ urządzenia; | 0 | | O ^string | | | 6749>...>6760 |
| 497 | conf_impN | Konfiguracja wejść impulsowych przelicznika; | 0 | | O ^string | | | 6761>...>6772 |
| 498 | conf_imp | Konfiguracja wejść impulsowych przelicznika - wersja liczbowa; 1 - LF, 2 - LF/HF1, 3 - HF1/HF2, 4 - HF1/LF, 5 - HF1[Fv]/HF2[Rv], 6 - HF1[Fv+Rv], HF2[Dir], 7 - HF1/HF2 Sync, 8 - HF1/HF2, LF[Dir]; | 0 | | MO ^uint8 | | U0 | 6773 |
| 499 | t int | Temperatura wewnętrzna; | 0 | 'C | RO ^float | Ch | | 6774>6775 |
| 500 | max reg | Horyzont rejestracji danych rejestrowanych; | 0 | d | O ^uint16 | | | 6776 |
| 501 | i1 | Prąd na wejściu 1 (prąd wejścia p w przeliczniku GT i KR); | 0 | mA | O ^float | | | 6777>6778 |
| 502 | i2 | Prąd na wejściu 2 (prąd wejścia t w przeliczniku GT i KR); | 0 | mA | O ^float | | | 6779>6780 |
| 503 | i3 | Prąd na wejściu 3 (prąd wejścia RA w przeliczniku GT lub prąd wejścia dp1 w przeliczniku KR); | 0 | mA | O ^float | | | 6781>6782 |
| 504 | i4 | Prąd na wejściu 4 (prąd wejścia RB w przeliczniku GT lub prąd wejścia dp2 w przeliczniku KR); | 0 | mA | O ^float | | | 6783>6784 |
| 505 | i5 | Prąd na wejściu 5 (prąd wejścia R1); | 0 | mA | O ^float | | | 6785>6786 |
| 506 | i6 | Prąd na wejściu 6 (prąd wejścia R2); | 0 | mA | O ^float | | | 6787>6788 |



| (1) | (2) | (3) | (4) | (5) | (6) | (7) | (8) | (9) |
|-----|--------------|---|-----|-----|-----------|-----|-----|---------------|
| 507 | i7 | Prąd na wejściu 7 (prąd wejścia R3); | 0 | mA | O ^float | | | 6789>6790 |
| 508 | i8 | Prąd na wejściu 8 (prąd wejścia R4); | 0 | mA | O ^float | | | 6791>6792 |
| 509 | i9 | Prąd na wejściu 9 (prąd wejścia R5); | 0 | mA | O ^float | | | 6793>6794 |
| 510 | i10 | Prąd na wejściu 10 (prąd wejścia R6); | 0 | mA | O ^float | | | 6795>6796 |
| 511 | i11 | Prąd na wejściu 11 (prąd wejścia R7); | 0 | mA | O ^float | | | 6797>6798 |
| 512 | i12 | Prąd na wejściu 12 (prąd wejścia R8); | 0 | mA | O ^float | | | 6799>6800 |
| 513 | U1 | Napięcie na wejściu napięciowym 1 (RU1); | 0 | V | O ^float | | | 6801>6802 |
| 514 | U2 | Napięcie na wejściu napięciowym 2 (RU2); | 0 | V | O ^float | | | 6803>6804 |
| 515 | U3 | Napięcie na wejściu napięciowym 3 (RU3); | 0 | V | O ^float | | | 6805>6806 |
| 516 | U4 | Napięcie na wejściu napięciowym 4 (RU4); | 0 | V | O ^float | | | 6807>6808 |
| 517 | i1_in | Wartość przeliczona z prądu na wejściu i1; | 0 | | O ^float | | | 6809>6810 |
| 518 | i2_in | Wartość przeliczona z prądu na wejściu i2; | 0 | | O ^float | | | 6811>6812 |
| 519 | i3_in | Wartość przeliczona z prądu na wejściu i3; | 0 | | O ^float | | | 6813>6814 |
| 520 | i4_in | Wartość przeliczona z prądu na wejściu i4; | 0 | | O ^float | | | 6815>6816 |
| 521 | HART1 | Wartość odczytana z modułu HART1; | 0 | | O ^float | | | 6817>6818 |
| 522 | HART2 | Wartość odczytana z modułu HART2; | 0 | | O ^float | | | 6819>6820 |
| 523 | HART3 | Wartość odczytana z modułu HART3; | 0 | | O ^float | | | 6821>6822 |
| 524 | HART4 | Wartość odczytana z modułu HART4; | 0 | | O ^float | | | 6823>6824 |
| 525 | HART1_unit | Jednostka wartości HART1 odczytana z przetwornika; | 0 | | O ^string | | | 6825>...>6836 |
| 526 | HART1_min | Wartość minimalna zakresu przetwornika na kanale HART1; | 0 | | O ^float | | | 6837>6838 |
| 527 | HART1_max | Wartość maksymalna zakresu przetwornika na kanale HART1; | 0 | | O ^float | | | 6839>6840 |
| 528 | HART1_serial | Numer seryjny kompletnego przetwornika, odczytany z przetwornika na kanale HART1; | 0 | | O ^string | | | 6841>...>6852 |
| 529 | HART1_i | Wartość prądu odczytana z modułu HART1; | 0 | | O ^float | | | 6853>6854 |
| 530 | HART2_unit | Jednostka wartości HART2 odczytana z przetwornika; | 0 | | O ^string | | | 6855>...>6866 |
| 531 | HART2_min | Wartość minimalna zakresu przetwornika na kanale HART2; | 0 | | O ^float | | | 6867>6868 |
| 532 | HART2_max | Wartość maksymalna zakresu przetwornika na kanale HART2; | 0 | | O ^float | | | 6869>6870 |
| 533 | HART2_serial | Numer seryjny kompletnego przetwornika, odczytany z przetwornika na kanale HART2; | 0 | | O ^string | | | 6871>...>6882 |
| 534 | HART2_i | Wartość prądu odczytana z modułu HART2; | 0 | | O ^float | | | 6883>6884 |
| 535 | HART3_unit | Jednostka wartości HART3 odczytana z przetwornika; | 0 | | O ^string | | | 6885>...>6896 |
| 536 | HART3_min | Wartość minimalna zakresu przetwornika na kanale HART3; | 0 | | O ^float | | | 6897>6898 |
| 537 | HART3_max | Wartość maksymalna zakresu przetwornika na kanale HART3; | 0 | | O ^float | | | 6899>6900 |
| 538 | HART3_serial | Numer seryjny kompletnego przetwornika, odczytany z przetwornika na kanale HART3; | 0 | | O ^string | | | 6901>...>6912 |
| 539 | HART3_i | Wartość prądu odczytana z modułu HART3; | 0 | | O ^float | | | 6913>6914 |



| (1) | (2) | (3) | (4) | (5) | (6) | (7) | (8) | (9) |
|-----|--------------|---|-----|------|------------|-----|-----|---------------|
| 540 | HART4_unit | Jednostka wartości HART4 odczytana z przetwornika; | 0 | | O ^string | | | 6915>...>6926 |
| 541 | HART4_min | Wartość minimalna zakresu przetwornika na kanale HART4; | 0 | | O ^float | | | 6927>6928 |
| 542 | HART4_max | Wartość maksymalna zakresu przetwornika na kanale HART4; | 0 | | O ^float | | | 6929>6930 |
| 543 | HART4_serial | Numer seryjny kompletnego przetwornika, odczytany z przetwornika na kanale HART4; | 0 | | O ^string | | | 6931>...>6942 |
| 544 | HART4_i | Wartość prądu odczytana z modułu HART4; | 0 | | O ^float | | | 6943>6944 |
| 545 | i1_i2 mode | Tryb pracy wejść i1 i i2: 0 - tylko prąd, 1 - łączony (prąd + HART), 2 - tylko HART; | 0 | | MO ^uint8 | | U0 | 6945 |
| 546 | i3_i4 mode | Tryb pracy wejść i3 i i4: 0 - tylko prąd, 1 - łączony (prąd + HART), 2 - tylko HART; | 0 | | MO ^uint8 | | U0 | 6946 |
| 547 | src i1 | Przy trybie łączonym - wybór źródła wartości do rozliczeń: 0 - prąd, 1 - HART; | 0 | | MO ^bool | | U0 | 6947 |
| 548 | src i2 | Przy trybie łączonym - wybór źródła wartości do rozliczeń: 0 - prąd, 1 - HART; | 0 | | MO ^bool | | U0 | 6948 |
| 549 | src i3 | Przy trybie łączonym - wybór źródła wartości do rozliczeń: 0 - prąd, 1 - HART; | 0 | | MO ^bool | | U0 | 6949 |
| 550 | src i4 | Przy trybie łączonym - wybór źródła wartości do rozliczeń: 0 - prąd, 1 - HART; | 0 | | MO ^bool | | U0 | 6950 |
| 551 | LF | Stan licznika LF; | 0 | imp | O ^uint16 | | | 6951 |
| 552 | HF1 | Stan licznika HF1; | 0 | imp | O ^uint16 | | | 6952 |
| 553 | HF2 | Stan licznika HF2; | 0 | imp | O ^uint16 | | | 6953 |
| 554 | HF1/LF | Bieżący stosunek przyrostu impulsów HF1 do LF; | 0 | | O ^float | | | 6954>6955 |
| 555 | LF time | Czas między kolejnymi impulsami na wejściu LF; | 0 | s | O ^float | | | 6956>6957 |
| 556 | fHF1 | Częstotliwość impulsów na wejściu HF1; | 0 | Hz | CO ^float | | | 6958>6959 |
| 557 | fHF2 | Częstotliwość impulsów na wejściu HF2; | 0 | Hz | CO ^float | | | 6960>6961 |
| 558 | s HF1 | Pomocniczy przyrost kontrolny licznika impulsów HF1 do generowania alarmu `Limit HF1-HF2` (ZD:69); | 0 | imp | O ^uint32 | | | 6962>6963 |
| 559 | s HF2 | Pomocniczy przyrost kontrolny licznika impulsów HF2 do generowania alarmu `Limit HF1-HF2` (ZD:69); | 0 | imp | O ^uint32 | | | 6964>6965 |
| 560 | batt test | Parametr aktywujący funkcję testu akumulatora; 0 - test wyłączony; 1 - załączony; | 0 | | MO ^bool | | U0 | 6966 |
| 561 | ETL | Przewidywany czas pracy na akumulatorach; | 0 | min | O ^uint16 | | | 6967 |
| 562 | V_batt | Napięcie akumulatorów; | 0 | V | RO ^float | Ch | | 6968>6969 |
| 563 | T1_batt | Temperatura T1 akumulatorów; | 0 | 'C | RO ^float | Ch | | 6970>6971 |
| 564 | T2_batt | Temperatura T2 akumulatorów; | 0 | 'C | RO ^float | Ch | | 6972>6973 |
| 565 | I_batt | Prąd pobierany z akumulatorów; | 0 | mA | RO ^float | Śr | | 6974>6975 |
| 566 | State_batt | Binarny wektor stanu pracy akumulatorów; | 0 | | RO ^uint32 | Ch | | 6976>6977 |
| 567 | Q_batt | Stan naładowania akumulatorów; | 0 | % | RO ^float | Ch | | 6978>6979 |
| 568 | Qb peak max | Maksymalna wartość strumienia w warunkach bazowych w okresie rejestracji; | 0 | m3/h | RO ^float | Ch | | 6980>6981 |
| 569 | p peak min | Minimalna wartość ciśnienia w okresie rejestracji; | 0 | kPa | O ^double | | | 6982>...>6985 |
| 570 | p peak max | Maksymalna wartość ciśnienia w okresie rejestracji; | 0 | kPa | O ^double | | | 6986>...>6989 |
| 571 | dVbD | Przyrost objętości na gazomierzu w warunkach bazowych w okresie bieżącej doby rozliczeniowej (sumaryczny przyrost licznika głównego `Vb` (DP:0) i awaryjnego `Vbe` (DP:6)); | 0 | m3 | DO ^double | | | 6990>...>6993 |



| (1) | (2) | (3) | (4) | (5) | (6) | (7) | (8) | (9) |
|-----|------------------|--|-----|------|------------|-----|-----|---------------|
| 572 | dVkd | Przyrost objętości na gazomierzu w warunkach kontraktowych w okresie bieżącej doby rozliczeniowej (sumaryczny przyrost licznika głównego `Vk` (DP:3) i awaryjnego `Vke` (DP:7)); | 0 | m3 | DO ^double | | | 6994>...>6997 |
| 573 | dED | Przyrost energii na gazomierzu w okresie bieżącej doby rozliczeniowej (sumaryczny przyrost licznika głównego `E` (DP:4) i awaryjnego `Ee` (DP:8)); | 0 | kWh | DO ^double | | | 6998>...>7001 |
| 574 | dVbD last | Przyrost objętości na gazomierzu w warunkach bazowych w okresie ostatniej doby rozliczeniowej; | 0 | m3 | O ^double | | | 7002>...>7005 |
| 575 | dVkd last | Przyrost objętości na gazomierzu w warunkach kontraktowych w okresie ostatniej doby rozliczeniowej; | 0 | m3 | O ^double | | | 7006>...>7009 |
| 576 | dED last | Przyrost energii na gazomierzu w okresie ostatniej doby rozliczeniowej; | 0 | kWh | O ^double | | | 7010>...>7013 |
| 577 | SYS1 | Parametr systemowy; | 0 | | O ^double | | | 7014>...>7017 |
| 578 | SYS2 | Parametr systemowy; | 0 | | O ^double | | | 7018>...>7021 |
| 579 | Device type | Typ urządzenia - wersja liczbowa; 0 - impulsowy, 3 - masowy; | 0 | | O ^uint16 | | | 7022>7023 |
| 580 | --- | wolne miejsce rezerwowe; | 0 | | ^uint16 | | | 7024 |
| 581 | lim hysteresis | Histeresa generowania alarmów przekroczenia limitów pomiarowych; Zakres programowania: 0..1; (domyślnie 0,5); | 0 | % | MO ^float | | U0 | 7025>7026 |
| 582 | QmI | Strumień objętości w warunkach pomiaru pochodzący z dostępnego, sprawnego wejścia impulsowego HF1, HF2, LF; | 0 | m3/h | O ^double | | | 7027>...>7030 |
| 583 | dly PULSE | Opóźnienie generowania alarmu `Awaria zliczania` (ZD:149); Zakres programowania: 0..600; Wartość domyślna: 15; Wartość 0 wyłącza kontrolę i zamyka alarm `Awaria zliczania`; | 0 | s | MO ^uint16 | | U0 | 7031 |
| 584 | sys alarm status | Parametr serwisowy; | 0 | | O ^uint32 | | | 7032>7033 |
| 585 | iz1 | Wartość prądu zadanego na wyjściu przy wybraniu parametru sterującego "iz1"; Zakres programowania: 4..20; | 0 | mA | MO ^float | | U0 | 7034>7035 |
| 586 | iz2 | Wartość prądu zadanego na wyjściu przy wybraniu parametru sterującego "iz2"; Zakres programowania: 4..20; | 0 | mA | MO ^float | | U0 | 7036>7037 |
| 587 | iz3 | Wartość prądu zadanego na wyjściu przy wybraniu parametru sterującego "iz3"; Zakres programowania: 4..20; | 0 | mA | MO ^float | | U0 | 7038>7039 |
| 588 | io1 | Prąd na wyjściu prądowym 1; | 0 | mA | O ^float | | | 7040>7041 |
| 589 | io1 idx | Indeks parametru sterującego wyjściem prądowym 1; Zakres programowania: 0..max indeks tablicy DP; | 0 | | MO ^uint16 | | U0 | 7042 |
| 590 | io1 min | Skalowanie wyjścia prądowego 1 - min; Zakres programowania: -1e3..5e6; | 0 | | MO ^float | | U0 | 7043>7044 |
| 591 | io1 max | Skalowanie wyjścia prądowego 1 - max; Zakres programowania: -1e3..5e6; | 0 | | MO ^float | | U0 | 7045>7046 |
| 592 | io2 | Prąd na wyjściu prądowym 2; | 0 | mA | O ^float | | | 7047>7048 |
| 593 | io2 idx | Indeks parametru sterującego wyjściem prądowym 2; Zakres programowania: 0..max indeks tablicy DP; | 0 | | MO ^uint16 | | U0 | 7049 |
| 594 | io2 min | Skalowanie wyjścia prądowego 2 - min; Zakres programowania: -1e3..5e6; | 0 | | MO ^float | | U0 | 7050>7051 |
| 595 | io2 max | Skalowanie wyjścia prądowego 2 - max; Zakres programowania: -1e3..5e6; | 0 | | MO ^float | | U0 | 7052>7053 |
| 596 | io3 | Prąd na wyjściu prądowym 3; | 0 | mA | O ^float | | | 7054>7055 |
| 597 | io3 idx | Indeks parametru sterującego wyjściem prądowym 3; Zakres programowania: 0..max indeks tablicy DP; | 0 | | MO ^uint16 | | U0 | 7056 |
| 598 | io3 min | Skalowanie wyjścia prądowego 3 - min; Zakres programowania: -1e3..5e6; | 0 | | MO ^float | | U0 | 7057>7058 |
| 599 | io3 max | Skalowanie wyjścia prądowego 3 - max; Zakres programowania: -1e3..5e6; | 0 | | MO ^float | | U0 | 7059>7060 |
| 600 | io4 | Prąd na wyjściu prądowym 4; | 0 | mA | O ^float | | | 7061>7062 |
| 601 | io4 idx | Indeks parametru sterującego wyjściem prądowym 4; Zakres programowania: 0..max indeks tablicy DP; | 0 | | MO ^uint16 | | U0 | 7063 |
| 602 | io4 min | Skalowanie wyjścia prądowego 4 - min; Zakres programowania: -1e3..5e6; | 0 | | MO ^float | | U0 | 7064>7065 |



| (1) | (2) | (3) | (4) | (5) | (6) | (7) | (8) | (9) |
|-----|----------------|--|-----|-----|-------------|-----|-----|---------------|
| 603 | io4 max | Skalowanie wyjścia prądowego 4 - max; Zakres programowania: -1e3..5e6; | 0 | | MO ^float | | U0 | 7066>7067 |
| 604 | io5 | Prąd na wyjściu prądowym 5; | 0 | mA | O ^float | | | 7068>7069 |
| 605 | io5 idx | Indeks parametru sterującego wyjściem prądowym 5; Zakres programowania: 0..max indeks tablicy DP; | 0 | | MO ^uint16 | | U0 | 7070 |
| 606 | io5 min | Skalowanie wyjścia prądowego 5 - min; Zakres programowania: -1e3..5e6; | 0 | | MO ^float | | U0 | 7071>7072 |
| 607 | io5 max | Skalowanie wyjścia prądowego 5 - max; Zakres programowania: -1e3..5e6; | 0 | | MO ^float | | U0 | 7073>7074 |
| 608 | io6 | Prąd na wyjściu prądowym 6; | 0 | mA | O ^float | | | 7075>7076 |
| 609 | io6 idx | Indeks parametru sterującego wyjściem prądowym 6; Zakres programowania: 0..max indeks tablicy DP; | 0 | | MO ^uint16 | | U0 | 7077 |
| 610 | io6 min | Skalowanie wyjścia prądowego 6 - min; Zakres programowania: -1e3..5e6; | 0 | | MO ^float | | U0 | 7078>7079 |
| 611 | io6 max | Skalowanie wyjścia prądowego 6 - max; Zakres programowania: -1e3..5e6; | 0 | | MO ^float | | U0 | 7080>7081 |
| 612 | io7 | Prąd na wyjściu prądowym 7; | 0 | mA | O ^float | | | 7082>7083 |
| 613 | io7 idx | Indeks parametru sterującego wyjściem prądowym 7; Zakres programowania: 0..max indeks tablicy DP; | 0 | | MO ^uint16 | | U0 | 7084 |
| 614 | io7 min | Skalowanie wyjścia prądowego 7 - min; Zakres programowania: -1e3..5e6; | 0 | | MO ^float | | U0 | 7085>7086 |
| 615 | io7 max | Skalowanie wyjścia prądowego 7 - max; Zakres programowania: -1e3..5e6; | 0 | | MO ^float | | U0 | 7087>7088 |
| 616 | io8 | Prąd na wyjściu prądowym 8; | 0 | mA | O ^float | | | 7089>7090 |
| 617 | io8 idx | Indeks parametru sterującego wyjściem prądowym 8; Zakres programowania: 0..max indeks tablicy DP; | 0 | | MO ^uint16 | | U0 | 7091 |
| 618 | io8 min | Skalowanie wyjścia prądowego 8 - min; Zakres programowania: -1e3..5e6; | 0 | | MO ^float | | U0 | 7092>7093 |
| 619 | io8 max | Skalowanie wyjścia prądowego 8 - max; Zakres programowania: -1e3..5e6; | 0 | | MO ^float | | U0 | 7094>7095 |
| 620 | io9 | Prąd na wyjściu prądowym 9; | 0 | mA | O ^float | | | 7096>7097 |
| 621 | io9 idx | Indeks parametru sterującego wyjściem prądowym 9; Zakres programowania: 0..max indeks tablicy DP; | 0 | | MO ^uint16 | | U0 | 7098 |
| 622 | io9 min | Skalowanie wyjścia prądowego 9 - min; Zakres programowania: -1e3..5e6; | 0 | | MO ^float | | U0 | 7099>7100 |
| 623 | io9 max | Skalowanie wyjścia prądowego 9 - max; Zakres programowania: -1e3..5e6; | 0 | | MO ^float | | U0 | 7101>7102 |
| 624 | VbR | Wsteczny licznik objętości gazu w warunkach bazowych; | 0 | m3 | RO ^double | Ch | | 7103>...>7106 |
| 625 | VmR | Wsteczny licznik objętości gazu w warunkach pomiaru; Zakres programowania: 0..1e11; | 0 | m3 | RMO ^double | Ch | U0 | 7107>...>7110 |
| 626 | VkR | Wsteczny licznik objętości gazu w warunkach kontraktowych; | 0 | m3 | RO ^double | Ch | | 7111>...>7114 |
| 627 | ER | Wsteczny licznik energii; | 0 | kWh | RO ^double | Ch | | 7115>...>7118 |
| 628 | MR | Wsteczny licznik masy; | 0 | kg | RO ^double | Ch | | 7119>...>7122 |
| 629 | VbRe | Wsteczny, awaryjny licznik objętości gazu w warunkach bazowych; | 0 | m3 | RO ^double | Ch | | 7123>...>7126 |
| 630 | V2R | Wsteczny, kontrolny licznik objętości gazu w warunkach pomiaru | 0 | m3 | MO ^double | | U0 | 7127>...>7130 |
| 631 | VkRe | Wsteczny, awaryjny licznik objętości gazu w warunkach kontraktowych; | 0 | m3 | RO ^double | Ch | | 7131>...>7134 |
| 632 | ERe | Wsteczny, awaryjny licznik energii; | 0 | kWh | RO ^double | Ch | | 7135>...>7138 |
| 633 | MRe | Wsteczny, awaryjny licznik masy; | 0 | kg | RO ^double | Ch | | 7139>...>7142 |
| 634 | Flow direction | Kierunek przepływu; 0 - w przód/zero, 1 - w tył; | 0 | | O ^uint8 | | | 7143 |
| 635 | V3 | Licznik kontrolny (pomocniczy) w warunkach pomiaru obliczony z odczytu ModBUS gazomierza ULTRA; Zakres programowania: 0..1e11; dV3=(dFv+dFve); | 0 | m3 | MO ^double | | U0 | 7144>...>7147 |
| 636 | Fv | Licznik objętości `do przodu` w gazomierzu ULTRA odczytany bezpośrednio z gazomierza; | 0 | m3 | O ^double | | | 7148>...>7151 |



| (1) | (2) | (3) | (4) | (5) | (6) | (7) | (8) | (9) |
|-----|----------------------|---|-----|--------|-------------|-----|-----|---------------|
| 637 | Rv | Licznik objętości `do tyłu` w gazomierzu ULTRA odczytany bezpośrednio z gazomierza; | 0 | m3 | O ^double | | | 7152>...>7155 |
| 638 | Fve | Awaryjny licznik objętości `do przodu` w gazomierzu ULTRA odczytany bezpośrednio z gazomierza; | 0 | m3 | O ^double | | | 7156>...>7159 |
| 639 | Rve | Awaryjny licznik objętości `do tyłu` w gazomierzu ULTRA odczytany bezpośrednio z gazomierza; | 0 | m3 | O ^double | | | 7160>...>7163 |
| 640 | ModBUS Frame Counter | Parametr serwisowy; | 0 | | O ^uint16 | | | 7164 |
| 641 | Meter status | Status gazomierza ULTRA odczytany cyfrowo bezpośrednio z gazomierza; | 0 | | O ^uint32 | | | 7165>7166 |
| 642 | QmU | Strumień gazu w warunkach pomiaru odczytany cyfrowo bezpośrednio z gazomierza ULTRA; | 0 | m3/h | O ^float | | | 7167>7168 |
| 643 | ModelU | Parametr serwisowy (40:ES, 41:QS, 42:FS, 43:US); | 0 | | O ^uint8 | | | 7169 |
| 644 | AGV_U | Średnia prędkość gazu odczytana z gazomierza; | 0 | m/s | O ^float | | | 7170>7171 |
| 645 | Fault input | Aktywność sprzętowego wejścia "Alarm" przelicznika (0 - brak alarmu, 1 - trwa alarm wystawiany sprzętowo z gazomierza); | 0 | | O ^uint8 | | | 7172 |
| 646 | Fault st | Status stanu awaryjnego gazomierza ULTRA odczytany cyfrowo bezpośrednio z gazomierza (0 - OK, 1 - poważna awaria gazomierza); | 0 | | O ^uint16 | | | 7173 |
| 647 | Warn st | Status ostrzeżeń gazomierza ULTRA odczytany cyfrowo bezpośrednio z gazomierza (0 - OK, 1 - stan gazomierza wymagający interwencji serwisu); | 0 | | O ^uint16 | | | 7174 |
| 648 | Path st | Zbiór status torów pomiarowych; | 0 | | O ^uint8 | | | 7175 |
| 649 | Status A | Status toru pomiarowego nr 1 (A) odczytany bezpośrednio z gazomierza; | 0 | | O ^uint16 | | | 7176 |
| 650 | Status B | Status toru pomiarowego nr 2 (B) odczytany bezpośrednio z gazomierza; | 0 | | O ^uint16 | | | 7177 |
| 651 | Status C | Status toru pomiarowego nr 3 (C) odczytany bezpośrednio z gazomierza; | 0 | | O ^uint16 | | | 7178 |
| 652 | Status D | Status toru pomiarowego nr 4 (D) odczytany bezpośrednio z gazomierza; | 0 | | O ^uint16 | | | 7179 |
| 653 | Status E | Status toru pomiarowego nr 5 (E) odczytany bezpośrednio z gazomierza; | 0 | | O ^uint16 | | | 7180 |
| 654 | Status F | Status toru pomiarowego nr 6 (F) odczytany bezpośrednio z gazomierza; | 0 | | O ^uint16 | | | 7181 |
| 655 | Status G | Status toru pomiarowego nr 7 (G) odczytany bezpośrednio z gazomierza; | 0 | | O ^uint16 | | | 7182 |
| 656 | Status H | Status toru pomiarowego nr 8 (H) odczytany bezpośrednio z gazomierza; | 0 | | O ^uint16 | | | 7183 |
| 657 | fo select | Parametr serwisowy; | 0 | | O ^uint8 | | | 7184 |
| 658 | fo error mode | Parametr serwisowy; | 0 | | O ^uint8 | | | 7185 |
| 659 | pulse_value_U | Ilość impulsów wyjściowych HF na 1m3 gazu - odczytana bezpośrednio z gazomierza; | 0 | imp/m3 | O ^float | | | 7186>7187 |
| 660 | DO_1 mode | Konfiguracja wyjścia dwustanowego 1 gazomierza; | 0 | | O ^uint8 | | | 7188 |
| 661 | DO_2 mode | Konfiguracja wyjścia dwustanowego 2 gazomierza; | 0 | | O ^uint8 | | | 7189 |
| 662 | U s/n | Numer fabryczny gazomierza ultradźwiękowego; | 0 | | O ^string | | | 7190>...>7201 |
| 663 | SV U | Wersja programu gazomierza ultradźwiękowego; | 0 | | O ^string | | | 7202>...>7213 |
| 664 | U address | Adres transmisji ModBUS gazomierza ultradźwiękowego. Zakres programowania: 1..254; | 0 | | MO ^uint16 | | U0 | 7214 |
| 665 | U baudrate | Prędkość transmisji ModBUS gazomierza ultradźwiękowego. Do wyboru: 9600, 19200, 38400, 57600, 115200; | 0 | bps | MO ^duint16 | | U0 | 7215>7216 |
| 666 | U parity | Sprawdzanie parzystości transmisji ModBUS gazomierza ultradźwiękowego. Do wyboru: 0 - None, 1 - Odd, 2 - Even; | 0 | | MO ^uint8 | | U0 | 7217 |
| 667 | U stopbits | Bit stopu transmisji ModBUS gazomierza ultradźwiękowego. Do wyboru: 0 - 1 bit stopu, 1 - 2 bity stopu; | 0 | | MO ^uint8 | | U0 | 7218 |



| (1) | (2) | (3) | (4) | (5) | (6) | (7) | (8) | (9) |
|-----|-------------------|---|-----|-------|------------|-----|-----|---------------|
| 668 | Fvc | Stan licznika objętości `do przodu` w gazomierzu ULTRA w chwili zamykania alarmów związanych z gazomierzem; | 0 | m3 | O ^double | | | 7219>...>7222 |
| 669 | Fvce | Stan licznika awaryjnego objętości `do przodu` w gazomierzu ULTRA w chwili zamykania alarmów związanych z gazomierzem; | 0 | m3 | O ^double | | | 7223>...>7226 |
| 670 | dly NONE_U | Opóźnienie generowania alarmu `Brak gazom.ULTRA` (ZD:150); Zakres programowania: 0..100; Wartość domyślna: 10; Wartość 0 wyłącza kontrolę i zamyka alarm `Brak gazom.ULTRA`; | 0 | s | MO ^uint16 | | U0 | 7227 |
| 671 | dly ERR gas meter | Opóźnienie generowania alarmu `Bład gazomierza` (ZD:151); Zakres programowania: 0..600; Wartość domyślna: 3; Wartość 0 wyłącza kontrolę i zamyka alarm `Bład gazomierza`; | 0 | s | MO ^uint16 | | U0 | 7228 |
| 672 | dly ATT_U | Opóźnienie generowania alarmu `Wezw. obsługi ULTRA` (ZD:152); Zakres programowania: 0..600; Wartość domyślna: 10; Wartość 0 wyłącza kontrolę i zamyka alarm `Wezw. obsługi ULTRA`; | 0 | s | MO ^uint16 | | U0 | 7229 |
| 673 | dly r.Qm | Opóźnienie generowania alarmu `Limit QmI-QmU` (ZD:154); Zakres programowania: 0..100; Wartość domyślna: 10; Wartość 0 wyłącza kontrolę i zamyka alarm `Limit QmI-QmU`; | 0 | cycle | MO ^uint16 | | U0 | 7230 |
| 674 | s Vm | Pomocniczy przyrost licznika Vm do generowania alarmu `Limit Vm-V3 ULTRA` (ZD:153); | 0 | m3 | O ^float | | | 7231>7232 |
| 675 | s V3 | Pomocniczy przyrost licznika V3 do generowania alarmu `Limit Vm-V3 ULTRA` (ZD:153); | 0 | m3 | O ^float | | | 7233>7234 |
| 676 | l Vm-V3 | Horyzont porównania przyrostu objętości liczników Vm i V3; Zakres programowania: 0..50000; Wartość domyślna: 0; Wartość 0 wyłącza kontrolę i zamyka alarm `Limit Vm-V3 ULTRA` (ZD:153); | 0 | m3 | MO ^float | | U0 | 7235>7236 |
| 677 | t Vm-V3 | Dopuszczalna rozbieżność przyrostu objętości liczników Vm i V3 - przekroczenie tej wartości spowoduje wygenerowanie alarmu `Limit Vm-V3 ULTRA` (ZD:153); Zakres programowania: 1..100; | 0 | m3 | MO ^float | | U0 | 7237>7238 |
| 678 | t QmI-QmU | Dopuszczalna rozbieżność strumieni QmI i QmU w kierunku przepływu `do przodu` - przekroczenie tej wartości spowoduje wygenerowanie alarmu `Limit QmI-QmU` (ZD:154); Zakres programowania: 0..100000; wartość 0 wyłącza kontrolę i zamyka alarm `Limit QmI-QmU`; | 0 | m3/h | MO ^float | | U0 | 7239>7240 |
| 679 | Hs_MA | Ciepło spalania pochodzące z masy; Zakres programowania: 0..100; | 0 | MJ/kg | MO ^float | | U0 | 7241>7242 |
| 680 | QM_MA | Strumień masy odczytany z gazomierza masowego; | 0 | kg/h | O ^float | | | 7243>7244 |
| 681 | rob_MA | Gęstość odczytana z gazomierza masowego; | 0 | kg/m3 | O ^float | | | 7245>7246 |
| 682 | t_MA | Temperatura odczytana z gazomierza masowego; | 0 | 'C | O ^double | | | 7247>...>7250 |
| 683 | QV_MA | Strumień objętości odczytany z gazomierza masowego; | 0 | m3/h | O ^float | | | 7251>7252 |
| 684 | M_MA | Licznik masy odczytany z gazomierza masowego; | 0 | kg | O ^double | | | 7253>...>7256 |
| 685 | V_MA | Licznik objętości odczytany z gazomierza masowego; | 0 | m3 | O ^double | | | 7257>...>7260 |
| 686 | Mi_MA | Inwentarz masy odczytany z gazomierza masowego; | 0 | kg | O ^double | | | 7261>...>7264 |
| 687 | Vi_MA | Inwentarz objętości odczytany z gazomierza masowego; | 0 | m3 | O ^double | | | 7265>...>7268 |
| 688 | Ext t | Wartość zewnętrznej temperatury wejściowej; | 0 | 'C | O ^float | | | 7269>7270 |
| 689 | Ext p | Wartość zewnętrznego ciśnienia wejściowego; | 0 | bar | O ^float | | | 7271>7272 |
| 690 | f_MA | Częstotliwość na wyjściu gazomierza masowego; | 0 | Hz | O ^float | | | 7273>7274 |
| 691 | Status M1 | Stan rejestru 419 gazomierza masowego; | 0 | | O ^uint16 | | | 7275 |
| 692 | Status M2 | Stan rejestru 420 gazomierza masowego; | 0 | | O ^uint16 | | | 7276 |
| 693 | Status M3 | Stan rejestru 421 gazomierza masowego; | 0 | | O ^uint16 | | | 7277 |
| 694 | Status M4 | Stan rejestru 422 gazomierza masowego; | 0 | | O ^uint16 | | | 7278 |
| 695 | Status M5 | Stan rejestru 423 gazomierza masowego; | 0 | | O ^uint16 | | | 7279 |
| 696 | Status M6 | Stan rejestru 424 gazomierza masowego; | 0 | | O ^uint16 | | | 7280 |
| 697 | Status M7 | Stan rejestru 433 gazomierza masowego; | 0 | | O ^uint16 | | | 7281 |



| (1) | (2) | (3) | (4) | (5) | (6) | (7) | (8) | (9) |
|-----|---------------|---|-----|-----|------------|-----|-----|---------------|
| 698 | p src | Źródło pomiaru ciśnienia do obliczeń; 0 - wyłączone, 1 - z przetwornika dołączonego do MacMAT IV; | 0 | | MO ^uint8 | | U0 | 7282 |
| 699 | t src | Źródło pomiaru temperatury do obliczeń; 0 - wyłączone, 1 - z przetwornika dołączonego do MacMAT IV, 2 - wewnętrzna gazomierza masowego (t_MA); | 0 | | MO ^uint8 | | U0 | 7283 |
| 700 | MA mode | Tryb współpracy gazomierza masowego z MacMAT IV; 0 - HF1+HF2, 1 - HF1+HF2+RS485, 2 - HF1+RS485; | 0 | | MO ^uint8 | | U0 | 7284 |
| 701 | s M | Pomocniczy przyrost licznika M do generowania alarmu `Limit M-M_MA` (ZD:168); | 0 | kg | O ^float | | | 7285>7286 |
| 702 | s M_MA | Pomocniczy przyrost licznika M_MA do generowania alarmu `Limit M-M_MA` (ZD:168); | 0 | kg | O ^float | | | 7287>7288 |
| 703 | I M-M_MA | Horyzont porównania przyrostu masy liczników M i M_MA; Zakres programowania: 0..50000; Wartość domyślna: 0; Wartość 0 wyłącza kontrolę i zamyka alarm `Limit M-M_MA` (ZD:168); | 0 | kg | MO ^float | | U0 | 7289>7290 |
| 704 | t M-M_MA | Dopuszczalna rozbieżność przyrostu masy liczników M i M_MA - przekroczenie tej wartości spowoduje wygenerowanie alarmu `Limit M-M_MA` (ZD:168); Zakres programowania: 1..100; | 0 | kg | MO ^float | | U0 | 7291>7292 |
| 705 | dly NONE_MA | Opóźnienie generowania alarmu `Brak gazom.MASS` (ZD:165); Zakres programowania: 0..100; Wartość domyślna: 10; Wartość 0 wyłącza kontrolę i zamyka alarm `Brak gazom.MASS`; | 0 | s | MO ^uint16 | | U0 | 7293 |
| 706 | dly ERR_MA | Opóźnienie generowania alarmu `Bład gazom.MASS` (ZD:166); Zakres programowania: 0..600; Wartość domyślna: 3; Wartość 0 wyłącza kontrolę i zamyka alarm `Bład gazom.MASS`; | 0 | s | MO ^uint16 | | U0 | 7294 |
| 707 | dly ATT_MA | Opóźnienie generowania alarmu `Wezw. obsługi MASS` (ZD:167); Zakres programowania: 0..600; Wartość domyślna: 10; Wartość 0 wyłącza kontrolę i zamyka alarm `Wezw. obsługi MASS`; | 0 | s | MO ^uint16 | | U0 | 7295 |
| 708 | counters mode | Wybór trybu liczników masy i objętości: 0 - 32 bit, 1 - 64 bit; | 0 | | MO ^uint8 | | U0 | 7296 |
| 709 | alpha_MA | Wpływ procentowy ciśnienia na pomiar strumienia masy. Wartość 0 wyłącza funkcję kompensacji strumienia. Zakres programowania: -1..1; | 0 | % | MO ^float | | U0 | 7297>7298 |
| 710 | MA type | Typ gazomierza masowego; | 0 | | O ^string | | | 7299>...>7310 |
| 711 | MA s/n | Numer fabryczny gazomierza masowego; | 0 | | O ^string | | | 7311>...>7322 |
| 712 | SV MA | Seria programu gazomierza masowego; | 0 | | O ^string | | | 7323>...>7334 |
| 713 | MA address | Adres transmisji ModBUS gazomierza masowego. Zakres programowania: 1..254; | 0 | | MO ^uint16 | | U0 | 7335 |
| 714 | MA baudrate | Prędkość transmisji ModBUS gazomierza masowego. Do wyboru: 1200, 2400, 4800, 9600, 19200, 38400; | 0 | bps | MO ^uint32 | | U0 | 7336>7337 |
| 715 | MA parity | Sprawdzanie parzystości transmisji ModBUS gazomierza masowego. Do wyboru: 0 - None, 1 - Odd, 2 - Even; | 0 | | MO ^uint8 | | U0 | 7338 |
| 716 | MA stopbits | Bity stopu transmisji ModBUS gazomierza masowego. Do wyboru: 0 - 1 bit stopu, 1 - 2 bity stopu; | 0 | | MO ^uint8 | | U0 | 7339 |
| 717 | --- | wolne miejsce rezerwowe | 0 | | ^uint16 | | | 7340 |
| 718 | --- | wolne miejsce rezerwowe | 0 | | ^string | | | 7341>...>7352 |
| 719 | AP4 ID | Wersja modułu AP4; | 0 | | O ^string | | | 7353>...>7364 |
| 720 | AP4 err | Parametr serwisowy; | 0 | | O ^uint32 | | | 7365>7366 |
| 721 | --- | wolne miejsce rezerwowe | 0 | | ^uint16 | | | 7367 |
| 722 | --- | wolne miejsce rezerwowe | 0 | | ^string | | | 7368>...>7379 |
| 723 | SN-ZAS ID | Wersja modułu SN-ZAS; | 0 | | O ^string | | | 7380>...>7391 |
| 724 | SN-ZAS err | Parametr serwisowy; | 0 | | O ^uint32 | | | 7392>7393 |
| 725 | m1 address | Adres modułu 1; | 0 | | O ^uint16 | | | 7394 |
| 726 | m1 type | Typ modułu 1; Zakres programowania: ciąg znaków o długości 1..20; | 0 | | MO ^string | | | 7395>...>7406 |
| 727 | m1 ID | Wersja modułu 1; Zakres programowania: ciąg znaków o długości 1..20; | 0 | | MO ^string | | | 7407>...>7418 |
| 728 | M1 err | Parametr serwisowy; | 0 | | O ^uint32 | | | 7419>7420 |



| (1) | (2) | (3) | (4) | (5) | (6) | (7) | (8) | (9) |
|-----|------------|--|-----|-----|------------|-----|-----|---------------|
| 729 | m2 address | Adres modułu 2; | 0 | | O ^uint16 | | | 7421 |
| 730 | m2 type | Typ modułu 2; Zakres programowania: ciąg znaków o długości 1..20; | 0 | | MO ^string | | | 7422>...>7433 |
| 731 | m2 ID | Wersja modułu 2; Zakres programowania: ciąg znaków o długości 1..20; | 0 | | MO ^string | | | 7434>...>7445 |
| 732 | m2 err | Parametr serwisowy; | 0 | | O ^uint32 | | | 7446>7447 |
| 733 | m3 address | Adres modułu 3; | 0 | | O ^uint16 | | | 7448 |
| 734 | m3 type | Typ modułu 3; Zakres programowania: ciąg znaków o długości 1..20; | 0 | | MO ^string | | | 7449>...>7460 |
| 735 | m3 ID | Wersja modułu 3; Zakres programowania: ciąg znaków o długości 1..20; | 0 | | MO ^string | | | 7461>...>7472 |
| 736 | m3 err | Parametr serwisowy; | 0 | | O ^uint32 | | | 7473>7474 |
| 737 | m4 address | Adres modułu 4; | 0 | | O ^uint16 | | | 7475 |
| 738 | m4 type | Typ modułu 4; Zakres programowania: ciąg znaków o długości 1..20; | 0 | | MO ^string | | | 7476>...>7487 |
| 739 | m4 ID | Wersja modułu 4; Zakres programowania: ciąg znaków o długości 1..20; | 0 | | MO ^string | | | 7488>...>7499 |
| 740 | m4 err | Parametr serwisowy; | 0 | | O ^uint32 | | | 7500>7501 |
| 741 | m5 address | Adres modułu 5; | 0 | | O ^uint16 | | | 7502 |
| 742 | m5 type | Typ modułu 5; Zakres programowania: ciąg znaków o długości 1..20; | 0 | | MO ^string | | | 7503>...>7514 |
| 743 | m5 ID | Wersja modułu 5; Zakres programowania: ciąg znaków o długości 1..20; | 0 | | MO ^string | | | 7515>...>7526 |
| 744 | m5 err | Parametr serwisowy; | 0 | | O ^uint32 | | | 7527>7528 |
| 745 | m6 address | Adres modułu 6; | 0 | | O ^uint16 | | | 7529 |
| 746 | m6 type | Typ modułu 6; Zakres programowania: ciąg znaków o długości 1..20; | 0 | | MO ^string | | | 7530>...>7541 |
| 747 | m6 ID | Wersja modułu 6; Zakres programowania: ciąg znaków o długości 1..20; | 0 | | MO ^string | | | 7542>...>7553 |
| 748 | m6 err | Parametr serwisowy; | 0 | | O ^uint32 | | | 7554>7555 |
| 749 | m7 address | Adres modułu 7; | 0 | | O ^uint16 | | | 7556 |
| 750 | m7 type | Typ modułu 7; Zakres programowania: ciąg znaków o długości 1..20; | 0 | | MO ^string | | | 7557>...>7568 |
| 751 | m7 ID | Wersja modułu 7; Zakres programowania: ciąg znaków o długości 1..20; | 0 | | MO ^string | | | 7569>...>7580 |
| 752 | m7 err | Parametr serwisowy; | 0 | | O ^uint32 | | | 7581>7582 |
| 753 | m8 address | Adres modułu 8; | 0 | | O ^uint16 | | | 7583 |
| 754 | m8 type | Typ modułu 8; Zakres programowania: ciąg znaków o długości 1..20; | 0 | | MO ^string | | | 7584>...>7595 |
| 755 | m8 ID | Wersja modułu 8; Zakres programowania: ciąg znaków o długości 1..20; | 0 | | MO ^string | | | 7596>...>7607 |
| 756 | m8 err | Parametr serwisowy; | 0 | | O ^uint32 | | | 7608>7609 |
| 757 | m9 address | Adres modułu 9; | 0 | | O ^uint16 | | | 7610 |
| 758 | m9 type | Typ modułu 9; Zakres programowania: ciąg znaków o długości 1..20; | 0 | | MO ^string | | | 7611>...>7622 |
| 759 | m9 ID | Wersja modułu 9; Zakres programowania: ciąg znaków o długości 1..20; | 0 | | MO ^string | | | 7623>...>7634 |
| 760 | m9 err | Parametr serwisowy; | 0 | | O ^uint32 | | | 7635>7636 |



| (1) | (2) | (3) | (4) | (5) | (6) | (7) | (8) | (9) |
|-----|----------------|---|-----|-----|------------|-----|-----|---------------|
| 761 | m10 address | Adres modułu 10; | 0 | | O ^uint16 | | | 7637 |
| 762 | m10 type | Typ modułu 10; Zakres programowania: ciąg znaków o długości 1..20; | 0 | | MO ^string | | | 7638>...>7649 |
| 763 | m10 ID | Wersja modułu 10; Zakres programowania: ciąg znaków o długości 1..20; | 0 | | MO ^string | | | 7650>...>7661 |
| 764 | m10 err | Parametr serwisowy; | 0 | | O ^uint32 | | | 7662>7663 |
| 765 | COM1 baudrate | Prędkość transmisji portu COM1; Zakres programowania: 1200, 2400, 4800, 9600, 19200, 38400, 57600, 115200; | 0 | bps | MO ^uint32 | | U0 | 7664>7665 |
| 766 | COM1 address | Adres transmisji portu COM1; Zakres programowania: 1..65534; | 0 | | MO ^uint16 | | U0 | 7666 |
| 767 | COM2 baudrate | Prędkość transmisji portu COM2; Zakres programowania: 1200, 2400, 4800, 9600, 19200, 38400, 57600, 115200; | 0 | bps | MO ^uint32 | | U0 | 7667>7668 |
| 768 | COM2 address | Adres transmisji portu COM2; Zakres programowania: 1..65534; | 0 | | MO ^uint16 | | U0 | 7669 |
| 769 | COM3 baudrate | Prędkość transmisji portu COM3; Zakres programowania: 1200, 2400, 4800, 9600, 19200, 38400, 57600, 115200; | 0 | bps | MO ^uint32 | | U0 | 7670>7671 |
| 770 | COM3 address | Adres transmisji portu COM3; Zakres programowania: 1..65534; | 0 | | MO ^uint16 | | U0 | 7672 |
| 771 | COM4 baudrate | Prędkość transmisji portu COM4; Zakres programowania: 1200, 2400, 4800, 9600, 19200, 38400, 57600, 115200; | 0 | bps | MO ^uint32 | | U0 | 7673>7674 |
| 772 | COM4 address | Adres transmisji portu COM4; Zakres programowania: 1..65534; | 0 | | MO ^uint16 | | U0 | 7675 |
| 773 | OPTO baudrate | Prędkość transmisji portu OPTO-GAZ; Zakres programowania: 1200, 2400, 4800, 9600, 19200, 38400, 57600, 115200; | 0 | bps | MO ^uint32 | | U0 | 7676>7677 |
| 774 | OPTO address | Adres transmisji portu OPTO-GAZ; Zakres programowania: 1..65534; | 0 | | MO ^uint16 | | U0 | 7678 |
| 775 | IP address | Adres IP portu LAN; format: xxx.xxx.xxx.xxx; | 0 | | MO ^string | | U0 | 7679>...>7690 |
| 776 | Subnet mask | Maska podsieci; format: xxx.xxx.xxx.xxx; | 0 | | MO ^string | | U0 | 7691>...>7702 |
| 777 | Gateway | Adres bramy sieciowej; format: xxx.xxx.xxx.xxx; | 0 | | MO ^string | | U0 | 7703>...>7714 |
| 778 | DNS 1 | Adres pierwszego serwera DNS; format: xxx.xxx.xxx.xxx; | 0 | | MO ^string | | U0 | 7715>...>7726 |
| 779 | DNS 2 | Adres drugiego serwera DNS; format: xxx.xxx.xxx.xxx; | 0 | | MO ^string | | U0 | 7727>...>7738 |
| 780 | IP DHCP | Adres IP portu LAN uzyskany z DHCP; format: xxx.xxx.xxx.xxx; | 0 | | O ^string | | | 7739>...>7750 |
| 781 | Subnet DHCP | Maska podsieci uzyskana z DHCP; format: xxx.xxx.xxx.xxx; | 0 | | O ^string | | | 7751>...>7762 |
| 782 | Gateway DHCP | Adres bramy sieciowej uzyskany z DHCP; format: xxx.xxx.xxx.xxx; | 0 | | O ^string | | | 7763>...>7774 |
| 783 | DNS 1 DHCP | Adres pierwszego serwera DNS uzyskany z DHCP; format: xxx.xxx.xxx.xxx; | 0 | | O ^string | | | 7775>...>7786 |
| 784 | DNS 2 DHCP | Adres drugiego serwera DNS uzyskany z DHCP; format: xxx.xxx.xxx.xxx; | 0 | | O ^string | | | 7787>...>7798 |
| 785 | MAC 1 | Adres MAC urządzenia zapisany przez producenta; | 0 | | O ^string | | | 7799>...>7810 |
| 786 | MAC 2 | Adres MAC urządzenia zapisany przez użytkownika; format: xx:xx:xx:xx:xx:xx; Pozostawienie wszystkich wartości zerowych powoduje wyłączenie tej funkcji; | 0 | | MO ^string | | U0 | 7811>...>7822 |
| 787 | WWW port | Port sieciowy interfejsu WWW; Zakres programowania: 1..65535; | 0 | | MO ^uint16 | | U0 | 7823 |
| 788 | LAN GM port | Port sieciowy Gaz-MODEM oraz ModBUS TCP; Zakres programowania: 1..65535; | 0 | | MO ^uint16 | | U0 | 7824 |
| 789 | DHCP mode | Tryb pracy DHCP; 0 - konfiguracja ręczna, na podstawie podanych adresów (parametry 775..779); 1 - konfiguracja otrzymana z serwera DHCP (parametry 780..784); | 0 | | MO ^bool | | U0 | 7825 |
| 790 | DHCP timeout | Limit czasowy oczekiwania na serwer DHCP; 0 - wyłącza limit; Zakres programowania: 0..65535; | 0 | s | MO ^uint16 | | U0 | 7826 |
| 791 | LAN GM address | Adres transmisji GazModem portu sieciowego; Zakres programowania: 1..65534; | 0 | | MO ^uint16 | | U0 | 7827 |



| (1) | (2) | (3) | (4) | (5) | (6) | (7) | (8) | (9) |
|-----|----------------|---|-----|-----|------------|-----|------|---------------|
| 792 | alarm level i1 | Próg wartości prądu, poza którym urządzenie zgłosi alarm pochodzący od przetwornika na wejściu i1. Dla wartości >20mA brane pod uwagę wartości powyżej ustawionego progu, dla wartości <4mA - poniżej ustawionego progu. Zakres programowania: 3,4..3,8 lub 20,2..23; | 0 | mA | MO ^float | | U0 | 7828>7829 |
| 793 | alarm level i2 | Próg wartości prądu, poza którym urządzenie zgłosi alarm pochodzący od przetwornika na wejściu i2. Dla wartości >20mA brane pod uwagę wartości powyżej ustawionego progu, dla wartości <4mA - poniżej ustawionego progu. Zakres programowania: 3,4..3,8 lub 20,2..23; | 0 | mA | MO ^float | | U0 | 7830>7831 |
| 794 | alarm level i3 | Próg wartości prądu, poza którym urządzenie zgłosi alarm pochodzący od przetwornika na wejściu i3. Dla wartości >20mA brane pod uwagę wartości powyżej ustawionego progu, dla wartości <4mA - poniżej ustawionego progu. Zakres programowania: 3,4..3,8 lub 20,2..23; | 0 | mA | MO ^float | | U0 | 7832>7833 |
| 795 | alarm level i4 | Próg wartości prądu, poza którym urządzenie zgłosi alarm pochodzący od przetwornika na wejściu i4. Dla wartości >20mA brane pod uwagę wartości powyżej ustawionego progu, dla wartości <4mA - poniżej ustawionego progu. Zakres programowania: 3,4..3,8 lub 20,2..23; | 0 | mA | MO ^float | | U0 | 7834>7835 |
| 796 | USER-0 pass. | Hasło użytkownika USER-0; Zakres programowania: max 10 cyfr, domyślnie 4096; | 0 | | MO ^string | | U0 | 7836>...>7847 |
| 797 | USER-1 pass. | Hasło użytkownika USER-1; Zakres programowania: max 10 cyfr, domyślnie 4096; | 0 | | MO ^string | | U1 | 7848>...>7859 |
| 798 | AlarmLOG | Poziom wypełnienia pamięci nieskwitowanych alarmów i zarazem parametr służący do ich kwitowania (ustawienie na 0 kwituje wszystkie alarmy); | 0 | % | MO ^float | | U0 | 7860>7861 |
| 799 | hardware_state | Parametr serwisowy; | 0 | | O ^uint32 | | | 7862>7863 |
| 800 | i1 a | Współczynnik poprawkowy `a` kalibracji dwupunktowej wejścia 1; Zakres programowania: -100000..100000; MET; BLOK=ON; | 0 | | MO ^double | | M/U0 | 7864>...>7867 |
| 801 | i1 b | Współczynnik poprawkowy `b` kalibracji dwupunktowej wejścia 1; Zakres programowania: -100000..100000; MET; BLOK=ON; | 0 | | MO ^double | | M/U0 | 7868>...>7871 |
| 802 | i2 a | Współczynnik poprawkowy `a` kalibracji dwupunktowej wejścia 2; Zakres programowania: -100000..100000; MET; BLOK=ON; | 0 | | MO ^double | | M/U0 | 7872>...>7875 |
| 803 | i2 b | Współczynnik poprawkowy `b` kalibracji dwupunktowej wejścia 2; Zakres programowania: -100000..100000; MET; BLOK=ON; | 0 | | MO ^double | | M/U0 | 7876>...>7879 |
| 804 | i3 a | Współczynnik poprawkowy `a` kalibracji dwupunktowej wejścia 3; Zakres programowania: -100000..100000; MET; BLOK=ON; | 0 | | MO ^double | | M/U0 | 7880>...>7883 |
| 805 | i3 b | Współczynnik poprawkowy `b` kalibracji dwupunktowej wejścia 3; Zakres programowania: -100000..100000; MET; BLOK=ON; | 0 | | MO ^double | | M/U0 | 7884>...>7887 |
| 806 | i4 a | Współczynnik poprawkowy `a` kalibracji dwupunktowej wejścia 4; Zakres programowania: -100000..100000; MET; BLOK=ON; | 0 | | MO ^double | | M/U0 | 7888>...>7891 |
| 807 | i4 b | Współczynnik poprawkowy `b` kalibracji dwupunktowej wejścia 4; Zakres programowania: -100000..100000; MET; BLOK=ON; | 0 | | MO ^double | | M/U0 | 7892>...>7895 |
| 808 | --- | wolne miejsce rezerwowe | 0 | | ^double | | | 7896>...>7899 |
| 809 | --- | wolne miejsce rezerwowe | 0 | | ^double | | | 7900>...>7903 |
| 810 | --- | wolne miejsce rezerwowe | 0 | | ^double | | | 7904>...>7907 |
| 811 | --- | wolne miejsce rezerwowe | 0 | | ^double | | | 7908>...>7911 |
| 812 | --- | wolne miejsce rezerwowe | 0 | | ^double | | | 7912>...>7915 |
| 813 | --- | wolne miejsce rezerwowe | 0 | | ^double | | | 7916>...>7919 |
| 814 | --- | wolne miejsce rezerwowe | 0 | | ^double | | | 7920>...>7923 |
| 815 | --- | wolne miejsce rezerwowe | 0 | | ^double | | | 7924>...>7927 |
| 816 | --- | wolne miejsce rezerwowe | 0 | | ^double | | | 7928>...>7931 |
| 817 | --- | wolne miejsce rezerwowe | 0 | | ^double | | | 7932>...>7935 |
| 818 | --- | wolne miejsce rezerwowe | 0 | | ^double | | | 7936>...>7939 |
| 819 | --- | wolne miejsce rezerwowe | 0 | | ^double | | | 7940>...>7943 |
| 820 | conf_imp_prop | Konfiguracja wejść impulsowych (bit n: 0 - NAMUR, 1 - OC); bit 0: wej. LF, bit 1: zarezerwowane, bit2: wej. HF1, bit3: wej. HF2; | 0 | | MO ^uint8 | | U0 | 7944 |
| 821 | conf_language | Wybór języka (0 - polski, 1 - angielski); | 0 | | MO ^uint8 | | b.o. | 7945 |



| (1) | (2) | (3) | (4) | (5) | (6) | (7) | (8) | (9) |
|-----|-------------|--|-----|-------|------------|-----|------------|---------------|
| 822 | dly HART | Opóźnienie sygnalizowania zdarzeń od błędów komunikacji HART; Zakres programowania: 0..100; | 0 | cycle | MO ^uint32 | | U0 | 7946>7947 |
| 823 | lock FW | Stan blokady aktualizacji oprogramowania. Wartość 0 - blokada wyłączona, 1 - załączona; MET; BLOK=ON; | 0 | | MO ^bool | | S | 7948 |
| 824 | F_O | Parametr aktywujący wyjście SN1-OUT do pracy jako wyjście częstotliwościowe; 0 - wyjście SN1-OUT dwustanowe, 1 - wyjście SN1-OUT częstotliwościowe; | 0 | | MO ^bool | | U0 | 7949 |
| 825 | F_O_idx | Indeks parametru sterującego wyjściem częstotliwościowym; Zakres programowania: 0..max indeks tablicy DP; | 0 | | MO ^uint16 | | U0 | 7950 |
| 826 | F_O_min | Skalowanie parametru sterującego wyjściem częstotliwościowym - minimum; Zakres programowania: 0..1e11; | 0 | | MO ^float | | U0 | 7951>7952 |
| 827 | F_O_max | Skalowanie parametru sterującego wyjściem częstotliwościowym - maksimum; Zakres programowania: 0..1e11; | 0 | | MO ^float | | U0 | 7953>7954 |
| 828 | F_min | Częstotliwość wyjścia odpowiadająca F_O_min; Zakres programowania: 0,1..2000; | 0 | Hz | MO ^float | | U0 | 7955>7956 |
| 829 | F_max | Częstotliwość wyjścia odpowiadająca F_O_max; Zakres programowania: 0,1..2000; | 0 | Hz | MO ^float | | U0 | 7957>7958 |
| 830 | F_out | Bieżąca wartości częstotliwości na wyjściu SN1-OUT; | 0 | Hz | O ^float | | | 7959>7960 |
| 831 | SV1 | Parametr serwisowy; | 0 | | O ^uint32 | | | 7961>7962 |
| 832 | SV2 | Parametr serwisowy; | 0 | | O ^uint32 | | | 7963>7964 |
| 833 | SV3 | Parametr serwisowy; | 0 | | O ^uint32 | | | 7965>7966 |
| 834 | SV1a | Parametr serwisowy; | 0 | | O ^uint32 | | | 7967>7968 |
| 835 | samples dyn | Ilość próbek rejestracji chwilowej po wykryciu skoku wartości; Zakres programowania: 1..60; | 0 | | MO ^uint8 | | U0 | 7969 |
| 836 | SetupLOG | Poziom wypełnienia pamięci SetupLOG; | 0 | % | MO ^float | | P, I | 7970>7971 |
| 837 | C6H14_C6+ | Procentowy udział właściwości heksanu we właściwościach C6+; Zakres programowania: 0..100; Wartość domyślna: 48; | 0 | % | MO ^float | | U0 | 7972>7973 |
| 838 | C7H16_C6+ | Procentowy udział właściwości heptanu we właściwościach C6+; Zakres programowania: 0..100; Wartość domyślna: 35; | 0 | % | MO ^float | | U0 | 7974>7975 |
| 839 | C8H18_C6+ | Procentowy udział właściwości oktanu we właściwościach C6+; Automatycznie uzupełnia sumę wszystkich elementów składowych C6+ do 100%; | 0 | % | O ^float | | | 7976>7977 |
| 840 | C9H20_C6+ | Procentowy udział właściwości nonanu we właściwościach C6+; Zakres programowania: 0..100; Wartość domyślna: 0; | 0 | % | MO ^float | | U0 | 7978>7979 |
| 841 | C10H22_C6+ | Procentowy udział właściwości dekanu we właściwościach C6+; Zakres programowania: 0..100; Wartość domyślna: 0; | 0 | % | MO ^float | | U0 | 7980>7981 |
| 842 | Erasing | Kasowanie danych; | 0 | | MO ^uint8 | | S, P | 7982 |
| 843 | UpCode | Parametr serwisowy; | 0 | | O ^uint32 | | | 7983>7984 |
| 844 | OTS | Parametr serwisowy; | 0 | | O ^uint32 | | | 7985>7986 |
| 845 | conf_inc | Konfiguracja obsługi przyrostów liczników; 0 - zawsze przyrastają (przyrost objętości na gazomierzu – jako suma przyrostów z okresów pracy poprawnej i awaryjnej), 1 - przyrastają tylko podczas prawidłowej pracy urządzenia (bez aktywnych alarmów systemowych); | 0 | | MO ^uint8 | | U0,S, P | 7987 |
| 846 | Cycle | Parametr serwisowy; | 0 | | O ^uint16 | | | 7988 |
| 847 | Customer | Numer dostępu grupowego użytkownika | 0 | | MO ^string | | S, P | 7989>...>8000 |
| 848 | Crc1 | CRC MID | 0 | | O ^uint32 | | | 8001>8002 |
| 849 | Crc2 | CRC METROLOGICAL | 0 | | O ^uint32 | | | 8003>8004 |



| (1) | (2) | (3) | (4) | (5) | (6) | (7) | (8) | (9) |
|-----|---------------|---|-----|-----|-----------|-----|-----|---------------|
| 850 | Crc3 | CRC BOOTLOADER | 0 | | O ^uint32 | | | 8005>8006 |
| 851 | Crc4 | CRC MASS ALGORITHM | 0 | | O ^uint32 | | | 8007>8008 |
| 852 | dly BATT_CHRG | Opóźnienie generowania alarmu `Ładowanie akum.` (ZD:119) | 0 | s | O ^uint32 | | | 8009>8010 |
| 853 | UC1 | Parametr serwisowy; | 0 | | O ^uint8 | | | 8011 |
| 854 | UC2 | Parametr serwisowy; | 0 | | O ^uint8 | | | 8012 |
| 855 | UC3 | Parametr serwisowy; | 0 | | O ^uint8 | | | 8013 |
| 856 | UC4 | Parametr serwisowy; | 0 | | O ^uint8 | | | 8014 |
| 857 | UC5 | Parametr serwisowy; | 0 | | O ^uint8 | | | 8015 |
| 858 | UC6 | Parametr serwisowy; | 0 | | O ^uint8 | | | 8016 |
| 859 | UC7 | Parametr serwisowy; | 0 | | O ^uint8 | | | 8017 |
| 860 | UC8 | Parametr serwisowy; | 0 | | O ^uint8 | | | 8018 |
| 861 | UC9 | Parametr serwisowy; | 0 | | O ^uint8 | | | 8019 |
| 862 | UC10 | Parametr serwisowy; | 0 | | O ^uint8 | | | 8020 |
| 863 | EM1.1Adr | Adres transmisji ModBUS modułu rozszerzeń 1 (typu EM-1); Zakres programowania: 0..247; BLOK=ON | 0 | | MO ^uint8 | | U0 | 8021 |
| 864 | EM1.2Adr | Adres transmisji ModBUS modułu rozszerzeń 2 (typu EM-1); Zakres programowania: 0..247; BLOK=ON | 0 | | MO ^uint8 | | U0 | 8022 |
| 865 | EM1.3Adr | Adres transmisji ModBUS modułu rozszerzeń 3 (typu EM-1); Zakres programowania: 0..247; BLOK=ON | 0 | | MO ^uint8 | | U0 | 8023 |
| 866 | EM1.4Adr | Adres transmisji ModBUS modułu rozszerzeń 4 (typu EM-1); Zakres programowania: 0..247; BLOK=ON | 0 | | MO ^uint8 | | U0 | 8024 |
| 867 | EM2.1Adr | Adres transmisji ModBUS modułu rozszerzeń 5 (typu EM-2); Zakres programowania: 0..247; BLOK=ON | 0 | | MO ^uint8 | | U0 | 8025 |
| 868 | EM2.2Adr | Adres transmisji ModBUS modułu rozszerzeń 6 (typu EM-2); Zakres programowania: 0..247; BLOK=ON | 0 | | MO ^uint8 | | U0 | 8026 |
| 869 | EM2.3Adr | Adres transmisji ModBUS modułu rozszerzeń 7 (typu EM-2); Zakres programowania: 0..247; BLOK=ON | 0 | | MO ^uint8 | | U0 | 8027 |
| 870 | last v3 | Parametr serwisowy; | 0 | | O ^double | | | 8028>...>8031 |
| 871 | c Vm | Pomocniczy przyrost licznika Vm do generowania alarmu `Limit Vm-V2` (ZD:174); | 0 | | O ^float | | U0 | 8032>8033 |
| 872 | c V2 | Pomocniczy przyrost licznika V2 do generowania alarmu `Limit Vm-V2` (ZD:174); | 0 | | O ^float | | U0 | 8034>8035 |
| 873 | l Vm-V2 | Horyzont porównania przyrostu objętości liczników Vm i V2 ; Zakres programowania: 0..50000; Wartość domyślna: 0; Wartość 0 wyłącza kontrolę i zamyka alarm `Limit Vm-V2` (ZD:174); | 0 | | MO ^float | | U0 | 8036>8037 |
| 874 | t Vm-V2 | Dopuszczalna rozbieżność przyrostu objętości liczników Vm i V2 - przekroczenie tej wartości spowoduje wygenerowanie alarmu `Limit Vm-V2` (ZD:174); Zakres programowania: 1..100; | 0 | | MO ^float | | U0 | 8038>8039 |
| 875 | p SP | Bieżąca wartość ciśnienia gazu | 0 | kPa | O ^float | | | 8040>8041 |



| (1) | (2) | (3) | (4) | (5) | (6) | (7) | (8) | (9) |
|-----|-----------|--|-----|-------|-----------|-----|-----|-----------|
| 876 | t SP | Bieżąca wartość temperatury gazu | 0 | 'C | O ^float | | | 8042>8043 |
| 877 | rob SP | Gęstość gazu w warunkach bazowych; Zakres programowania: 0,001..10000; | 0 | kg/m3 | MO ^float | | U0 | 8044>8045 |
| 878 | XH2 SP | Molowy udział wodoru dla SGERG-88, AGA8-G1 i AGA8-G2; Zakres programowania: 0..10; | 0 | % | MO ^float | | U0 | 8046>8047 |
| 879 | XCO2 SP | Molowy udział dwutlenku węgla dla SGERG-88, AGA8-G1 i AGA8-G2; Zakres programowania: 0..30; | 0 | % | MO ^float | | U0 | 8048>8049 |
| 880 | XN2 SP | Molowy udział azotu dla AGA8-G1 i AGA8-G2; Zakres programowania: 0..50; | 0 | % | MO ^float | | U0 | 8050>8051 |
| 881 | Hs SP | Ciepło spalania; Zakres programowania: 0..66; | 0 | MJ/m3 | MO ^float | | U0 | 8052>8053 |
| 882 | d SP | Względna gęstość gazu; Zakres programowania: 0,07..2; | 0 | | MO ^float | | U0 | 8054>8055 |
| 883 | C1 SP | Udział metanu; Zakres programowania: 50..100; | 0 | % | MO ^float | | U0 | 8056>8057 |
| 884 | C2 SP | Udział etanu; Zakres programowania: 0..20; | 0 | % | MO ^float | | U0 | 8058>8059 |
| 885 | C3 SP | Udział propanu; Zakres programowania: 0..5; | 0 | % | MO ^float | | U0 | 8060>8061 |
| 886 | n-C4 SP | Udział n-butanu; Zakres programowania: 0..1,5; | 0 | % | MO ^float | | U0 | 8062>8063 |
| 887 | i-C4 SP | Udział i-butanu; Zakres programowania: 0..1,5 (suma butanów <1,5%); | 0 | % | MO ^float | | U0 | 8064>8065 |
| 888 | n-C5 SP | Udział n-pentanu; Zakres programowania: 0..0,5; | 0 | % | MO ^float | | U0 | 8066>8067 |
| 889 | i-C5 SP | Udział i-pentanu; Zakres programowania: 0..0,5 (suma pentanów <0,5%); | 0 | % | MO ^float | | U0 | 8068>8069 |
| 890 | neo-C5 SP | Udział neopentanu; Zakres programowania: 0..0,5; | 0 | % | MO ^float | | U0 | 8070>8071 |
| 891 | C6+ SP | Udział heksanu i węglowodorów wyższych; Zakres programowania: 0..0,2; | 0 | % | MO ^float | | U0 | 8072>8073 |
| 892 | N2 SP | Udział azotu; Zakres programowania: 0..50; | 0 | % | MO ^float | | U0 | 8074>8075 |
| 893 | CO2 SP | Udział dwutlenku węgla; Zakres programowania: 0..30; | 0 | % | MO ^float | | U0 | 8076>8077 |
| 894 | C6H14 SP | Udział n-heksanu; Zakres programowania: 0..0,1; | 0 | % | MO ^float | | U0 | 8078>8079 |
| 895 | C7H16 SP | Udział n-heptanu; Zakres programowania: 0..0,05; | 0 | % | MO ^float | | U0 | 8080>8081 |
| 896 | C8H18 SP | Udział n-oktanu; Zakres programowania: 0..0,05 (suma C8H18 + C9H20 + C10H22 w zakresie 0..0,05); | 0 | % | MO ^float | | U0 | 8082>8083 |
| 897 | C9H20 SP | Udział n-nonanu; Zakres programowania: 0..0,05 (suma C8H18 + C9H20 + C10H22 w zakresie 0..0,05); | 0 | % | MO ^float | | U0 | 8084>8085 |
| 898 | C10H22 SP | Udział n-dekanu; Zakres programowania: 0..0,05 (suma C8H18 + C9H20 + C10H22 w zakresie 0..0,05); | 0 | % | MO ^float | | U0 | 8086>8087 |
| 899 | H2 SP | Udział wodoru; Zakres programowania: 0..10; | 0 | % | MO ^float | | U0 | 8088>8089 |
| 900 | H2O SP | Udział wody; Zakres programowania: 0..0,015; | 0 | % | MO ^float | | U0 | 8090>8091 |
| 901 | H2S SP | Udział siarkowodoru; Zakres programowania: 0..100; | 0 | % | MO ^float | | U0 | 8092>8093 |



| (1) | (2) | (3) | (4) | (5) | (6) | (7) | (8) | (9) |
|-----|--------------|--|-----|-----|------------|-----|-----|---------------|
| 902 | CO SP | Udział tlenku węgla; Zakres programowania: 0..3; | 0 | % | MO ^float | | U0 | 8094>8095 |
| 903 | He SP | Udział helu; Zakres programowania: 0..0,5; | 0 | % | MO ^float | | U0 | 8096>8097 |
| 904 | Ar SP | Udział argonu; Zakres programowania: 0..100; | 0 | % | MO ^float | | U0 | 8098>8099 |
| 905 | O2 SP | Udział tlenu; Zakres programowania: 0..100; | 0 | % | MO ^float | | U0 | 8100>8101 |
| 906 | AtmPress | Ciśnienie atmosferyczne; Zakres programowania: 80..105 | 0 | kPa | MO ^float | | U0 | 8102>8103 |
| 907 | pType | Typ czujnika ciśnienia p; Zakres programowania: 0 - gauge, 1 - abs | 0 | | MO ^uint8 | | U0 | 8104 |
| 908 | pAbs | Ciśnienie p (absolutne) | 0 | kPa | O ^double | | | 8105>...>8108 |
| 909 | pG | Ciśnienie p (nadciśnienie) | 0 | kPa | O ^double | | | 8109>...>8112 |
| 910 | NAMUR min | Zakres prądu poprawnej pracy wejść impulsowych - minimum; Zakres programowania: 0..10; BLOK=ON | 0 | mA | MO ^float | | U0 | 8113>8114 |
| 911 | NAMUR max | Zakres prądu poprawnej pracy wejść impulsowych - maksimum; Zakres programowania: 0..10; BLOK=ON | 0 | mA | MO ^float | | U0 | 8115>8116 |
| 912 | FlowDirF min | Zakres tolerancji przesunięcia fazowego od przepływu w przód - minimum; Zakres programowania: 1..99; BLOK=ON | 0 | % | MO ^uint8 | | U0 | 8117 |
| 913 | FlowDirF max | Zakres tolerancji przesunięcia fazowego od przepływu w przód - maksimum; Zakres programowania: 1..99; BLOK=ON | 0 | % | MO ^uint8 | | U0 | 8118 |
| 914 | FlowDirR min | Zakres tolerancji przesunięcia fazowego od przepływu wstecznego - minimum; Zakres programowania: 1..99; BLOK=ON | 0 | % | MO ^uint8 | | U0 | 8119 |
| 915 | FlowDirR max | Zakres tolerancji przesunięcia fazowego od przepływu wstecznego - maksimum; Zakres programowania: 1..99; BLOK=ON | 0 | % | MO ^uint8 | | U0 | 8120 |
| 916 | dly FlowDir | Opóźnienie zatwierdzenia zmiany kierunku przepływu; Zakres programowania: 1..30; BLOK=ON | 0 | s | MO ^uint8 | | U0 | 8121 |
| 917 | FlowDirPol | Polaryzacja kierunku przepływu; Zakres programowania: 0..1; BLOK=ON | 0 | | MO ^uint8 | | U0 | 8122 |
| 918 | dVbR | Przyrost wstecznego licznika objętości gazu w warunkach bazowych | 0 | m3 | RO ^float | | | 8123>8124 |
| 919 | dVmR | Przyrost wstecznego licznika objętości gazu w warunkach pomiaru | 0 | m3 | RO ^float | | | 8125>8126 |
| 920 | dV2R | Przyrost wstecznego, kontrolnego licznika objętości gazu w warunkach pomiaru | 0 | m3 | RO ^float | | | 8127>8128 |
| 921 | dVbR | Przyrost wstecznego licznika objętości gazu w warunkach kontraktowych | 0 | m3 | RO ^float | | | 8129>8130 |
| 922 | dER | Przyrost wstecznego licznika energii na gazomierzu | 0 | kWh | RO ^float | | | 8131>8132 |
| 923 | dMR | Przyrost wstecznego licznika masy na gazomierzu | 0 | kg | RO ^float | | | 8133>8134 |
| 924 | th dV noise | Próg przyrostu objętości wykorzystywany przy detekcji szumu; Zakres programowania : 0..0.1; BLOK=ON | 0 | m3 | MO ^double | | U0 | 8135>...>8138 |
| 925 | th Qm min | Próg zakresu gazomierza - minimum (opóźnienie otwarcia zdarzenia przekroczenia zakresu gazomierza „Zakres Qm min” odniesione do dolnej wartości zakresu „Qm min”). Zakres programowania: 0.0..100.0; BLOK=ON ; Przy wartości 100% alarm zostanie wygenerowany, jeśli podczas ciągłego przepływu stale utrzymującego się poniżej dolnej wartości zakresu przepływie objętość co najmniej równa Qm min; | 0 | % | MO ^float | | U0 | 8139>8140 |



| (1) | (2) | (3) | (4) | (5) | (6) | (7) | (8) | (9) |
|-----|-----------------|---|-----|------|------------|-----|------|-----------|
| 926 | th Qm max | Próg zakresu gazomierza - maksimum (opóźnienie otwarcia zdarzenia przekroczenia zakresu gazomierza „Zakres Qm max peak” odniesione do górnej wartości zakresu „Qm max”). Zakres programowania: 0.0..100.0; BLOK=ON ; <i>Przy wartości 100% alarm zostanie wygenerowany, jeśli podczas ciągłego przepływu stale utrzymującego się powyżej górnej wartości zakresu przepłynie objętość co najmniej równa Qm max;</i> | 0 | % | MO ^float | | U0 | 8141>8142 |
| 927 | Qm zeroing | Kryterium zerowania strumienia przy zanikającym przepływie (% Qm min) | 0 | % | MO ^float | | U0 | 8143>8144 |
| 928 | f min | Minimalna częstotliwość wynikająca z zakresu gazomierza | 0 | Hz | O ^float | | | 8145>8146 |
| 929 | curve corr test | Test korekcji wg krzywej błędów gazomierza; Zakres programowania: 0 - korekcja wg MID (od 10Hz), 1 - korekcja zawsze; MET ; BLOK=ON | 0 | | MO ^uint8 | | M/U0 | 8147 |
| 930 | Q batt service | Bieżący poziom ładunku pakietu; Zakres programowania: 0..2000; BLOK=ON | 0 | mAh | MO ^uint16 | | S | 8148 |
| 931 | tamb min | Parametr serwisowy; Zakres programowania: 0..85; BLOK=ON | 0 | 'C | MO ^float | | S | 8149>8150 |
| 932 | tamb max | Parametr serwisowy; Zakres programowania: 0..85; BLOK=ON | 0 | 'C | MO ^float | | S | 8151>8152 |
| 933 | AP4 c | Parametr nieaktywny | 0 | | MO ^uint8 | | | 8153 |
| 934 | Conf_COM1 | Parametr nieaktywny | 0 | | MO ^uint8 | | | 8154 |
| 935 | Conf_COM2 | Parametr nieaktywny | 0 | | MO ^uint8 | | | 8155 |
| 936 | Conf_COM3 | Parametr nieaktywny | 0 | | MO ^uint8 | | | 8156 |
| 937 | Conf_COM4 | Parametr nieaktywny | 0 | | MO ^uint8 | | | 8157 |
| 938 | Qm ex | Strumień maksymalny za czas trwania ostatniego zdarzenia ZD:175 „Zakres Qm max peak” | 0 | m3/h | O ^float | | | 8158>8159 |

3.2. TABLICA ZD

Tabela przedstawiająca strukturę alarmów obsługiwanych przez przelicznik MacMAT IV.



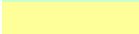


[kod] – kod zdarzenia lub alarmu wykorzystywany np. do konfiguracji wyjść dwustanowych.

[nazwa] – nazwa zdarzenia lub alarmu



[ilość] – ilość parametrów zapisanych ze zdarzeniem lub alarmem

[p1÷p24] – indeksy parametrów z tablicy DP zapisanych ze zdarzeniem lub alarmem. Indeksy z gwiazdką „*” oznaczają wartości parametrów z chwili zamknięcia zdarzenia lub alarmu.


Oznaczenia dodatkowe zastosowane w kolumnach „p1”.. „p24” i „opis”:

-  Alarmy systemowe.
-  Alarmy procesowe.
-  Zdarzenia chwilowe.
-  Zdarzenia ciągłe.
-  Tryb kalibracji.

Oznaczenia dodatkowe zastosowane w kolumnie „kod”:

-  - oznaczenie zdarzeń występujących tylko w wersji impulsowej przelicznika (wykonanie GT);
-  - oznaczenie zdarzeń występujących tylko w wersji kryzowej przelicznika (wykonanie KR);

Oznaczenie dodatkowe zastosowane w kolumnie „nazwa”:

-  - oznaczenie zdarzeń mających wpływ na wyniki pomiarów, w tym również ingerencje zgodnie z PN-EN 12405-1

UWAGA: W kolumnie „opis” umieszczono definicje zdarzeń łącznie z warunkami wywoływania oraz (po symbolu ****) nazwę parametru z tablicy DP sterującego opóźnieniem generowania danego zdarzenia. Opis „bez opóźnienia” oznacza generowanie danego zdarzenia bez dodatkowej zwłoki.



| kod | nazwa | ilość | p1 | p2 | p3 | p4 | p5 | p6 | p7 | p8 * | p9 * | p10 * | p11 * | p12 * | p13 * | p14 * | p15 | p16 * | p17 | p18 | p19 | p20 | p21 | p22 | p23 | p24 | opis |
|-----|-------------------|-------|----|----|----|----|----|----|----|------|------|-------|-------|-------|-------|-------|-----|-------|-----|-----|-----|-----|-----|-----|-----|-----|---|
| 0 | Wl. urządzenia | 17 | 0 | 1 | 4 | 5 | 6 | 8 | 9 | 0 | 1 | 4 | 5 | 6 | 8 | 9 | 485 | 486 | 843 | | | | | | | | Start urządzenia **** bez opóźnienia |
| 1 | Błąd obliczeniowy | 19 | 0 | 1 | 4 | 5 | 6 | 8 | 9 | 0 | 1 | 4 | 5 | 6 | 8 | 9 | 485 | 486 | 29 | 30 | 28 | | | | | | Wykryto błąd obliczeniowy urządzenia **** 'dly SYS' (DP:387) |
| 2 | Zakres algZ | 18 | 0 | 1 | 4 | 5 | 6 | 8 | 9 | 0 | 1 | 4 | 5 | 6 | 8 | 9 | 485 | 486 | 478 | 480 | | | | | | | Wartość wskazanego parametru przekroczyła dopuszczalny zakres, określony przez wymagania wybranego algorytmu do obliczenia Z, Zb i Zk **** 'dly SYS' (DP:387) |
| 3 | Limit Re | 18 | 0 | 1 | 4 | 5 | 6 | 8 | 9 | 0 | 1 | 4 | 5 | 6 | 8 | 9 | 485 | 486 | 13 | 285 | | | | | | | Wartość liczby Reynoldsa > 1e8 **** 'dly PROC' (DP:388) |
| 4 | Limit dp/p | 18 | 0 | 1 | 4 | 5 | 6 | 8 | 9 | 0 | 1 | 4 | 5 | 6 | 8 | 9 | 485 | 486 | 29 | 28 | | | | | | | Stosunek dp/p > 0,25 **** 'dly PROC' (DP:388) |
| 5 | Zakres dp1 min | 17 | 0 | 1 | 4 | 5 | 6 | 8 | 9 | 0 | 1 | 4 | 5 | 6 | 8 | 9 | 485 | 486 | 299 | | | | | | | | Wartość prądu wejścia różnicy ciśnień dp1 (aktywnej pary przetworników) poniżej 3,95 mA **** 'dly dp rng' (DP:394) |
| 6 | Zakres dp1 max | 17 | 0 | 1 | 4 | 5 | 6 | 8 | 9 | 0 | 1 | 4 | 5 | 6 | 8 | 9 | 485 | 486 | 299 | | | | | | | | Wartość prądu wejścia różnicy ciśnień dp1 (aktywnej pary przetworników) powyżej 20,2 mA **** 'dly dp rng' (DP:394) |
| 7 | Zakres dp2 min | 17 | 0 | 1 | 4 | 5 | 6 | 8 | 9 | 0 | 1 | 4 | 5 | 6 | 8 | 9 | 485 | 486 | 300 | | | | | | | | Wartość prądu wejścia różnicy ciśnień dp2 (aktywnej pary przetworników) poniżej 3,95 mA **** 'dly dp rng' (DP:394) |
| 8 | Zakres dp2 max | 17 | 0 | 1 | 4 | 5 | 6 | 8 | 9 | 0 | 1 | 4 | 5 | 6 | 8 | 9 | 485 | 486 | 300 | | | | | | | | Wartość prądu wejścia różnicy ciśnień dp2 (aktywnej pary przetworników) powyżej 20,2 mA **** 'dly dp rng' (DP:394) |
| 9 | Limit dp min | 17 | 0 | 1 | 4 | 5 | 6 | 8 | 9 | 0 | 1 | 4 | 5 | 6 | 8 | 9 | 485 | 486 | 28 | | | | | | | | Wartość różnicy ciśnień dp poniżej dolnej wartości zaprogramowanego limitu "l dp" (DP:184) **** 'dly dp lim' (DP:395) |
| 10 | Limit dp max | 17 | 0 | 1 | 4 | 5 | 6 | 8 | 9 | 0 | 1 | 4 | 5 | 6 | 8 | 9 | 485 | 486 | 28 | | | | | | | | Wartość różnicy ciśnień dp powyżej górnej wartości zaprogramowanego limitu "u dp" (DP:185) **** 'dly dp lim' (DP:395) |
| 11 | Błąd obwodu dp1 | 16 | 0 | 1 | 4 | 5 | 6 | 8 | 9 | 0 | 1 | 4 | 5 | 6 | 8 | 9 | 485 | 486 | | | | | | | | | Zwarcie lub rozwarcie obwodu prądowego wejścia różnicy ciśnień dp1 **** 'dly SHRCT' (DP:402) |
| 12 | Błąd obwodu dp2 | 16 | 0 | 1 | 4 | 5 | 6 | 8 | 9 | 0 | 1 | 4 | 5 | 6 | 8 | 9 | 485 | 486 | | | | | | | | | Zwarcie lub rozwarcie obwodu prądowego wejścia różnicy ciśnień dp2 **** 'dly SHRCT' (DP:402) |
| 13 | Skok dp1 | 17 | 0 | 1 | 4 | 5 | 6 | 8 | 9 | 0 | 1 | 4 | 5 | 6 | 8 | 9 | 485 | 486 | 299 | | | | | | | | Skokowa zmiana wartości różnicy ciśnień na wejściu dp1 przekroczyła "dyn dp1" (DP:303) **** bez opóźnienia |
| 14 | Skok dp2 | 17 | 0 | 1 | 4 | 5 | 6 | 8 | 9 | 0 | 1 | 4 | 5 | 6 | 8 | 9 | 485 | 486 | 300 | | | | | | | | Skokowa zmiana wartości różnicy ciśnień na wejściu dp2 przekroczyła "dyn dp2" (DP:304) **** bez opóźnienia |
| 15 | Zakres p min | 18 | 0 | 1 | 4 | 5 | 6 | 8 | 9 | 0 | 1 | 4 | 5 | 6 | 8 | 9 | 485 | 486 | 29 | 501 | | | | | | | Wartość prądu wejścia ciśnienia p poniżej 3,95 mA **** 'dly p rng' (DP:396) |
| 16 | Zakres p max | 18 | 0 | 1 | 4 | 5 | 6 | 8 | 9 | 0 | 1 | 4 | 5 | 6 | 8 | 9 | 485 | 486 | 29 | 501 | | | | | | | Wartość prądu wejścia ciśnienia p powyżej 20,2 mA **** 'dly p rng' (DP:396) |
| 17 | Limit p min | 17 | 0 | 1 | 4 | 5 | 6 | 8 | 9 | 0 | 1 | 4 | 5 | 6 | 8 | 9 | 485 | 486 | 29 | | | | | | | | Wartość ciśnienia p poniżej dolnej wartości zaprogramowanego limitu "l p" (DP:186) **** 'dly p lim' (DP:397) |
| 18 | Limit p max | 17 | 0 | 1 | 4 | 5 | 6 | 8 | 9 | 0 | 1 | 4 | 5 | 6 | 8 | 9 | 485 | 486 | 29 | | | | | | | | Wartość ciśnienia p powyżej górnej wartości zaprogramowanego limitu "u p" (DP:187) **** 'dly p lim' (DP:397) |
| 19 | Błąd obwodu p | 17 | 0 | 1 | 4 | 5 | 6 | 8 | 9 | 0 | 1 | 4 | 5 | 6 | 8 | 9 | 485 | 486 | 501 | | | | | | | | Zwarcie lub rozwarcie obwodu prądowego wejścia ciśnienia p **** 'dly SHRCT' (DP:402) |
| 20 | Zastępcze p | 17 | 0 | 1 | 4 | 5 | 6 | 8 | 9 | 0 | 1 | 4 | 5 | 6 | 8 | 9 | 485 | 486 | 384 | | | | | | | | Urządzenie wykonuje obliczenia w oparciu o wartość zastępczą ciśnienia "p subst" (DP:384) **** 'dly SUBST' (DP:401) |
| 21 | Skok p | 17 | 0 | 1 | 4 | 5 | 6 | 8 | 9 | 0 | 1 | 4 | 5 | 6 | 8 | 9 | 485 | 486 | 29 | | | | | | | | Skokowa zmiana wartości ciśnienia przekroczyła "dyn p" (DP:177) **** bez opóźnienia |



Przelicznik objętości gazu MacMAT IVE
Struktura danych

Wydanie dokumentu: 2.8.e
02-2020

| kod | nazwa | ilość | p1 | p2 | p3 | p4 | p5 | p6 | p7 | p8 * | p9 * | p10 * | p11 * | p12 * | p13 * | p14 * | p15 | p16 * | p17 | p18 | p19 | p20 | p21 | p22 | p23 | p24 | opis |
|-----|---------------|-------|----|----|----|----|----|----|----|------|------|-------|-------|-------|-------|-------|-----|-------|-----|-----|-----|-----|-----|-----|-----|-----|---|
| 22 | Zakres t min | 18 | 0 | 1 | 4 | 5 | 6 | 8 | 9 | 0 | 1 | 4 | 5 | 6 | 8 | 9 | 485 | 486 | 30 | 502 | | | | | | | Wartość prądu wejścia temperatury t poniżej 3,95 mA **** 'dly t rng' (DP:398) |
| 23 | Zakres t max | 18 | 0 | 1 | 4 | 5 | 6 | 8 | 9 | 0 | 1 | 4 | 5 | 6 | 8 | 9 | 485 | 486 | 30 | 502 | | | | | | | Wartość prądu wejścia temperatury t powyżej 20,2 mA **** 'dly t rng' (DP:398) |
| 24 | Limit t min | 17 | 0 | 1 | 4 | 5 | 6 | 8 | 9 | 0 | 1 | 4 | 5 | 6 | 8 | 9 | 485 | 486 | 30 | | | | | | | | Wartość temperatury t poniżej dolnej wartości zaprogramowanego limitu "l t" (DP:188) **** 'dly t lim' (DP:399) |
| 25 | Limit t max | 17 | 0 | 1 | 4 | 5 | 6 | 8 | 9 | 0 | 1 | 4 | 5 | 6 | 8 | 9 | 485 | 486 | 30 | | | | | | | | Wartość temperatury t powyżej górnej wartości zaprogramowanego limitu "u t" (DP:189) **** 'dly t lim' (DP:399) |
| 26 | Błąd obwodu t | 17 | 0 | 1 | 4 | 5 | 6 | 8 | 9 | 0 | 1 | 4 | 5 | 6 | 8 | 9 | 485 | 486 | 502 | | | | | | | | Zwarcie lub rozwarcie obwodu prądowego wejścia t **** 'dly SHRCT' (DP:402) |
| 27 | Zastępcze t | 17 | 0 | 1 | 4 | 5 | 6 | 8 | 9 | 0 | 1 | 4 | 5 | 6 | 8 | 9 | 485 | 486 | 385 | | | | | | | | Urządzenie wykonuje obliczenia w oparciu o wartość zastępczą temperatury "t subst" (DP:385) **** 'dly SUBST' (DP:401) |
| 28 | Skok t | 17 | 0 | 1 | 4 | 5 | 6 | 8 | 9 | 0 | 1 | 4 | 5 | 6 | 8 | 9 | 485 | 486 | 30 | | | | | | | | Skokowa zmiana wartości temperatury przekroczyła "dyn t" (DP:178) **** bez opóźnienia |
| 29 | Zakres RA | 17 | 0 | 1 | 4 | 5 | 6 | 8 | 9 | 0 | 1 | 4 | 5 | 6 | 8 | 9 | 485 | 486 | 31 | | | | | | | | Wartość prądu na wejściu RA spoza zakresu (3,95 ÷ 20,2) mA **** 'dly EVT' (DP:389) |
| 30 | Zakres RB | 17 | 0 | 1 | 4 | 5 | 6 | 8 | 9 | 0 | 1 | 4 | 5 | 6 | 8 | 9 | 485 | 486 | 32 | | | | | | | | Wartość prądu na wejściu RB spoza zakresu (3,95 ÷ 20,2) mA **** 'dly EVT' (DP:389) |
| 31 | Zakres R1 | 17 | 0 | 1 | 4 | 5 | 6 | 8 | 9 | 0 | 1 | 4 | 5 | 6 | 8 | 9 | 485 | 486 | 33 | | | | | | | | Wartość prądu na wejściu R1 spoza zakresu (3,95 ÷ 20,2) mA **** 'dly EVT' (DP:389) |
| 32 | Zakres R2 | 17 | 0 | 1 | 4 | 5 | 6 | 8 | 9 | 0 | 1 | 4 | 5 | 6 | 8 | 9 | 485 | 486 | 34 | | | | | | | | Wartość prądu na wejściu R2 spoza zakresu (3,95 ÷ 20,2) mA **** 'dly EVT' (DP:389) |
| 33 | Zakres R3 | 17 | 0 | 1 | 4 | 5 | 6 | 8 | 9 | 0 | 1 | 4 | 5 | 6 | 8 | 9 | 485 | 486 | 35 | | | | | | | | Wartość prądu na wejściu R3 spoza zakresu (3,95 ÷ 20,2) mA **** 'dly EVT' (DP:389) |
| 34 | Zakres R4 | 17 | 0 | 1 | 4 | 5 | 6 | 8 | 9 | 0 | 1 | 4 | 5 | 6 | 8 | 9 | 485 | 486 | 36 | | | | | | | | Wartość prądu na wejściu R4 spoza zakresu (3,95 ÷ 20,2) mA **** 'dly EVT' (DP:389) |
| 35 | Zakres R5 | 17 | 0 | 1 | 4 | 5 | 6 | 8 | 9 | 0 | 1 | 4 | 5 | 6 | 8 | 9 | 485 | 486 | 37 | | | | | | | | Wartość prądu na wejściu R5 spoza zakresu (3,95 ÷ 20,2) mA **** 'dly EVT' (DP:389) |
| 36 | Zakres R6 | 17 | 0 | 1 | 4 | 5 | 6 | 8 | 9 | 0 | 1 | 4 | 5 | 6 | 8 | 9 | 485 | 486 | 38 | | | | | | | | Wartość prądu na wejściu R6 spoza zakresu (3,95 ÷ 20,2) mA **** 'dly EVT' (DP:389) |
| 37 | Zakres R7 | 17 | 0 | 1 | 4 | 5 | 6 | 8 | 9 | 0 | 1 | 4 | 5 | 6 | 8 | 9 | 485 | 486 | 39 | | | | | | | | Wartość prądu na wejściu R7 spoza zakresu (3,95 ÷ 20,2) mA **** 'dly EVT' (DP:389) |
| 38 | Zakres R8 | 17 | 0 | 1 | 4 | 5 | 6 | 8 | 9 | 0 | 1 | 4 | 5 | 6 | 8 | 9 | 485 | 486 | 40 | | | | | | | | Wartość prądu na wejściu R8 spoza zakresu (3,95 ÷ 20,2) mA **** 'dly EVT' (DP:389) |
| 39 | Zakres RU1 | 17 | 0 | 1 | 4 | 5 | 6 | 8 | 9 | 0 | 1 | 4 | 5 | 6 | 8 | 9 | 485 | 486 | 41 | | | | | | | | Wartość prądu na wejściu RU1 spoza zakresu (3,95 ÷ 20,2) mA **** 'dly EVT' (DP:389) |
| 40 | Zakres RU2 | 17 | 0 | 1 | 4 | 5 | 6 | 8 | 9 | 0 | 1 | 4 | 5 | 6 | 8 | 9 | 485 | 486 | 42 | | | | | | | | Wartość prądu na wejściu RU2 spoza zakresu (3,95 ÷ 20,2) mA **** 'dly EVT' (DP:389) |
| 41 | Zakres RU3 | 17 | 0 | 1 | 4 | 5 | 6 | 8 | 9 | 0 | 1 | 4 | 5 | 6 | 8 | 9 | 485 | 486 | 43 | | | | | | | | Wartość prądu na wejściu RU3 spoza zakresu (3,95 ÷ 20,2) mA **** 'dly EVT' (DP:389) |
| 42 | Zakres RU4 | 17 | 0 | 1 | 4 | 5 | 6 | 8 | 9 | 0 | 1 | 4 | 5 | 6 | 8 | 9 | 485 | 486 | 44 | | | | | | | | Wartość prądu na wejściu RU4 spoza zakresu (3,95 ÷ 20,2) mA **** 'dly EVT' (DP:389) |
| 43 | Limit RA | 17 | 0 | 1 | 4 | 5 | 6 | 8 | 9 | 0 | 1 | 4 | 5 | 6 | 8 | 9 | 485 | 486 | 31 | | | | | | | | Wartość na wejściu RA poza zaprogramowanym przedziałem (DP:190 i DP:191) **** 'dly EVT' (DP:389) |
| 44 | Limit RB | 17 | 0 | 1 | 4 | 5 | 6 | 8 | 9 | 0 | 1 | 4 | 5 | 6 | 8 | 9 | 485 | 486 | 32 | | | | | | | | Wartość na wejściu RB poza zaprogramowanym przedziałem (DP:192 i DP:193) **** 'dly EVT' (DP:389) |
| 45 | Limit R1 | 17 | 0 | 1 | 4 | 5 | 6 | 8 | 9 | 0 | 1 | 4 | 5 | 6 | 8 | 9 | 485 | 486 | 33 | | | | | | | | Wartość na wejściu R1 poza zaprogramowanym przedziałem (DP:194 i DP:195) **** 'dly EVT' (DP:389) |
| 46 | Limit R2 | 17 | 0 | 1 | 4 | 5 | 6 | 8 | 9 | 0 | 1 | 4 | 5 | 6 | 8 | 9 | 485 | 486 | 34 | | | | | | | | Wartość na wejściu R2 poza zaprogramowanym przedziałem (DP:196 i DP:197) **** 'dly EVT' (DP:389) |
| 47 | Limit R3 | 17 | 0 | 1 | 4 | 5 | 6 | 8 | 9 | 0 | 1 | 4 | 5 | 6 | 8 | 9 | 485 | 486 | 35 | | | | | | | | Wartość na wejściu R3 poza zaprogramowanym przedziałem (DP:198 i DP:199) **** 'dly EVT' (DP:389) |



Przelicznik objętości gazu MacMAT IVE
Struktura danych

Wydanie dokumentu: 2.8.e
02-2020

| kod | nazwa | ilość | p1 | p2 | p3 | p4 | p5 | p6 | p7 | p8 * | p9 * | p10 * | p11 * | p12 * | p13 * | p14 * | p15 | p16 * | p17 | p18 | p19 | p20 | p21 | p22 | p23 | p24 | opis |
|-----|----------------------|-------|----|----|----|----|----|----|----|------|------|-------|-------|-------|-------|-------|-----|-------|-----|-----|-----|-----|-----|-----|-----|-----|---|
| 48 | Limit R4 | 17 | 0 | 1 | 4 | 5 | 6 | 8 | 9 | 0 | 1 | 4 | 5 | 6 | 8 | 9 | 485 | 486 | 36 | | | | | | | | Wartość na wejściu R4 poza zaprogramowanym przedziałem (DP:200 i DP:201) **** 'dly EVT' (DP:389) |
| 49 | Limit R5 | 17 | 0 | 1 | 4 | 5 | 6 | 8 | 9 | 0 | 1 | 4 | 5 | 6 | 8 | 9 | 485 | 486 | 37 | | | | | | | | Wartość na wejściu R5 poza zaprogramowanym przedziałem (DP:202 i DP:203) **** 'dly EVT' (DP:389) |
| 50 | Limit R6 | 17 | 0 | 1 | 4 | 5 | 6 | 8 | 9 | 0 | 1 | 4 | 5 | 6 | 8 | 9 | 485 | 486 | 38 | | | | | | | | Wartość na wejściu R6 poza zaprogramowanym przedziałem (DP:204 i DP:205) **** 'dly EVT' (DP:389) |
| 51 | Limit R7 | 17 | 0 | 1 | 4 | 5 | 6 | 8 | 9 | 0 | 1 | 4 | 5 | 6 | 8 | 9 | 485 | 486 | 39 | | | | | | | | Wartość na wejściu R7 poza zaprogramowanym przedziałem (DP:206 i DP:207) **** 'dly EVT' (DP:389) |
| 52 | Limit R8 | 17 | 0 | 1 | 4 | 5 | 6 | 8 | 9 | 0 | 1 | 4 | 5 | 6 | 8 | 9 | 485 | 486 | 40 | | | | | | | | Wartość na wejściu R8 poza zaprogramowanym przedziałem (DP:208 i DP:209) **** 'dly EVT' (DP:389) |
| 53 | Limit RU1 | 17 | 0 | 1 | 4 | 5 | 6 | 8 | 9 | 0 | 1 | 4 | 5 | 6 | 8 | 9 | 485 | 486 | 41 | | | | | | | | Wartość na wejściu RU1 poza zaprogramowanym przedziałem (DP:210 i DP:211) **** 'dly EVT' (DP:389) |
| 54 | Limit RU2 | 17 | 0 | 1 | 4 | 5 | 6 | 8 | 9 | 0 | 1 | 4 | 5 | 6 | 8 | 9 | 485 | 486 | 42 | | | | | | | | Wartość na wejściu RU2 poza zaprogramowanym przedziałem (DP:212 i DP:213) **** 'dly EVT' (DP:389) |
| 55 | Limit RU3 | 17 | 0 | 1 | 4 | 5 | 6 | 8 | 9 | 0 | 1 | 4 | 5 | 6 | 8 | 9 | 485 | 486 | 43 | | | | | | | | Wartość na wejściu RU3 poza zaprogramowanym przedziałem (DP:214 i DP:215) **** 'dly EVT' (DP:389) |
| 56 | Limit RU4 | 17 | 0 | 1 | 4 | 5 | 6 | 8 | 9 | 0 | 1 | 4 | 5 | 6 | 8 | 9 | 485 | 486 | 44 | | | | | | | | Wartość na wejściu RU4 poza zaprogramowanym przedziałem (DP:216 i DP:217) **** 'dly EVT' (DP:389) |
| 57 | Błąd obwodu LF | 16 | 0 | 1 | 4 | 5 | 6 | 8 | 9 | 0 | 1 | 4 | 5 | 6 | 8 | 9 | 485 | 486 | | | | | | | | | Zwarcie lub rozwarcie obwodu wejścia impulsowego LF **** 'dly SHRCT' (DP:402) |
| 58 | Błąd obwodu HF1 | 16 | 0 | 1 | 4 | 5 | 6 | 8 | 9 | 0 | 1 | 4 | 5 | 6 | 8 | 9 | 485 | 486 | | | | | | | | | Zwarcie lub rozwarcie obwodu wejścia impulsowego HF1 **** 'dly SHRCT' (DP:402) |
| 59 | Błąd obwodu HF2 | 16 | 0 | 1 | 4 | 5 | 6 | 8 | 9 | 0 | 1 | 4 | 5 | 6 | 8 | 9 | 485 | 486 | | | | | | | | | Zwarcie lub rozwarcie obwodu wejścia impulsowego HF2 **** 'dly SHRCT' (DP:402) |
| 60 | Zakres Qm min | 17 | 0 | 1 | 4 | 5 | 6 | 8 | 9 | 0 | 1 | 4 | 5 | 6 | 8 | 9 | 485 | 486 | 13 | | | | | | | | Wykrywanie pracy (przepływu gazu) poniżej dolnej wartości zakresu gazomierza "Qm min" (DP:139) **** 'dly SYS' (DP:387). Przy zatrzymanym przepływie alarm jest nieaktywny, możliwe jest wprowadzenie dodatkowego opóźnienia generowania alarmu np. na pominięcie planowanego zatrzymania przepływu – patrz parametr „th Qm min” DP: 925. |
| 61 | Zakres Qm max | 17 | 0 | 1 | 4 | 5 | 6 | 8 | 9 | 0 | 1 | 4 | 5 | 6 | 8 | 9 | 485 | 486 | 13 | | | | | | | | zdarzenie nieaktywne. Zdarzenie kontrolujące przekroczenie górnej wartości zakresu gazomierza to ZD:175. |
| 62 | Limit Qm min | 17 | 0 | 1 | 4 | 5 | 6 | 8 | 9 | 0 | 1 | 4 | 5 | 6 | 8 | 9 | 485 | 486 | 13 | | | | | | | | Zmierzono wartość strumienia Qm poniżej dolnej wartości zaprogramowanego limitu "l Qm" (DP:182) **** 'dly Qm lim' (DP:400) |
| 63 | Limit Qm max | 17 | 0 | 1 | 4 | 5 | 6 | 8 | 9 | 0 | 1 | 4 | 5 | 6 | 8 | 9 | 485 | 486 | 13 | | | | | | | | Zmierzono wartość strumienia Qm powyżej górnej wartości zaprogramowanego limitu "u Qm" (DP:183) **** 'dly Qm lim' (DP:400) |
| 64 | Skok Qm | 17 | 0 | 1 | 4 | 5 | 6 | 8 | 9 | 0 | 1 | 4 | 5 | 6 | 8 | 9 | 485 | 486 | 13 | | | | | | | | Skokowa zmiana wartości strumienia w warunkach pomiaru przekroczyła "dyn Qm" (DP:179) **** bez opóźnienia |
| 65 | Zdarzenie nieaktywne | | | | | | | | | | | | | | | | | | | | | | | | | | zdarzenie nieaktywne |
| 66 | Zakres fLF | 16 | 0 | 1 | 4 | 5 | 6 | 8 | 9 | 0 | 1 | 4 | 5 | 6 | 8 | 9 | 485 | 486 | | | | | | | | | Częstotliwość impulsów na wejściu LF przekracza 2,5Hz **** bez opóźnienia |
| 67 | Skok fHF1 | 17 | 0 | 1 | 4 | 5 | 6 | 8 | 9 | 0 | 1 | 4 | 5 | 6 | 8 | 9 | 485 | 486 | 556 | | | | | | | | Skokowa zmiana wartości częstotliwości fHF1 przekroczyła "dyn fHF1" (DP:180) **** bez opóźnienia |
| 68 | Skok fHF2 | 17 | 0 | 1 | 4 | 5 | 6 | 8 | 9 | 0 | 1 | 4 | 5 | 6 | 8 | 9 | 485 | 486 | 557 | | | | | | | | Skokowa zmiana wartości częstotliwości fHF2 przekroczyła "dyn fHF2" (DP:181) **** bez opóźnienia |
| 69 | Limit HF1-HF2 | 18 | 0 | 1 | 4 | 5 | 6 | 8 | 9 | 0 | 1 | 4 | 5 | 6 | 8 | 9 | 485 | 486 | 558 | 559 | | | | | | | Dynamicznie kontrolowana różnica przyrostów liczby impulsów z wejść HF1 i HF2 przekracza tolerancję "t HF1/2" (DP:231) w horyzoncie "l HF1/2" (DP:230) **** bez opóźnienia |
| 70 | Limit dh1 | 18 | 0 | 1 | 4 | 5 | 6 | 8 | 9 | 0 | 1 | 4 | 5 | 6 | 8 | 9 | 485 | 486 | 17 | 18 | | | | | | | Bieżąca wartość parametru wskazanego w parametrze "l dh mode" (DP:221) przekroczyła próg "l dh1" |



Przelicznik objętości gazu MacMAT IVE
Struktura danych

Wydanie dokumentu: 2.8.e
02-2020

| kod | nazwa | ilość | p1 | p2 | p3 | p4 | p5 | p6 | p7 | p8 * | p9 * | p10 * | p11 * | p12 * | p13 * | p14 * | p15 | p16 * | p17 | p18 | p19 | p20 | p21 | p22 | p23 | p24 | opis |
|-----|-----------|-------|----|----|----|----|----|----|----|---------|---------|----------|----------|----------|----------|----------|-----|----------|-----|-----|-----|-----|-----|-----|-----|------------------------------|---|
| | | | | | | | | | | | | | | | | | | | | | | | | | | (DP:218) **** bez opóźnienia | |
| 71 | Limit dh2 | 18 | 0 | 1 | 4 | 5 | 6 | 8 | 9 | 0 | 1 | 4 | 5 | 6 | 8 | 9 | 485 | 486 | 17 | 18 | | | | | | | Bieżąca wartość parametru wskazanego w parametrze "l dh mode" (DP:221) przekroczyła próg "l dh2" (DP:219) **** bez opóźnienia |
| 72 | Limit dh3 | 18 | 0 | 1 | 4 | 5 | 6 | 8 | 9 | 0 | 1 | 4 | 5 | 6 | 8 | 9 | 485 | 486 | 17 | 18 | | | | | | | Bieżąca wartość parametru wskazanego w parametrze "l dh mode" (DP:221) przekroczyła próg "l dh3" (DP:220) **** bez opóźnienia |
| 73 | S1:S1 | 16 | 0 | 1 | 4 | 5 | 6 | 8 | 9 | 0 | 1 | 4 | 5 | 6 | 8 | 9 | 485 | 486 | | | | | | | | | Wykryto zmianę stanu wejścia sygnalizacji S1 **** 'dly EVT' (DP:389) |
| 74 | S2:S2 | 16 | 0 | 1 | 4 | 5 | 6 | 8 | 9 | 0 | 1 | 4 | 5 | 6 | 8 | 9 | 485 | 486 | | | | | | | | | Wykryto zmianę stanu wejścia sygnalizacji S2 **** 'dly EVT' (DP:389) |
| 75 | S3:S3 | 16 | 0 | 1 | 4 | 5 | 6 | 8 | 9 | 0 | 1 | 4 | 5 | 6 | 8 | 9 | 485 | 486 | | | | | | | | | Wykryto zmianę stanu wejścia sygnalizacji S3 **** 'dly EVT' (DP:389) |
| 76 | S4:S4 | 16 | 0 | 1 | 4 | 5 | 6 | 8 | 9 | 0 | 1 | 4 | 5 | 6 | 8 | 9 | 485 | 486 | | | | | | | | | Wykryto zmianę stanu wejścia sygnalizacji S4 **** 'dly EVT' (DP:389) |
| 77 | S5:S5 | 16 | 0 | 1 | 4 | 5 | 6 | 8 | 9 | 0 | 1 | 4 | 5 | 6 | 8 | 9 | 485 | 486 | | | | | | | | | Wykryto zmianę stanu wejścia sygnalizacji S5 **** 'dly EVT' (DP:389) |
| 78 | S6:S6 | 16 | 0 | 1 | 4 | 5 | 6 | 8 | 9 | 0 | 1 | 4 | 5 | 6 | 8 | 9 | 485 | 486 | | | | | | | | | Wykryto zmianę stanu wejścia sygnalizacji S6 **** 'dly EVT' (DP:389) |
| 79 | S7:S7 | 16 | 0 | 1 | 4 | 5 | 6 | 8 | 9 | 0 | 1 | 4 | 5 | 6 | 8 | 9 | 485 | 486 | | | | | | | | | Wykryto zmianę stanu wejścia sygnalizacji S7 **** 'dly EVT' (DP:389) |
| 80 | S8:S8 | 16 | 0 | 1 | 4 | 5 | 6 | 8 | 9 | 0 | 1 | 4 | 5 | 6 | 8 | 9 | 485 | 486 | | | | | | | | | Wykryto zmianę stanu wejścia sygnalizacji S8 **** 'dly EVT' (DP:389) |
| 81 | S9:S9 | 16 | 0 | 1 | 4 | 5 | 6 | 8 | 9 | 0 | 1 | 4 | 5 | 6 | 8 | 9 | 485 | 486 | | | | | | | | | Wykryto zmianę stanu wejścia sygnalizacji S9 **** 'dly EVT' (DP:389) |
| 82 | S10:S10 | 16 | 0 | 1 | 4 | 5 | 6 | 8 | 9 | 0 | 1 | 4 | 5 | 6 | 8 | 9 | 485 | 486 | | | | | | | | | Wykryto zmianę stanu wejścia sygnalizacji S10 **** 'dly EVT' (DP:389) |
| 83 | S11:S11 | 16 | 0 | 1 | 4 | 5 | 6 | 8 | 9 | 0 | 1 | 4 | 5 | 6 | 8 | 9 | 485 | 486 | | | | | | | | | Wykryto zmianę stanu wejścia sygnalizacji S11 **** 'dly EVT' (DP:389) |
| 84 | S12:S12 | 16 | 0 | 1 | 4 | 5 | 6 | 8 | 9 | 0 | 1 | 4 | 5 | 6 | 8 | 9 | 485 | 486 | | | | | | | | | Wykryto zmianę stanu wejścia sygnalizacji S12 **** 'dly EVT' (DP:389) |
| 85 | S13:S13 | 16 | 0 | 1 | 4 | 5 | 6 | 8 | 9 | 0 | 1 | 4 | 5 | 6 | 8 | 9 | 485 | 486 | | | | | | | | | Wykryto zmianę stanu wejścia sygnalizacji S13 **** 'dly EVT' (DP:389) |
| 86 | S14:S14 | 16 | 0 | 1 | 4 | 5 | 6 | 8 | 9 | 0 | 1 | 4 | 5 | 6 | 8 | 9 | 485 | 486 | | | | | | | | | Wykryto zmianę stanu wejścia sygnalizacji S14 **** 'dly EVT' (DP:389) |
| 87 | S15:S15 | 16 | 0 | 1 | 4 | 5 | 6 | 8 | 9 | 0 | 1 | 4 | 5 | 6 | 8 | 9 | 485 | 486 | | | | | | | | | Wykryto zmianę stanu wejścia sygnalizacji S15 **** 'dly EVT' (DP:389) |
| 88 | S16:S16 | 16 | 0 | 1 | 4 | 5 | 6 | 8 | 9 | 0 | 1 | 4 | 5 | 6 | 8 | 9 | 485 | 486 | | | | | | | | | Wykryto zmianę stanu wejścia sygnalizacji S16 **** 'dly EVT' (DP:389) |
| 89 | S17:S17 | 16 | 0 | 1 | 4 | 5 | 6 | 8 | 9 | 0 | 1 | 4 | 5 | 6 | 8 | 9 | 485 | 486 | | | | | | | | | Wykryto zmianę stanu wejścia sygnalizacji S17 **** 'dly EVT' (DP:389) |
| 90 | S18:S18 | 16 | 0 | 1 | 4 | 5 | 6 | 8 | 9 | 0 | 1 | 4 | 5 | 6 | 8 | 9 | 485 | 486 | | | | | | | | | Wykryto zmianę stanu wejścia sygnalizacji S18 **** 'dly EVT' (DP:389) |
| 91 | S19:S19 | 16 | 0 | 1 | 4 | 5 | 6 | 8 | 9 | 0 | 1 | 4 | 5 | 6 | 8 | 9 | 485 | 486 | | | | | | | | | Wykryto zmianę stanu wejścia sygnalizacji S19 **** 'dly EVT' (DP:389) |
| 92 | S20:S20 | 16 | 0 | 1 | 4 | 5 | 6 | 8 | 9 | 0 | 1 | 4 | 5 | 6 | 8 | 9 | 485 | 486 | | | | | | | | | Wykryto zmianę stanu wejścia sygnalizacji S20 **** 'dly EVT' (DP:389) |
| 93 | S21:S21 | 16 | 0 | 1 | 4 | 5 | 6 | 8 | 9 | 0 | 1 | 4 | 5 | 6 | 8 | 9 | 485 | 486 | | | | | | | | | Wykryto zmianę stanu wejścia sygnalizacji S21 **** 'dly EVT' (DP:389) |
| 94 | S22:S22 | 16 | 0 | 1 | 4 | 5 | 6 | 8 | 9 | 0 | 1 | 4 | 5 | 6 | 8 | 9 | 485 | 486 | | | | | | | | | Wykryto zmianę stanu wejścia sygnalizacji S22 **** 'dly EVT' (DP:389) |
| 95 | S23:S23 | 16 | 0 | 1 | 4 | 5 | 6 | 8 | 9 | 0 | 1 | 4 | 5 | 6 | 8 | 9 | 485 | 486 | | | | | | | | | Wykryto zmianę stanu wejścia sygnalizacji S23 **** 'dly EVT' (DP:389) |
| 96 | S24:S24 | 16 | 0 | 1 | 4 | 5 | 6 | 8 | 9 | 0 | 1 | 4 | 5 | 6 | 8 | 9 | 485 | 486 | | | | | | | | | Wykryto zmianę stanu wejścia sygnalizacji S24 **** 'dly EVT' (DP:389) |
| 97 | S25:S25 | 16 | 0 | 1 | 4 | 5 | 6 | 8 | 9 | 0 | 1 | 4 | 5 | 6 | 8 | 9 | 485 | 486 | | | | | | | | | Wykryto zmianę stanu wejścia sygnalizacji S25 **** |



Przelicznik objętości gazu MacMAT IVE
Struktura danych

Wydanie dokumentu: 2.8.e
02-2020

| kod | nazwa | ilość | p1 | p2 | p3 | p4 | p5 | p6 | p7 | p8* | p9* | p10* | p11* | p12* | p13* | p14* | p15 | p16* | p17 | p18 | p19 | p20 | p21 | p22 | p23 | p24 | opis |
|-----|----------------------|-------|----|----|----|----|----|----|----|-----|-----|------|------|------|------|------|-----|------|------|------|------|------|------|-----|-----|-----|---|
| | | | | | | | | | | | | | | | | | | | | | | | | | | | 'dly EVT' (DP:389) |
| 98 | S26:S26 | 16 | 0 | 1 | 4 | 5 | 6 | 8 | 9 | 0 | 1 | 4 | 5 | 6 | 8 | 9 | 485 | 486 | | | | | | | | | Wykryto zmianę stanu wejścia sygnalizacji S26 **** 'dly EVT' (DP:389) |
| 99 | Zakres tamb | 17 | 0 | 1 | 4 | 5 | 6 | 8 | 9 | 0 | 1 | 4 | 5 | 6 | 8 | 9 | 485 | 486 | 499 | | | | | | | | Zmierzone wartość temperatury zewnętrznej spoza dopuszczalnego zakresu pracy **** 'dly SYS' (DP:387) |
| 100 | Tryb kalibracji | 23 | 0 | 1 | 4 | 5 | 6 | 8 | 9 | 0 | 1 | 4 | 5 | 6 | 8 | 9 | 485 | 486 | 474 | 476* | 475* | 476* | 475* | 481 | | | Działanie trybu kalibracji torów pomiarowych **** bez opóźnienia |
| 101 | Wymiana programu | 21 | 0 | 1 | 4 | 5 | 6 | 8 | 9 | 0 | 1 | 4 | 5 | 6 | 8 | 9 | 485 | 486 | 831* | 481 | 843 | 843* | | | | | Aktualizacja programu urządzenia **** bez opóźnienia |
| 102 | Błąd hasła | 17 | 0 | 1 | 4 | 5 | 6 | 8 | 9 | 0 | 1 | 4 | 5 | 6 | 8 | 9 | 485 | 486 | 481 | | | | | | | | Wykryto 5 kolejnych nieudanych prób zalogowania do systemu urządzenia - blokada programowania urządzenia na 15 minut **** bez opóźnienia |
| 103 | Zdarzenie nieaktywne | | | | | | | | | | | | | | | | | | | | | | | | | | zdarzenie nieaktywne |
| 104 | Logowanie | 17 | 0 | 1 | 4 | 5 | 6 | 8 | 9 | 0 | 1 | 4 | 5 | 6 | 8 | 9 | 485 | 486 | 481 | | | | | | | | Operator zalogował się do systemu z poziomu klawiatury **** bez opóźnienia |
| 105 | Przejście licznika/0 | 19 | 0 | 1 | 4 | 5 | 6 | 8 | 9 | 0 | 1 | 4 | 5 | 6 | 8 | 9 | 485 | 486 | 478 | 479 | 480 | | | | | | Wskazany licznik przekroczył dopuszczalną wartość maksymalną (przewinął się) **** bez opóźnienia |
| 106 | Zmiana konfiguracji | 20 | 0 | 1 | 4 | 5 | 6 | 8 | 9 | 0 | 1 | 4 | 5 | 6 | 8 | 9 | 485 | 486 | 478 | 479 | 480 | 481 | | | | | Wykonano zmianę konfiguracji związaną z algorytmami pomiarowo-obliczeniowymi urządzenia (dotyczy parametrów: conf_algZ (DP:62), conf_Hs (DP:63), conf_rob (DP:64), LF factor (DP:136), HF1 factor (DP:137), HF2 factor (DP:138), zmiany zakresów: p (DP:145, 146), t (DP:147, 148), Qm (DP:139, 140); zmiana konfiguracji impulsowej (DP:498), zmiana konfiguracji wejść prądowych (źródła wielkości do rozliczeń) (DP:547÷550), zmiana warunków bazowych (DP:133, 134, 94), zmiana stanu korekcji temperatury korpusu gazomierza (DP: 440), zmiana stanu korekcji wg krzywej błędów gazomierza (DP:441)) **** bez opóźnienia |
| 107 | Modyfikacja wartości | 20 | 0 | 1 | 4 | 5 | 6 | 8 | 9 | 0 | 1 | 4 | 5 | 6 | 8 | 9 | 485 | 486 | 478 | 479 | 480 | 481 | | | | | Wykonano zmianę wartości wskazanego parametru z tablicy DP (parametr typu liczba) **** bez opóźnienia |
| 108 | Modyfikacja napisu | 18 | 0 | 1 | 4 | 5 | 6 | 8 | 9 | 0 | 1 | 4 | 5 | 6 | 8 | 9 | 485 | 486 | 478 | 481 | | | | | | | Wykonano zmianę wartości wskazanego parametru z tablicy DP (parametr typu string) **** bez opóźnienia |
| 109 | Zmiana Vm | 19 | 0 | 1 | 4 | 5 | 6 | 8 | 9 | 0 | 1 | 4 | 5 | 6 | 8 | 9 | 485 | 486 | 479 | 480 | 481 | | | | | | Zmiana wartości licznika w warunkach pomiaru Vm (wywołuje automatyczną zmianę wartości liczników powiązanych: Vc=Vm, V2=Vm) **** bez opóźnienia |
| 110 | Zmiana dtau | 19 | 0 | 1 | 4 | 5 | 6 | 8 | 9 | 0 | 1 | 4 | 5 | 6 | 8 | 9 | 485 | 486 | 479 | 480 | 481 | | | | | | Zmiana okresu rejestracji danych **** bez opóźnienia |
| 111 | Zmiana czasu | 17 | 0 | 1 | 4 | 5 | 6 | 8 | 9 | 0 | 1 | 4 | 5 | 6 | 8 | 9 | 485 | 486 | 481 | | | | | | | | Wykonano zmianę czasu **** bez opóźnienia |
| 112 | Korekta czasu | 17 | 0 | 1 | 4 | 5 | 6 | 8 | 9 | 0 | 1 | 4 | 5 | 6 | 8 | 9 | 485 | 486 | 481 | | | | | | | | Wykonano korektę czasu **** bez opóźnienia |
| 113 | Auto. zmiana czasu | 16 | 0 | 1 | 4 | 5 | 6 | 8 | 9 | 0 | 1 | 4 | 5 | 6 | 8 | 9 | 485 | 486 | | | | | | | | | Urządzenie automatycznie zmieniło czas letni na zimowy (lub odwrotnie) **** bez opóźnienia |
| 114 | Zanik zasilania | 20 | 0 | 1 | 4 | 5 | 6 | 8 | 9 | 0 | 1 | 4 | 5 | 6 | 8 | 9 | 485 | 486 | 562 | 563 | 566 | 567 | | | | | Wykryto zanik zasilania sieciowego **** 'dly PROC' (DP:388) |
| 115 | Rozł. akumulator | 20 | 0 | 1 | 4 | 5 | 6 | 8 | 9 | 0 | 1 | 4 | 5 | 6 | 8 | 9 | 485 | 486 | 562 | 563 | 566 | 567 | | | | | Poziom naładowania akumulatora spadł poniżej 10% **** bez opóźnienia |
| 116 | Wyl. urządzenia | 20 | 0 | 1 | 4 | 5 | 6 | 8 | 9 | 0 | 1 | 4 | 5 | 6 | 8 | 9 | 485 | 486 | 562 | 563 | 566 | 567 | | | | | Automatyczne wyłączenie urządzenia spowodowane rozładowaniem akumulatorów **** bez opóźnienia |
| 117 | Wyl. ręczne | 17 | 0 | 1 | 4 | 5 | 6 | 8 | 9 | 0 | 1 | 4 | 5 | 6 | 8 | 9 | 485 | 486 | 481 | | | | | | | | Urządzenie zostało wyłączone przez operatora za pomocą klawiatury **** bez opóźnienia |
| 118 | Test akumulatora | 21 | 0 | 1 | 4 | 5 | 6 | 8 | 9 | 0 | 1 | 4 | 5 | 6 | 8 | 9 | 485 | 486 | 562 | 563 | 566 | 567 | 481 | | | | Wykonano test akumulatora (pełny cykl rozładowania przy obecności zasilania sieciowego) **** bez opóźnienia |



Przelicznik objętości gazu MacMAT IVE
Struktura danych

Wydanie dokumentu: 2.8.e
02-2020

| kod | nazwa | ilość | p1 | p2 | p3 | p4 | p5 | p6 | p7 | p8 * | p9 * | p10 * | p11 * | p12 * | p13 * | p14 * | p15 | p16 * | p17 | p18 | p19 | p20 | p21 | p22 | p23 | p24 | opis |
|-----|-------------------------|-------|----|----|----|----|----|----|----|---------|---------|----------|----------|----------|----------|----------|-----|----------|-----|-----|-----|-----|-----|-----|-----|-----|--|
| 119 | Ladowanie akum. | 20 | 0 | 1 | 4 | 5 | 6 | 8 | 9 | 0 | 1 | 4 | 5 | 6 | 8 | 9 | 485 | 486 | 562 | 563 | 566 | 567 | | | | | Urządzenie doładowało akumulator **** bez opóźnienia |
| 120 | Zakres T_batt | 21 | 0 | 1 | 4 | 5 | 6 | 8 | 9 | 0 | 1 | 4 | 5 | 6 | 8 | 9 | 485 | 486 | 562 | 563 | 564 | 566 | 567 | | | | Zmierzone temperaturę akumulatorów spoza dozwolonego przedziału ładowania (-12÷76)°C **** bez opóźnienia |
| 121 | Alarm zbiorczy A | 22 | 0 | 1 | 4 | 5 | 6 | 8 | 9 | 0 | 1 | 4 | 5 | 6 | 8 | 9 | 485 | 486 | 433 | 434 | 435 | 436 | 437 | 438 | | | Wykryto zmianę stanu jednego z grupy alarmów przypisanych do alarmu zbiorczego A **** bez opóźnienia |
| 122 | Alarm zbiorczy B | 22 | 0 | 1 | 4 | 5 | 6 | 8 | 9 | 0 | 1 | 4 | 5 | 6 | 8 | 9 | 485 | 486 | 433 | 434 | 435 | 436 | 437 | 438 | | | Wykryto zmianę stanu jednego z grupy alarmów przypisanych do alarmu zbiorczego B **** bez opóźnienia |
| 123 | Alarm zbiorczy C | 22 | 0 | 1 | 4 | 5 | 6 | 8 | 9 | 0 | 1 | 4 | 5 | 6 | 8 | 9 | 485 | 486 | 433 | 434 | 435 | 436 | 437 | 438 | | | Wykryto zmianę stanu jednego z grupy alarmów przypisanych do alarmu zbiorczego C **** bez opóźnienia |
| 124 | Alarm zbiorczy D | 22 | 0 | 1 | 4 | 5 | 6 | 8 | 9 | 0 | 1 | 4 | 5 | 6 | 8 | 9 | 485 | 486 | 433 | 434 | 435 | 436 | 437 | 438 | | | Wykryto zmianę stanu jednego z grupy alarmów przypisanych do alarmu zbiorczego D **** bez opóźnienia |
| 125 | Brak aktywn. COM1 | 16 | 0 | 1 | 4 | 5 | 6 | 8 | 9 | 0 | 1 | 4 | 5 | 6 | 8 | 9 | 485 | 486 | | | | | | | | | Wykryto brak aktywności przekraczający dopuszczalne kryterium na COM1 **** 'dly COM1' (DP:390) |
| 126 | Brak aktywn. COM2 | 16 | 0 | 1 | 4 | 5 | 6 | 8 | 9 | 0 | 1 | 4 | 5 | 6 | 8 | 9 | 485 | 486 | | | | | | | | | Wykryto brak aktywności przekraczający dopuszczalne kryterium na COM2 **** 'dly COM2' (DP:391) |
| 127 | Brak aktywn. COM3 | 16 | 0 | 1 | 4 | 5 | 6 | 8 | 9 | 0 | 1 | 4 | 5 | 6 | 8 | 9 | 485 | 486 | | | | | | | | | Wykryto brak aktywności przekraczający dopuszczalne kryterium na COM3 **** 'dly COM3' (DP:392) |
| 128 | Brak aktywn. COM4 | 16 | 0 | 1 | 4 | 5 | 6 | 8 | 9 | 0 | 1 | 4 | 5 | 6 | 8 | 9 | 485 | 486 | | | | | | | | | Wykryto brak aktywności przekraczający dopuszczalne kryterium na COM4 **** 'dly COM4' (DP:393) |
| 129 | Zmiana składu gazu | 22 | 0 | 1 | 4 | 5 | 6 | 8 | 9 | 0 | 1 | 4 | 5 | 6 | 8 | 9 | 485 | 486 | 68 | 69 | 80 | 86 | 79 | 481 | | | Urządzenie przyjęło do obliczeń nowy skład gazu - wprowadzony z klawiatury **** bez opóźnienia |
| 130 | Brak składu gazu | 22 | 0 | 1 | 4 | 5 | 6 | 8 | 9 | 0 | 1 | 4 | 5 | 6 | 8 | 9 | 485 | 486 | 68 | 69 | 80 | 86 | 79 | 481 | | | Urządzenie nie przyjęło do obliczeń nowego składu gazu - przy odrzuconej modyfikacji lub przy braku pełnego składu po czasie określonym w parametrze 'G tout' (DP:98) **** bez opóźnienia |
| 131 | Autotest systemu | 21 | 0 | 1 | 4 | 5 | 6 | 8 | 9 | 0 | 1 | 4 | 5 | 6 | 8 | 9 | 485 | 486 | 577 | 578 | 479 | 480 | 870 | | | | Zdarzenie diagnostyczne dla serwisu fabrycznego zapisywane podczas włączenia urządzenia informujące o prawidłowości działania programu głównego **** bez opóźnienia |
| 132 | SetupLOG pełny | 16 | 0 | 1 | 4 | 5 | 6 | 8 | 9 | 0 | 1 | 4 | 5 | 6 | 8 | 9 | 485 | 486 | | | | | | | | | Pamięć SetupLOG pełna, wymagane kasowanie **** bez opóźnienia |
| 133 | Limit Param1 | 17 | 0 | 1 | 4 | 5 | 6 | 8 | 9 | 0 | 1 | 4 | 5 | 6 | 8 | 9 | 485 | 486 | 232 | | | | | | | | Wartość parametru Param1 (patrz indeks zaprogramowany na pozycji "Param1" (DP:232) poniżej dolnej wartości "l Param1" (DP:233) lub powyżej górnej wartości "u Param1" (DP:234) **** bez opóźnienia |
| 134 | Limit Param2 | 17 | 0 | 1 | 4 | 5 | 6 | 8 | 9 | 0 | 1 | 4 | 5 | 6 | 8 | 9 | 485 | 486 | 235 | | | | | | | | Wartość parametru Param2 (patrz indeks zaprogramowany na pozycji "Param2" (DP:235) poniżej dolnej wartości "l Param2" (DP:236) lub powyżej górnej wartości "u Param2" (DP:237) **** bez opóźnienia |
| 135 | Limit Param3 | 17 | 0 | 1 | 4 | 5 | 6 | 8 | 9 | 0 | 1 | 4 | 5 | 6 | 8 | 9 | 485 | 486 | 238 | | | | | | | | Wartość parametru Param3 (patrz indeks zaprogramowany na pozycji "Param3" (DP:238) poniżej dolnej wartości "l Param3" (DP:239) lub powyżej górnej wartości "u Param3" (DP:240) **** bez opóźnienia |
| 136 | Limit Param4 | 17 | 0 | 1 | 4 | 5 | 6 | 8 | 9 | 0 | 1 | 4 | 5 | 6 | 8 | 9 | 485 | 486 | 241 | | | | | | | | Wartość parametru Param4 (patrz indeks zaprogramowany na pozycji "Param4" (DP:241) poniżej dolnej wartości "l Param4" (DP:242) lub powyżej górnej wartości "u Param4" (DP:243) **** bez opóźnienia |
| 137 | Uszkodzony moduł AP4 | 18 | 0 | 1 | 4 | 5 | 6 | 8 | 9 | 0 | 1 | 4 | 5 | 6 | 8 | 9 | 485 | 486 | 831 | 832 | | | | | | | Wykryto trwały brak łączności z modułem wewnętrznym AP4 **** bez opóźnienia |
| 138 | Uszkodzony moduł SN-ZAS | 18 | 0 | 1 | 4 | 5 | 6 | 8 | 9 | 0 | 1 | 4 | 5 | 6 | 8 | 9 | 485 | 486 | 831 | 833 | | | | | | | Wykryto trwały brak łączności z modułem wewnętrznym SN-ZAS **** bez opóźnienia |



Przelicznik objętości gazu MacMAT IVE
Struktura danych

Wydanie dokumentu: 2.8.e
02-2020

| kod | nazwa | ilość | p1 | p2 | p3 | p4 | p5 | p6 | p7 | p8 * | p9 * | p10 * | p11 * | p12 * | p13 * | p14 * | p15 | p16 * | p17 | p18 | p19 | p20 | p21 | p22 | p23 | p24 | opis |
|-----|---------------------|-------|----|----|----|----|----|----|----|------|------|-------|-------|-------|-------|-------|-----|-------|-----|-----|-----|-----|-----|-----|-----|-----|--|
| 139 | Uszkodzony moduł 1 | 16 | 0 | 1 | 4 | 5 | 6 | 8 | 9 | 0 | 1 | 4 | 5 | 6 | 8 | 9 | 485 | 486 | | | | | | | | | Wykryto trwały brak łączności z modulem zewnętrznym nr 1 **** bez opóźnienia |
| 140 | Uszkodzony moduł 2 | 16 | 0 | 1 | 4 | 5 | 6 | 8 | 9 | 0 | 1 | 4 | 5 | 6 | 8 | 9 | 485 | 486 | | | | | | | | | Wykryto trwały brak łączności z modulem zewnętrznym nr 2 **** bez opóźnienia |
| 141 | Uszkodzony moduł 3 | 16 | 0 | 1 | 4 | 5 | 6 | 8 | 9 | 0 | 1 | 4 | 5 | 6 | 8 | 9 | 485 | 486 | | | | | | | | | Wykryto trwały brak łączności z modulem zewnętrznym nr 3 **** bez opóźnienia |
| 142 | Uszkodzony moduł 4 | 16 | 0 | 1 | 4 | 5 | 6 | 8 | 9 | 0 | 1 | 4 | 5 | 6 | 8 | 9 | 485 | 486 | | | | | | | | | Wykryto trwały brak łączności z modulem zewnętrznym nr 4 **** bez opóźnienia |
| 143 | Uszkodzony moduł 5 | 16 | 0 | 1 | 4 | 5 | 6 | 8 | 9 | 0 | 1 | 4 | 5 | 6 | 8 | 9 | 485 | 486 | | | | | | | | | Wykryto trwały brak łączności z modulem zewnętrznym nr 5 **** bez opóźnienia |
| 144 | Uszkodzony moduł 6 | 16 | 0 | 1 | 4 | 5 | 6 | 8 | 9 | 0 | 1 | 4 | 5 | 6 | 8 | 9 | 485 | 486 | | | | | | | | | Wykryto trwały brak łączności z modulem zewnętrznym nr 6 **** bez opóźnienia |
| 145 | Uszkodzony moduł 7 | 16 | 0 | 1 | 4 | 5 | 6 | 8 | 9 | 0 | 1 | 4 | 5 | 6 | 8 | 9 | 485 | 486 | | | | | | | | | Wykryto trwały brak łączności z modulem zewnętrznym nr 7 **** bez opóźnienia |
| 146 | Uszkodzony moduł 8 | 16 | 0 | 1 | 4 | 5 | 6 | 8 | 9 | 0 | 1 | 4 | 5 | 6 | 8 | 9 | 485 | 486 | | | | | | | | | Wykryto trwały brak łączności z modulem zewnętrznym nr 8 **** bez opóźnienia |
| 147 | Uszkodzony moduł 9 | 16 | 0 | 1 | 4 | 5 | 6 | 8 | 9 | 0 | 1 | 4 | 5 | 6 | 8 | 9 | 485 | 486 | | | | | | | | | Wykryto trwały brak łączności z modulem zewnętrznym nr 9 **** bez opóźnienia |
| 148 | Uszkodzony moduł 10 | 16 | 0 | 1 | 4 | 5 | 6 | 8 | 9 | 0 | 1 | 4 | 5 | 6 | 8 | 9 | 485 | 486 | | | | | | | | | Wykryto trwały brak łączności z modulem zewnętrznym nr 10 **** bez opóźnienia |
| 149 | Awaria zliczania | 18 | 0 | 1 | 4 | 5 | 6 | 8 | 9 | 0 | 1 | 4 | 5 | 6 | 8 | 9 | 485 | 486 | 641 | 13 | | | | | | | Wykryto potencjalne uszkodzenie głównego wejścia zliczającego **** 'dly PULSE' (DP:583) |
| 150 | Brak gazom.ULTRA | 22 | 0 | 1 | 4 | 5 | 6 | 8 | 9 | 0 | 1 | 4 | 5 | 6 | 8 | 9 | 485 | 486 | 636 | 637 | 638 | 639 | 641 | 13 | | | Wykryto brak łączności cyfrowej z gazomierzem ultradźwiękowym przekraczający **** 'dly NONE_U' (DP:670) |
| 151 | Błąd gazomierza | 19 | 0 | 1 | 4 | 5 | 6 | 8 | 9 | 0 | 1 | 4 | 5 | 6 | 8 | 9 | 485 | 486 | 641 | 13 | 645 | | | | | | Wykryto awarię gazomierza |
| 152 | Wezw. obsługi ULTRA | 22 | 0 | 1 | 4 | 5 | 6 | 8 | 9 | 0 | 1 | 4 | 5 | 6 | 8 | 9 | 485 | 486 | 636 | 637 | 638 | 639 | 641 | 13 | | | Gazomierz ultradźwiękowy przekazał informację o działaniu w warunkach wymagających interwencji serwisowej. **** 'dly ATT_U' (DP:672) |
| 153 | Limit Vm-V3 ULTRA | 23 | 0 | 1 | 4 | 5 | 6 | 8 | 9 | 0 | 1 | 4 | 5 | 6 | 8 | 9 | 485 | 486 | 636 | 637 | 638 | 639 | 641 | 674 | 675 | | Dynamicznie kontrolowana różnica przyrostów objętości liczników Vm i V3 przekracza tolerancję "t Vm-V3" (DP:677) w horyzoncie "l Vm-V3" (DP:676) **** bez opóźnienia |
| 154 | Limit QmI-QmU | 23 | 0 | 1 | 4 | 5 | 6 | 8 | 9 | 0 | 1 | 4 | 5 | 6 | 8 | 9 | 485 | 486 | 636 | 637 | 638 | 639 | 641 | 582 | 642 | | Wykryto rozbieżność niekorygowanych strumieni w warunkach pomiaru QmI (DP:582) i QmU (DP:642) większą niż tolerancja "t QmI-QmU" (DP:678) **** 'dly r.Qm' (DP:673) |
| 155 | Alarm przetwor. i1 | 16 | 0 | 1 | 4 | 5 | 6 | 8 | 9 | 0 | 1 | 4 | 5 | 6 | 8 | 9 | 485 | 486 | | | | | | | | | Wartość prądu wejścia 1 przekroczyła stan alarmowy przetwornika ustawiony na 'alarm level i1' (DP:792) **** 'dly SYS' (DP:387) |
| 156 | Alarm przetwor. i2 | 16 | 0 | 1 | 4 | 5 | 6 | 8 | 9 | 0 | 1 | 4 | 5 | 6 | 8 | 9 | 485 | 486 | | | | | | | | | Wartość prądu wejścia 2 przekroczyła stan alarmowy przetwornika ustawiony na 'alarm level i2' (DP:793) **** 'dly SYS' (DP:387) |
| 157 | Alarm przetwor. i3 | 16 | 0 | 1 | 4 | 5 | 6 | 8 | 9 | 0 | 1 | 4 | 5 | 6 | 8 | 9 | 485 | 486 | | | | | | | | | Wartość prądu wejścia 3 przekroczyła stan alarmowy przetwornika ustawiony na 'alarm level i3' (DP:794) **** 'dly SYS' (DP:387) |
| 158 | Alarm przetwor. i4 | 16 | 0 | 1 | 4 | 5 | 6 | 8 | 9 | 0 | 1 | 4 | 5 | 6 | 8 | 9 | 485 | 486 | | | | | | | | | Wartość prądu wejścia 4 przekroczyła stan alarmowy przetwornika ustawiony na 'alarm level i4' (DP:795) **** 'dly SYS' (DP:387) |
| 159 | Kasowanie danych | 18 | 0 | 1 | 4 | 5 | 6 | 8 | 9 | 0 | 1 | 4 | 5 | 6 | 8 | 9 | 485 | 486 | 842 | 481 | | | | | | | Przeprowadzono kasowanie wybranego archiwum przelicznika (gdy parametr 'Erasing' ma wartość: 1 - wykonano kasowanie fabryczne, 2 - skasowano zdarzenia (oprócz pamięci SetupLOG), 3 - skasowano dane rejestrowane okresowo, 5 - wykonano pełne kasowanie fabryczne, 10 - wykonano kasowanie liczników, 11 - wykonano kasowanie liczników |



Przelicznik objętości gazu MacMAT IVE
Struktura danych

Wydanie dokumentu: 2.8.e
02-2020

| kod | nazwa | ilość | p1 | p2 | p3 | p4 | p5 | p6 | p7 | p8 * | p9 * | p10 * | p11 * | p12 * | p13 * | p14 * | p15 | p16 * | p17 | p18 | p19 | p20 | p21 | p22 | p23 | p24 | opis |
|-----|--------------------|-------|----|----|----|----|----|----|----|------|------|-------|-------|-------|-------|-------|-----|-------|-----|-----|-----|-----|-----|-----|-----|-------------------------------|--|
| | | | | | | | | | | | | | | | | | | | | | | | | | | impulsów) **** bez opóźnienia | |
| 160 | AlarmLOG pełny | 16 | 0 | 1 | 4 | 5 | 6 | 8 | 9 | 0 | 1 | 4 | 5 | 6 | 8 | 9 | 485 | 486 | | | | | | | | | W pamięci znajduje się zbyt dużo nieskwitowanych alarmów, wymagane kwitowanie **** bez opóźnienia |
| 161 | AlarmLOG >80% | 16 | 0 | 1 | 4 | 5 | 6 | 8 | 9 | 0 | 1 | 4 | 5 | 6 | 8 | 9 | 485 | 486 | | | | | | | | | Pamięć alarmów wypełniona w 80%, zalecanie kwitowanie **** bez opóźnienia |
| 162 | Kwitowanie alarmow | 17 | 0 | 1 | 4 | 5 | 6 | 8 | 9 | 0 | 1 | 4 | 5 | 6 | 8 | 9 | 485 | 486 | 481 | | | | | | | | Wykonano kwitowanie alarmów **** bez opóźnienia |
| 163 | Uszk. sprzętowe | 17 | 0 | 1 | 4 | 5 | 6 | 8 | 9 | 0 | 1 | 4 | 5 | 6 | 8 | 9 | 485 | 486 | 799 | | | | | | | | Wykryto uszkodzenie sprzętu, nie mające wpływu na funkcje przelicznika **** bez opóźnienia |
| 164 | Awaria sprzętu | 17 | 0 | 1 | 4 | 5 | 6 | 8 | 9 | 0 | 1 | 4 | 5 | 6 | 8 | 9 | 485 | 486 | 799 | | | | | | | | Wykryto krytyczną awarię sprzętu, działanie funkcji przelicznika może być nieprawidłowe **** bez opóźnienia |
| 165 | Brak gazom.MASS | 24 | 0 | 1 | 4 | 5 | 6 | 8 | 9 | 0 | 1 | 4 | 5 | 6 | 8 | 9 | 485 | 486 | 691 | 692 | 693 | 694 | 695 | 696 | 697 | 16 | Wykryto brak łączności cyfrowej z gazomierzem masowym **** 'dly NONE MA' (DP:705) |
| 166 | Błąd gazom.MASS | 24 | 0 | 1 | 4 | 5 | 6 | 8 | 9 | 0 | 1 | 4 | 5 | 6 | 8 | 9 | 485 | 486 | 691 | 692 | 693 | 694 | 695 | 696 | 697 | 16 | Gazomierz masowy przekazał informację o poważnej awarii **** 'dly ERR MA' (DP:706) |
| 167 | Wezw. obsługi MASS | 24 | 0 | 1 | 4 | 5 | 6 | 8 | 9 | 0 | 1 | 4 | 5 | 6 | 8 | 9 | 485 | 486 | 691 | 692 | 693 | 694 | 695 | 696 | 697 | 16 | Gazomierz masowy przekazał informację o działaniu w warunkach wymagających interwencji serwisowej. **** 'dly ATT MA' (DP:707) |
| 168 | Limit M-M_MA | 24 | 0 | 1 | 4 | 5 | 6 | 8 | 9 | 0 | 1 | 4 | 5 | 6 | 8 | 9 | 485 | 486 | 691 | 692 | 693 | 694 | 695 | 696 | 697 | 16 | Dynamicznie kontrolowana różnica przyrostów masy liczników M i M_MA przekracza tolerancję "t M-M_MA" (DP:704) w horyzoncie "l M-M_MA" (DP:703) **** bez opóźnienia |
| 169 | Błąd HART WE1 | 17 | 0 | 1 | 4 | 5 | 6 | 8 | 9 | 0 | 1 | 4 | 5 | 6 | 8 | 9 | 485 | 486 | 29 | | | | | | | | Wykryto błąd w komunikacji HART na kanale 1 **** 'dly HART' (DP:822) |
| 170 | Błąd HART WE2 | 17 | 0 | 1 | 4 | 5 | 6 | 8 | 9 | 0 | 1 | 4 | 5 | 6 | 8 | 9 | 485 | 486 | 30 | | | | | | | | Wykryto błąd w komunikacji HART na kanale 2 **** 'dly HART' (DP:822) |
| 171 | Błąd HART WE3 | 17 | 0 | 1 | 4 | 5 | 6 | 8 | 9 | 0 | 1 | 4 | 5 | 6 | 8 | 9 | 485 | 486 | 31 | | | | | | | | Wykryto błąd w komunikacji HART na kanale 3 **** 'dly HART' (DP:822) |
| 172 | Błąd HART WE4 | 17 | 0 | 1 | 4 | 5 | 6 | 8 | 9 | 0 | 1 | 4 | 5 | 6 | 8 | 9 | 485 | 486 | 32 | | | | | | | | Wykryto błąd w komunikacji HART na kanale 4 **** 'dly HART' (DP:822) |
| 173 | Tryb serwisowy | 18 | 0 | 1 | 4 | 5 | 6 | 8 | 9 | 0 | 1 | 4 | 5 | 6 | 8 | 9 | 485 | 486 | 479 | 481 | | | | | | | Włączono tryb serwisowy - pomiary mogą być zatrzymane **** bez opóźnienia |
| 174 | Limit Vm-V2 | 18 | 0 | 1 | 4 | 5 | 6 | 8 | 9 | 0 | 1 | 4 | 5 | 6 | 8 | 9 | 485 | 486 | 871 | 872 | | | | | | | Dynamicznie kontrolowana różnica przyrostów objętości liczników Vm i V2 przekracza tolerancję "t Vm-V2" (DP:874) w horyzoncie "l Vm-V2" (DP:873) **** bez opóźnienia |
| 175 | Zakres Qm max peak | 18 | 0 | 1 | 4 | 5 | 6 | 8 | 9 | 0 | 1 | 4 | 5 | 6 | 8 | 9 | 485 | 486 | 938 | 938 | | | | | | | Wykrywanie pracy (przepływu gazu) powyżej górnej wartości zakresu gazomierza "Qm max" (DP:140) **** 'dly SYS' (DP:387). Możliwe jest wprowadzenie dodatkowego opóźnienia generowania alarmu – patrz parametr „th Qm max” DP: 926. |

3.3. TABLICA SETUPLOG

Opisy poszczególnych kolumn są identyczne jak opisy odpowiednich kolumn dla tablicy ZD – patrz p. 3.2.

| kod | nazwa | ilość | p1 | p2 | p3 | p4 | p5 | p6 |
|------|--------------------------|-------|----|----|-----|-----|-----|-----|
| 1000 | Wymiana programu | 6 | 0 | 4 | 481 | 831 | 834 | 843 |
| 1001 | Kasowanie danych | 4 | 0 | 4 | 481 | 842 | | |
| 1002 | Zmiana konfiguracji | 6 | 0 | 4 | 481 | 478 | 479 | 480 |
| 1003 | Zmiana czasu | 4 | 0 | 4 | 481 | 844 | | |
| 1004 | Kwitowanie alarmów | 4 | 0 | 4 | 481 | 431 | | |
| 1005 | Błąd hasła | 3 | 0 | 4 | 481 | | | |
| 1006 | Tryb kalibracji | 3 | 0 | 4 | 481 | | | |
| 1007 | zarezerwowane | 0 | | | | | | |
| 1008 | Kasowanie SetupLOG | 3 | 0 | 4 | 481 | | | |
| 1009 | Zmiana typu przelicznika | 3 | 0 | 4 | 481 | | | |
| 1010 | zarezerwowane | 0 | | | | | | |



Gaz



Wspólna 19, Ignatki
16-001 Kleosin, Polska
tel. 85 749-70-00
fax 85 749-70-14
gas@plummac.com
www.plummac.com